

Tehnium

FONDATĂ ÎN ANUL 1970

ANUL XXXIV, Nr. 353

REVISTĂ PENTRU CONSTRUCTORII AMATORI

Număr editat cu sprijinul Ministerului Educației și Cercetării

**REVISTA
TRIMESTRIALĂ**

2 iunie
2004



ORO - DATAREA VIDEO

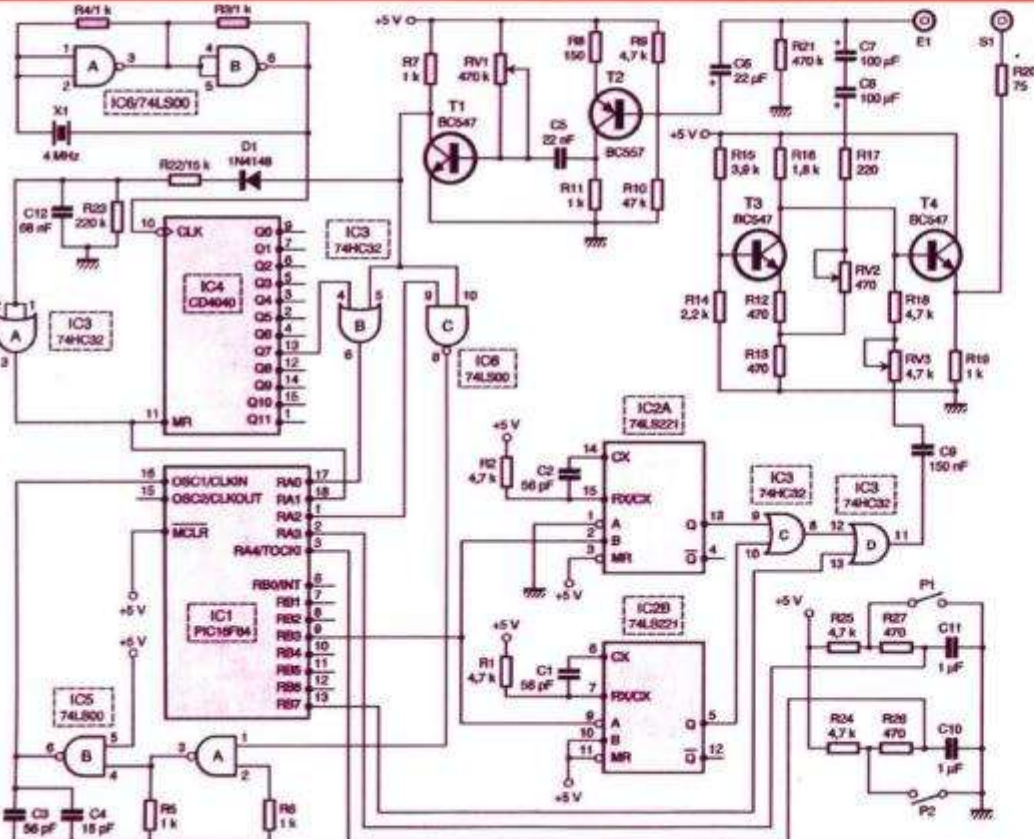
ÎNREGISTRĂRII

Constructorilor avansați care au preocupări în domeniul înregistrărilor video le semnalăm articolul

"Horodateur vidéo" apărut în revista *Electronique pratique* nr. 266 (iunie 2002), pag. 54-60, autor O. Viacava.

Montajul a fost conceput pentru inscrierea automată a datei și orei pe înregistrările video, fără a fi necesare reglaje pentru trecerea de la ora de vară la cea de iarnă și viceversa. Destinat în special instalațiilor de supraveghere video, montajul funcționează bine atașat camerelor video albe-negru, dar autorul precizează că poate fi folosit și cu camere color, în sistem SECAM.

Realizarea este descrisă pe larg în articolul menționat.



Stimați cititori,

Sumarul noului număr TEHNİUM pe care îl aveți în față este în mare parte un răspuns la numeroasele și foarte diversele dumneavoastră doleanțe sau chiar rugămintile expuse adresate redacției. Desigur, nu am putut să le satisfacem pe toate, după cum suntem conștienți că nu-i putem mulțumi deopotrivă pe toți cititorii noștri, atât de „diferiți” între ei ca profesie, ocupație, pasiuni (domenii hobby preferate), dar mai ales ca „vechime” și implicit nivel de cunoștințe acumulate în respectivele domenii de interes. Avem în „clubul” nostru TEHNİUM numerosi „veterani”, unii dintre ei – aşa cum singuri mărturisesc – cititori fideli ai revistei, încă de la primele ei numere. Desigur, aceștia așteaptă să le oferim de fiecare dată ceva nou, rafinat și elaborat, cu descriere cât mai concisă. Avem însă, pe de altă parte, și foarte mulți cititori tineri, diversificați și ei în privința cunoștințelor, a experienței acumulate, mai ales după starea materială a familiei și – din păcate – după norocul sau ghinionul lor de a locui la oraș, respectiv la țară. Cele mai multe mesaje – întrebări, solicitări, propunerile de subiecte, uneori și propunerile de articole – le primim tocmai de la acești tineri cititori, mulți dintre ei mărturisindu-ne că nu au altă sursă de documentare decât revista TEHNİUM. Ca atare, cititorii noștri „avansați” sunt rugați să ne ierte pentru articolele de inițiere special publicate pentru acești tineri cititori. Și, eventual, chiar să ne ajute în acest sens, aducându-și aminte că și ei au fost începători și multora dintre ei revista TEHNİUM le-a fost ca o a doua școală.

Sunt încă multe solicitări pe care n-am reușit să le onorăm nici prin conținutul numărului, nici prin intermediul rubricii „Poșta redacției”. De pildă, domnul Valentin Tudor (com. Ceptura, jud. Prahova) ne roagă să-i dăm informații despre posibilitatea realizării unui variator de turatie pentru pompa aparatului de hemodializă de tip FRESENIUS. Pentru a vă ajuta concret, domnule Valentin Tudor, trebuie să vă interesați și să ne comunicați ce fel de motor electric folosește pompa respectivă (tipul de motor – c.c., c.a., caracteristici principale – putere, turatie).

Ne pare rău de eșecul dv., domnule Mădălin Oprescu (Pitești), dar noi nu vă putem spune unde ați greșit dacă nu ne trimiteți o copie a schemei de amplificator AAF (2x50 W, kit) pe care ați încercat să-l realizați fără succes. Totuși, cel mai bine este să insistați la firma care v-a vândut montajul în kit) pe care ați încercat să-l realizați fără succes. Totuși, cel mai bine este să insistați la firma care v-a vândut montajul în kit (poate că setul a avut unele componente defecte sau chiar vreo greșeală/omisiune în instrucțiunile de realizare).

Ne bucurăm că ne-ați contactat din nou, domnule ing. M. Istrate (Craiova), și vă mulțumim pentru articolul pe care ni l-ați trimis. Din păcate, schemele nu sunt reproductibile și nici suficient de clare pentru a putea fi date la desenat. Dați-ne un număr de telefon unde vă putem contacta pentru detalii.

Și dumneavoastră, domnule Ilie Stoica (Urziceni) vă mulțumim pentru noile articole trimise și vă cerem scuze încă o dată, și pe această cale (telefonic am făcut-o imediat, știți) pentru regretabilă omisiune, din vina redacției, la articolul dv. „Recondiționarea contactelor la tastatură”, care a fost publicat în TEHNİUM nr. 1/2004, pag. 59, fără numele autorului, adică al dumneavoastră.

Ne vom ocupa, desigur, și de celelalte solicitări ale dumneavoastră. Până atunci vă dorim în continuare succes și vă semnalăm că editorul S.C. Presa Națională S.A. și redacția TEHNİUM au noile numere de telefon pe care le găsiți în caseta tehnică alăturată.

Alexandru Mărculescu

SUMAR

| | |
|--|------------|
| CONSTRUCȚORUL ÎNCEPĂTOR | pag. 4-18 |
| Factorul beta și măsurarea lui | |
| Indicatoare de tensiune | |
| Minilaborator de electronică | |
| LA CEREREA CITITORILOR | pag. 17-22 |
| Detectoare de metale PLL | |
| Sfaturi practice | |
| Regulator de turatie | |
| Verificarea telecomenzilor | |
| MAVO-35 | |
| Două idei simple | |
| CITITORII RECOMANDĂ | pag. 23-25 |
| Controlul digital al volumului | |
| Gloria ... Vest | |
| POȘTA REDACȚIEI | pag. 26-28 |
| CONSTRUCȚIA NUMĂRULUI | pag. 29-35 |
| Convertizoare statice | |
| HIFI | pag. 36-42 |
| Amplificator Hi-Fi de mare putere | |
| TEHNİUM PC | pag. 43-44 |
| Adaptor pentru placă audio | |
| Amplificator de sunet stereo pentru PC | |
| AUTOMATIZĂRI | pag. 45-51 |
| Echipamente pentru automatizarea funcțiilor | |
| hidrofoarelor și casetelor de apă | |
| AMENAJĂRI ÎN AGRICULTURĂ | pag. 52-58 |
| Soluții simple de irigație cu apă din surse locale | |
| AUTO-MOTO | pag. 59 |
| Redresor auto cu deconectare automată | |
| RADIOAMATORISM | pag. 60-61 |
| Stabilizator de tensiune | |
| Adaptor de antene | |
| Protecție | |
| Punte RC | |
| TEHNİUM TV | pag. 62-64 |
| Selectoare de canale | |
| TEHNİUM MODELISM | pag. 65-68 |
| Aparat pentru încercare și reglare servomecanismelor | |
| REVISTA REVISTELOR | pag. 67 |

TEHNİUM

Revistă pentru constructorii amatori

Fondată în anul 1970

Anul XXXIV, nr. 353, iunie 2004

Editor

S.C. Presa Națională SA

Piața Presei Libere nr. 1, București

Căsuța Poștală 68, București - 33

Redactor-suf.: fiz. Alexandru Mărculescu

Secretariat - macheta artistică: Ion Ivașcu

Redacție: Piața Presei Libere nr. 1,

Casa Presei Corp C, etaj 1, camera 121

Telefon: 224.21.02; 224.38.22 Fax: 222.48.32

E-mail: presanationala@yahoo.com

Abonamente

La orice oficiu poștal (Nr. 4120 din Catalogul Presei Române)

DTP: Clementina Geambău

Editorul și redacția își declină orice responsabilitate în privința opinilor, recomandărilor și soluțiilor formulate în revistă, aceasta revenind integral autorilor.

ISSN 1224-5925

© Toate drepturile rezervate.

Reproducerea integrală sau parțială este cu desăvârșire interzisă în absența aprobării scrisă prealabilă a editorului.

Tiparul Romprint SA

Abonamente la revista „Tehnium” se pot face și la sediul SC PRESA NAȚIONALĂ SA, Piața Presei Libere nr. 1, sector 1, București, oficiul poștal nr. 33. Relații suplimentare la telefoanele: 224.21.02; 224.38.22 FAX 222.48.32

Cititorii din străinătate se pot abona prin S.C. Rodipet S.A., cu sediul în Piața Presei Libere nr. 1, Corp B, Sector 1, București, România, la P.O. Box 33-57, la fax 0040-21-2226407, 2226439 sau e-mail: export@rodipet.ro

FACTORUL BETA SI MĂSURAREA LUI

Pagini realizate de fiz. Alexandru MĂRCULESCU

Printre parametrii intrinseci cei mai importanți ai tranzistorului bipolar se numără și factorul de amplificare în curent, denumit ușual *factorul beta* (β), iar în studiu aprofundat al tranzistorului considerat ca un cuadripol - parametrul h_{21E} .

De ce este atât de important acest factor beta? Și, dacă într-adevăr este, cum se explică faptul că putem realiza diverse montaje cu tranzistoare, obținând adeseori rezultate foarte bune, fără a avea habar ce valori ale factorului beta au tranzistoarele utilizate?

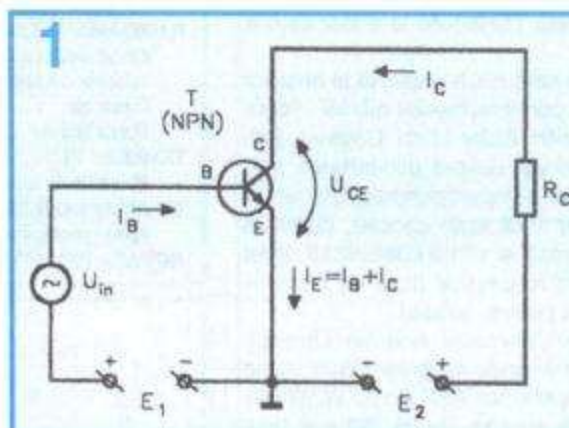
"Rațiunea de a fi" a tranzistorului bipolar - respectiv scopul utilizării lui în orice tip de montaj electronic - este obținerea unei amplificări (numită adeseori și căstig) în curent și/sau în tensiune, respectiv în putere. În funcție de scopul concret urmărit (natura amplificării - curent și/sau tensiune, precum și valoarea acestor amplificări), tranzistorul se conectează în etajul respectiv în una din cele trei configurații clasice (EC - cu emitorul comun, CC - cu colectorul comun, BC - cu baza comună), cărora li se calculează corespunzător valorile rezistențelor de polarizare și de sarcină. Indiferent de configurația aleasă, etajul respectiv are un circuit de intrare și un circuit de ieșire, rolul tranzistorului (bipolar - doar la ele ne referim în acest articol) fiind acela de "transformator" de impedanță între circuitul de intrare și cel de ieșire, amplificarea în curent și/sau tensiune rezultând tocmai din sensul și mărimea acestei "transformări" (transferări) de impedanță. De fapt, de la această proprietate definitorie provine însăși denumirea tranzistorului - în limba engleză TRANSISTOR - compusă prin alăturarea părților de început, respectiv de sfârșit, ale cuvintelor TRANSfered resTISTOR (rezistență transferată).

Măsura în care (mai precis limita maximă până la care) un tranzistor dat, într-o configurație dată (EC, CC, BC), poate realiza acest "transfer" de rezistență (transformare de impedanță) între circuitul de intrare și cel de ieșire depinde, firește, de "constituția" internă a tranzistorului. Tocmai pentru a caracteriza cantitativ această "măsură", în studiu etajelor cu tranzistoare s-au introdus (definit) diversi parametri intrinseci care să caracterizeze amplificarea maxim posibilă, între care și factorul beta de care ne ocupăm aici. Necazul mare este că valorile acestor parametri intrinseci ce caracterizează amplificarea variază pro-

nunțat nu numai de la un tip la altul de tranzistor, dar și de la un exemplar la altul, în cadrul aceluiași tip, prin aşa-numita împrăștiere din fabricație. Această constatare a condus, în timp, la numeroase măsuri de contracarare, între care, desigur, perfecționarea continuă a tehnologiei de fabricație, sortarea și marcarea (din fabrică) pe clase de factor beta, introducerea claselor "profesionale", cu plajă de variație mai riguros controlată etc. În ceea ce privește proiectarea și realizarea montajelor industriale (de serie mare) cu tranzistoare, această împrăștiere a factorilor de amplificare a condus la o limitare "acoperitoare" a căștigului pentru fiecare etaj în parte, prin dimensiunarea corespunzătoare a rezistențelor aferente, astfel încât - teoretic - să se poată folosi orice exemplar de tranzistor dintr-un tip dat, pentru care se precizează în catalogul producătorului plaja de variație (implicit valoarea minimă) a factorului respectiv de amplificare.

Cam asta ar fi explicația faptului că nouă, amatorilor, multe montaje ne reușesc bine fără să ne batem capul cu măsurarea factorului beta. Multe dintre schemele concepute și propuse de constructorii amatori "copiază" acest principiu industrial de proiectare, așa că se pot practic folosi exemplare la întâmplare din tipurile de tranzistoare menționate (recomandate) de autori. Ca atare, sunt destul de rare cazurile în care se fac precizări speciale în legătură cu factorii de amplificare ai tranzistoarelor utilizate, dar chiar și aceste precizări sunt de regulă foarte generale.

Există însă și excepții, care îl obligă pe constructorul amator să-și realizeze un aparat de măsură sau măcar un tester pentru evaluarea/compararea factorilor de amplificare ai exemplarelor de tranzistoare ce urmează a fi folosite. De exemplu, în cazul montajelor cu perechi de tranzistoare (de aceeași structură, PNP + PNP, respectiv NPN + NPN, sau de structuri opuse, PNP + NPN) care joacă roluri simetrice, cum ar fi etajele de amplificatoare diferențiale, etajele finale în contratimp ale amplificatoarelor de audiofrecvență și.a., performanțele optime se obțin atunci când cele două tranzistoare au același factor de amplificare (practic, factori cât mai apropiati posibil), ceea ce impune o măsurare prealabilă pentru "împerecherea" cât mai bună posibil, în limita stocului de exemplare de care dispunem.



Un alt exemplu, mult mai general, este acela în care noi însine - constructorii amatori - dorim să "exploatăm" cât mai bine tranzistorul pus într-un etaj oarecare, astfel încât să putem realiza un montaj performant cu cât mai puține etaje posibil. Pentru aceasta, sortăm în prealabil exemplarele de tranzistoare după factorul de amplificare, realizând montajul cu foarte bune rezultate și apoi îl publicăm, „uitând” să precizăm valorile respectivilor factori de amplificare. Rezultatul este că adeseori montajul se dovedește nerealizabil - „greșit”, cum se pronunță, oarecum îndreptățit, toți cei care nu reușesc să-l reproducă, folosind aceleași tipuri de tranzistoare. Alteori, neavând nici noi posibilitatea măsurării factorului de amplificare, concepem și realizăm - tot cu bune rezultate - diverse montaje cu exemplare de tranzistoare care întâmplător sunt foarte performante, dar care montaje se întâmplă adesea să nu „lăsă” la fel de bune la o nouă tentativă de realizare, cu alte exemplare de tranzistoare.

Concluzia acestei introduceri, voit lungită (căci ne adresăm aici constructorilor începători) este una dublă. În primul rând, cinsti și corect ar fi ca la fiecare montaj propus spre realizare constructorilor amatori, autori să preciseze *cerințele minime* în ceea ce privește valoarea factorului de amplificare pentru fiecare tranzistor folosit. În al doilea rând, pentru a putea să se temă de aceste precizări

ale autorului, constructorul amator ar trebui să-și realizeze el însuși un aparat pentru măsurarea - sau măcar pentru evaluarea ori compararea - valorilor factorului de amplificare, cel mai util a factorului beta, care intervine în relațiile de calcul al căstigului în curent și/sau în tensiune al tuturor etajelor cu tranzistoare.

Factorul beta

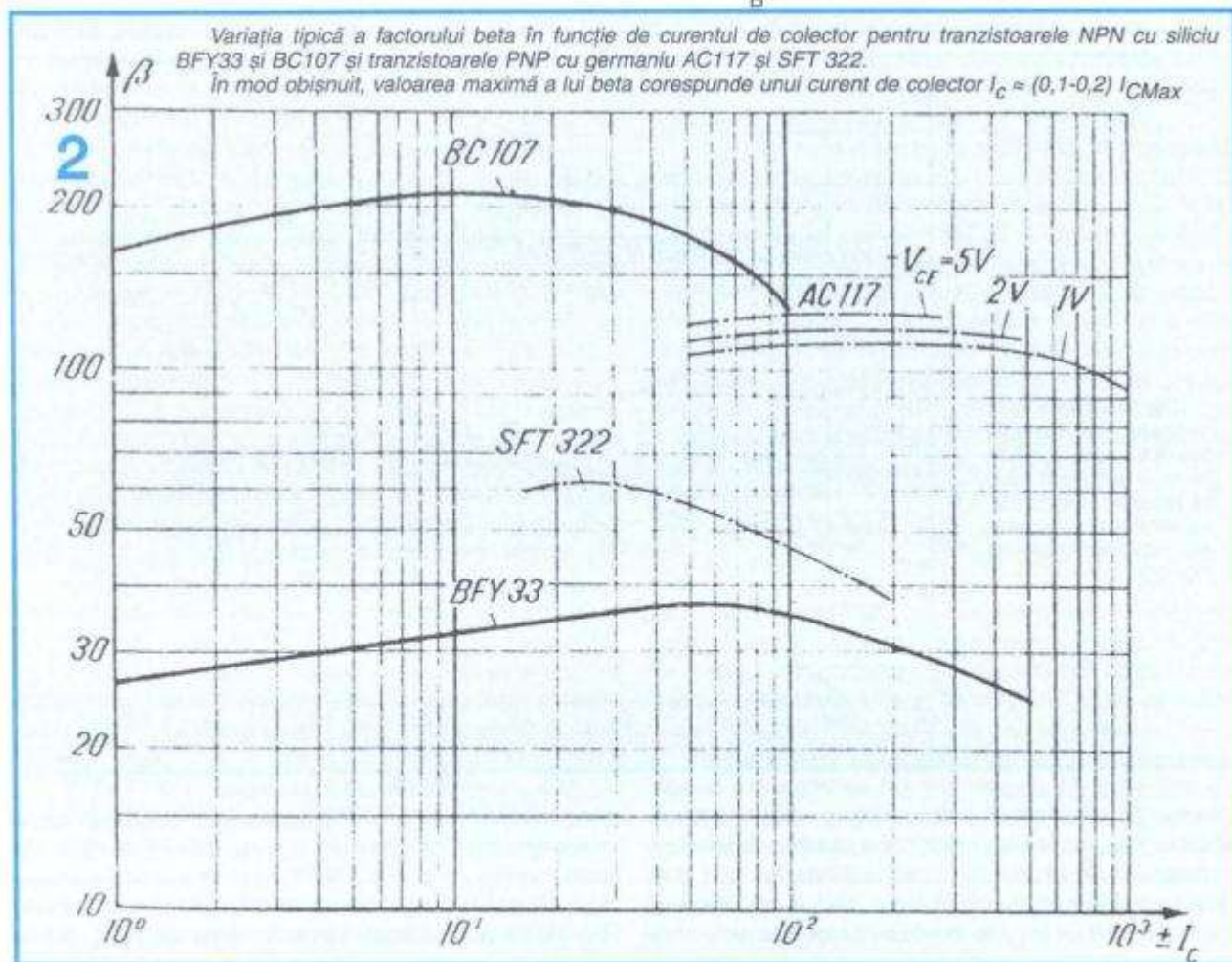
Configurația cea mai răspândită a etajelor cu tranzistoare este cea în conexiunea cu emitorul comun, EC, prezentată schematic în figura 1, pentru cazul unui tranzistor T având structura de tip NPN (pentru PNP se inversează sensurile tensiunilor de polarizare E_1 și E_2 , precum și sensurile convenționale ale curentilor de bază I_B și, respectiv, de colector I_C).

Tocmai de aceea, factorul de amplificare în curent definit pentru această configurație - care este *factorul beta* - a cunoscut, la rândul său, cea mai largă răspândire, fiind utilizat în relațiile de calcul al căstigului și menționat în catalogele producătorilor, de regulă ca plajă maximă de variație (împrăștiere) pentru un curent de colector dat și uneori și prin precizarea valorii $U_{CE} = \text{constantă}$.

Pentru această configurație EC, *factorul de amplificare în curent*, numit *factorul beta* (β), se definește prin relația:

$$\beta = \frac{\Delta I_C}{\Delta I_B} \quad \text{pentru } U_{CE} = \text{constantă} \quad (1)$$

Variatia tipică a factorului beta în funcție de curentul de colector pentru tranzistoarele NPN cu siliciu BFY33 și BC107 și tranzistoarele PNP cu germaniu AC117 și SFT 322.
În mod obișnuit, valoarea maximă a lui beta corespunde unui curent de colector $I_C \approx (0,1-0,2) I_{CMax}$

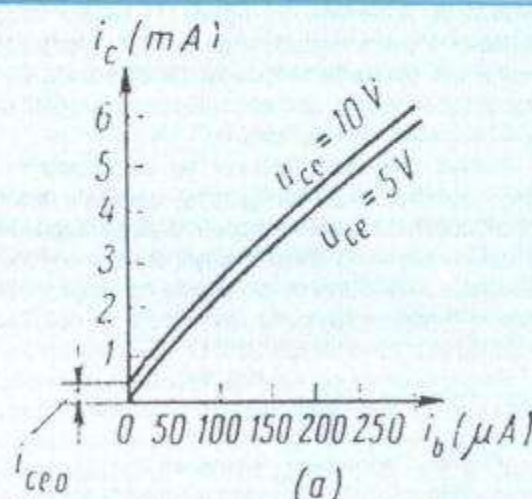


În cuvinte spus, factorul beta reprezintă raportul dintre variația ΔI_C a curentului de colector I_C și variația corespunzătoare ΔI_B a curentului de bază I_B , pentru o valoare constantă (specificată) a căderii de tensiune emitor-colector (de exemplu, $U_{CE} = 5V$, $U_{CE} = 1V$ etc.).

Definiția lui beta poate părea ambiguă sau chiar un nonsens, deoarece unei variații ΔI_B a curentului de bază îi corespunde, într-adevăr, o variație ΔI_C a curentului de

E_2 este presupusă constantă. Această contradicție aparentă s-a "rezolvat" teoretic prin considerarea situației ideale $R_C = 0$, adică presupunând că determinarea s-ar face pentru rezistență nulă de sarcină. Desigur, în practică acest lucru nu este recomandabil, deoarece trebuie să avem în permanență în circuitul de sarcină o rezistență de limitare, pentru protecția tranzistorului, sursa de alimentare E_2 a circuitului emitor-colector având, de regulă, o rezis-

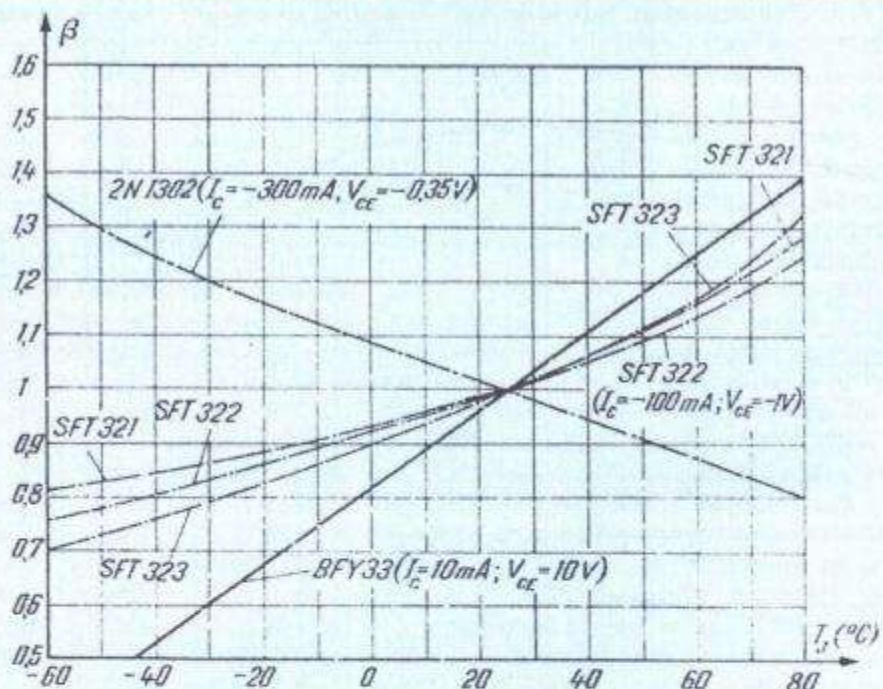
3



(a)

Caracteristica de transfer $i_C = f(i_B)$ la U_{CE} = constantă a tranzistorului în conexiunea cu emitorul comun

4

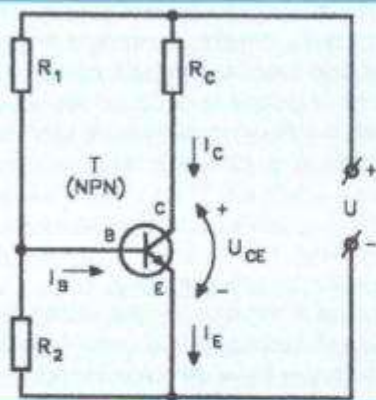


Caracteristicile normale ale variației factorului beta cu temperatura jonctiunii pentru tranzistoarele cu siliciu BFY33 și cu germaniu SFT321-323 și 2N1302

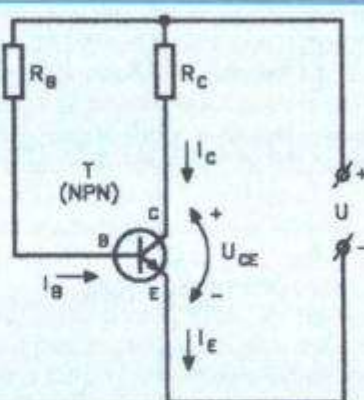
colector, dar din moment ce curentul de colector s-a modificat cu ΔI_C , implicit s-a modificat și căderea de tensiune pe rezistența de sarcină R_C din circuitul de colector, ceea ce atrage automat și modificarea căderii de tensiune colector - emitor, U_{CE} , deoarece tensiunea de alimentare

tență internă foarte mică. De aceea, în practică circuitul de măsurare este prevăzut cu o rezistență de sarcină (de colector) R_C nenuă, dar suficient de mică, astfel dimensionată, ținând cont și de valoarea tensiunii de alimentare E_2 , încât variația căderii de tensiune pe ea, $R_C \Delta I_C$, să fie

5



6



mică în raport cu valoarea lui E_2 , ceea ce va însemna că nici cădere de tensiune U_{CE} nu va suferi o variație importantă prin modificarea cu ΔI_C a curentului de colector.

Această "rigoare" - $U_{CE} = \text{constantă}$ - stipulată în definiția lui beta are ca scop să ne asigure că factorul de amplificare astfel determinat este într-adevăr o caracteristică intrinsecă a tranzistorului respectiv, deci independentă de valorile rezistențelor de sarcină din circuitul de colector. O "idealizare", firește.

O a doua observație în legătură cu definiția lui beta se referă la valoarea curentului de colector - valoarea inițială I_C și valoarea finală $I_C + \Delta I_C$ - la care nu se face referire expresă. Pentru a satisface condiția $U_{CE} = \text{constantă}$ (practic aproximativ constantă), am văzut că trebuie să alegem o valoare cât mai mică a rezistenței de sarcină R_C . Mai există însă și posibilitatea de a lucra cu rezistență de sarcină R_C mai mare (cât să asigure, pentru E_2 dat, o limitare a curentului I_C la valori nepericuloase), dar să operăm cu variații ΔI_C foarte mici, adică în imediata vecinătate a valorii inițiale I_C . Problema este cum să alegem valoarea curentului de colector I_C în jurul căreia vom efectua măsurătoarea? Și astă sub două unghiuri de vedere: întâi, pentru că factorul beta, chiar pentru un exemplar dat de tranzistor, nu este de fapt constant, valoarea lui depinzând - mai mult sau mai puțin - tocmai de valoarea curentului I_C în jurul căreia a fost măsurat. Din acest motiv, ne trezim adeseori în situația ca tranzistorul căruia i-am măsurat factorul beta la un curent de colector dat - să zicem $I_C = 100$ mA - să îl utilizăm în montaj la un curent de colector mediu semnificativ diferit, de pildă $I_C = 1A$. Desigur, chiar dacă variația lui beta în funcție de I_C nu este foarte mare (vezi, de exemplu, graficul din figura 2), preferabil ar fi ca măsurătoarea să se efectueze în condiții cât mai apropiate de cele ale montajului în care vom folosi tranzistorul respectiv. Dar aceasta ar însemna complicarea aparatului de măsurare folosit, respectiv a betametrului, care ar trebui să poată efectua măsurarea în orice punct al curbei de variație $I_C = f(I_B)$.

În fine, din al doilea unghi de vedere, pentru a ști cât de performant este un exemplar dat de tranzistor în raport cu plaja de variație a lui beta indicată în catalog pentru tipul respectiv, ar fi mai indicat să efectuăm măsurătoarea pentru valorile (orientative) ale lui I_C și U_{CE} specificate în catalog. De exemplu, pentru un tranzistor de tip BC 107

(fără litere adiționale de clasă, A, B sau C), fabricat de I.P.R.S.-Băneasa, catalogul indică plaja lui beta (h_{21E}) între 125-500, cu precizarea condițiilor de măsurare $I_C = 2mA$ și $U_{CE} = 5V$.

La astfel de întrebări - și la multe altele care se vor mai întâlni pe parcurs, vom găsi împreună răspunsuri, analizând mai multe scheme de betametre și de testere beta, dar mai ales realizându-le practic, folosindu-le și apreciind singuri rezultatele obținute.

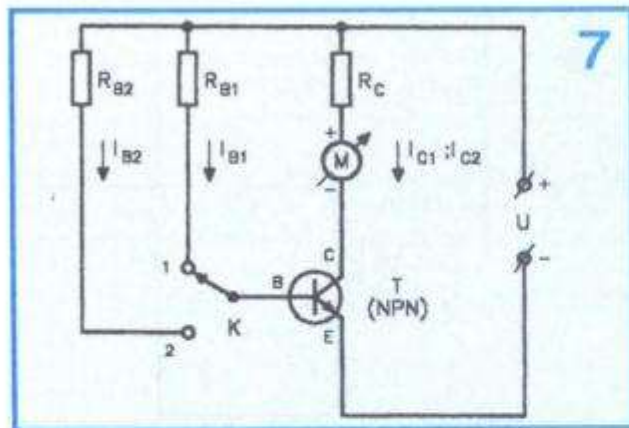
Desigur, ideal ar fi (măcar în situații speciale, când exemplul respectiv de tranzistor ar urma să funcționeze într-un montaj foarte exigent, în condiții la limită etc.) ca măsurarea factorului beta să se facă în mai multe "puncte" de pe curba $I_C = f(I_B)$, sau chiar să se traseze experimental această curbă, așa cum se arată în exemplul din figura 3, pentru diverse valori $U_{CE} = \text{constantă}$.

Spațiul nu ne permite să abordăm aici, fie și în treacăt, toate aspectele relevante privitoare la factorul beta. Un lucru însă tot mai trebuie amintit, și anume acela că factorul beta - la fel ca numeroși alți parametri intrinseci ai tranzistorului - depinde într-o măsură nu întotdeauna neglijabilă și de temperatură. De pildă, în [2] se prezintă graficul din figura 4, care ilustrează variația lui beta cu temperatura pentru câteva tipuri de tranzistoare. Valoarea de referință a lui beta (cea indicată și în cataloage) este cea pentru temperatură de 25°C , respectiv $\beta(25^\circ\text{C})$. Pentru o temperatură $T = 25^\circ\text{C} \pm \Delta T^\circ\text{C}$, valoarea "corectată" a lui beta se poate deduce aproximativ cu relația:

$$\beta(T) = \beta(25^\circ\text{C}) \cdot \left[1 + \frac{\Delta T}{K} \right] \quad (2)$$

unde factorul K are valoarea 100 pentru tranzistoarele cu germaniu și, respectiv, 50 pentru cele cu siliciu. În [2] se face precizarea că pentru tranzistoarele cu siliciu de mică putere, această variație a lui beta în funcție de temperatură este, totuși, neglijabilă adeseori la proiectare.

Pentru a putea trece efectiv la prezentarea unor montaje de betametre sau de testere beta, să observăm că în practică, schema etajului de amplificare cu tranzistor în conexiunea EC nu este tocmai cea din figura 1, care are mai mult un caracter "didactic". În majoritatea cazurilor, etajul este prevăzut cu o sursă unică de tensiune continuuă, U , care polarizează atât circuitul de intrare, cât și pe



7

cel de ieșire. Mai precis, din această tensiune unică, aferentă formal circuitului de ieșire (fosta sursă E_2 din figura 1), se "extragă" un curent I_B pentru polarizarea statică a bazei, de pildă prin intermediul divizorului rezistiv R_1, R_2 , ca în figura 5, sau cu ajutorul unei singure rezistențe R_B , ca în figura 6. Firește, "peste" polarizarea statică a circuitului de intrare se aplică și sursa de tensiune variabilă U_{in} (alternativă, în impulsuri etc.) pe care urmează să o amplifice montajul, dar nefigurată aici.

Marea majoritate a schemelor de betametre și de testere beta se bazează pe circuitul de polarizare statică a etajului EC din figura 6. Mai precis, se asigură (cu ajutorul unor elemente reglabilă sau comutabile) două situații distincte de polarizare statică, se măsoară cele două seturi de valori I_B și I_C și se deduce valoarea lui beta. Există și scheme de betametre dinamice, dar noi nu ne vom ocupa de ele aici.

Betametre și testere beta

Așadar, pentru a transforma circuitul din figura 6 într-un betamtru, ar fi suficient - în cea mai simplă variantă posibilă - ca în loc de o rezistență de polarizare a bazei, R_B , să fie prevăzute două rezistențe diferențite, R_{B1} și R_{B2} , selecționabile printr-un comutator K, dimensionate pentru două intensități convenabile ale curentului de bază, I_{B1} și I_{B2} . Nu mai rămâne decât să introducem în serie cu circuitul de colector un instrument adecvat (miliampmetru-ampermetru c.c.) cu ajutorul căruia să măsurăm cele două valori diferențite ale curentului de colector, I_{C1} și I_{C2} , corespunzătoare curentilor de bază I_{B1} , respectiv I_{B2} (fig. 7) și apoi să calculăm valoarea factorului beta cu relația de definiție (1), adaptată acestui aranjament (presupunând $I_{B2} > I_{B1}$):

$$\beta = \frac{I_{C2} - I_{C1}}{I_{B2} - I_{B1}} \quad (3)$$

Singura grija pe care trebuie să o avem este de a face un mic calcul prealabil, în funcție de natura tranzistoarelor pe care urmează să le măsurăm (mică, medie sau mare putere), pe de o parte pentru alegerea sursei de alimentare (U orientativ între 4,5V și 12V) și a valorii rezistenței de sarcină R_C . În plus, în funcție de plaja maximă scontată (dorită) pentru valorile lui beta, ne vom asigura că $\Delta I_B = I_{B2} - I_{B1}$ nu este prea mare (implicit, că $\Delta I_C = I_{C2} - I_{C1}$ nu este prea mare), pentru a fi îndeplinită aproximativ condiția $U_{CE} = \text{constantă}$ din definiția factorului beta.

Nu vom da un exemplu concret pentru această posibilă variantă de betamtru, din simplu motiv că aici factorul beta trebuie calculat "pe hârtie", mult mai comode fiind variantele - aproape la fel de simple - la care valorile factorului beta "se citesc" liniar pe scara unui instrument de măsură (betamtru cu citire directă).

Configurația din figura 6 fiind însă, așa cum am mai spus, "punctul de plecare" al multor variante de betametre și de beta-testere, ne întoarcem puțin la ea pentru a (re)aminti relația de calcul implicată.

În primul rând, tensiunea de alimentare U trebuie să fie constantă (sursă stabilizată, cel puțin în cazul betametrelor (pentru testere beta, de obicei portabile, se admit și surse nestabilizate, preferabil seturi de miniacumulatoare Ni-Cd)). În această supozitie, curentul de bază I_B , în cazul tranzistoarelor cu siliciu, poate fi calculat aproximativ cu relația:

$$I_B = \frac{U - U_{BE}}{R_B} = \frac{U(V) - 0,65V}{R_B} \quad (4)$$

rezultatul I_B fiind exprimat în amperi, dacă R_B se exprimă în ohmi, respectiv (mai ușual) în miliamperi, dacă R_B se exprimă în kilohomi.

Căderea de tensiune pe jonctiunea bază-emitor a tranzistorului, U_{BE} , a fost aproximativ la 0,65V, dar în cazul unor curenti de bază mari (tranzistoare de putere), ea poate fi sensibil mai mare. De aceea, după efectuarea calculului aproximativ al lui I_B cu relația (4), este indicat să se verifice rezultatul prin măsurare experimentală, iar la nevoie să se retușeze fin valoarea lui R_B (respectiv valoile lui R_{B1} și R_{B2} din figura 7, sau, în general, ale celorlalte combinații rezistive de polarizare a bazei, cu care ne vom întâlni pe parcurs).

În ipoteza că sursa de alimentare este stabilizată, deci tensiunea U este constantă, pentru a veghea respectarea condiției $U_{CE} = \text{constantă}$ (aproximativ), este suficient să proiectăm și să verificăm variația căderii de tensiune pe rezistență de sarcină, $U_S = R_C I_C$. Într-adevăr, deoarece

$$U = \text{constantă} = U_S + U_{CE} \quad (5)$$

rezultă că vom satisface cu atât mai bine condiția $U_{CE} = \text{constantă}$, cu cât vom permite (vom opera cu) variații cât mai mici ale căderii de tensiune U_S , respectiv cu variații cât mai mici ale curentului de colector I_C , deoarece rezistența R_C este și ea constantă.

Lucrurile se complică puțin în cazul utilizării unor surse autonome de alimentare (acumulatori), când ipoteza $U = \text{constantă}$ nu mai este întemeiată.

Necesitatea măsurării atât a curentului de bază, cât și a celui de colector îi încurcă serios pe constructorii începători, care de regulă sunt dotați cu un singur aparat de măsură, de pildă un AVO-metru sau un multimetru. Desigur, pe parcursul ajustărilor experimentale, valorile lui I_B și I_C pot fi măsurate "pe rând", folosind acest unic multimetru, bineînțeleas pus în prealabil pe un domeniu adecvat. Dar chiar și așa, mutarea instrumentului din circuitul de bază în cel de colector și viceversa este migloasă,

pentru că trebuie de fiecare dată să desfacem și să refacem conexiuni, eventual să închidem și să deschidem niște intrerupătoare intercalate ad-hoc, cărora la un moment dat le putem uita pozițiile.

Pentru simplificarea acestor operații putem apela la soluția sugerată în figura 8. Mai precis, în circuitul de bază și în cel de colector (plecând tot de la schema din figura 6) a fost intercalat câte un push-button (buton prin apăsare, cu revenire), PB1, respectiv PB2, ambele cu contacte normal închise (deci care se deschid prin apăsare). Contactele de lucru ale acestor butoane sunt racordate la niște borne de măsurare, a-b, respectiv a'-b', cărora le vom marca într-un fel polaritatea. Astfel putem "plimba" comod multimetrul de la un circuit de măsurare la altul, iar după selectarea domeniului adecvat (de pildă, 6 mA pentru circuitul de bază, 600 mA pentru cel de colector), nu avem decât să apăsăm pe timpul citirii butonul corespunzător.

Betametru cu citire directă - varianta 1

Vom trece acum la prezentarea unei prime variante de betametru cu citire directă, a cărui schemă o vom obține "complicând" treptat circuitul EC din figura 6.

O primă etapă este cea din figura 9, corespunzătoare tranzistoarelor cu structură de tip NPN. Observăm că în circuitul de intrare, rezistența R_B (fig. 6) a fost înlocuită cu combinația serie ajustabilă R_2+P . Aceasta ne permite să reglăm valoarea inițială a curentului de polarizare a bazei, I_{B1} , într-o plajă dorită. Apoi, mai observăm că pentru realizarea creșterii de curent $\Delta I_B = I_{B2}-I_{B1}$, în paralel cu grupul R_2+P se conectează rezistența R_1 , prin simpla apăsare a butonului PB (tot buton cu revenire, dar de data aceasta model cu contactele normal deschise).

Modificarea esențială a survenit însă în circuitul de ieșire (de colector), unde s-a introdus un aranjament de măsurare indirectă a curentului, folosind un voltmetru V de tensiune continuă. Acest voltmetru măsoară căderea de tensiune pe rezistența de sarcină, U_S , dar nu direct, ci scăzând din ea în permanență o tensiune fixă de referință, U_{ref} , furnizată la bornele rezistenței R_4 de divizorul fix R_4-R_5 . Scopul acestui aranjament de măsurare diferențială este acela de a scădea automat căderea de tensiune pe rezistența R_3 datorată curentului inițial de colector, I_{C1} , pentru care am ajustat din P valoarea inițială a curentului de bază, I_{B1} . Astfel, la apăsarea lui PB pentru creșterea ΔI_B , voltmetrul va măsura - pe întreaga scală, liniar - doar diferența $\Delta U_S = R_3 I_{C2} - R_3 I_{C1} = R_3 \Delta I_C$, adică direct proporțional cu creșterea curentului de colector.

Cum valoarea lui R_1 este fixă (o vom calcula și apoi ajusta experimental pentru o anumită creștere dorită a curentului de bază), rezultă că ΔI_B este și ea constantă, deci, conform definiției (1), indicația voltmetrului, direct proporțională cu ΔI_C , va fi direct proporțională și cu factorul beta.

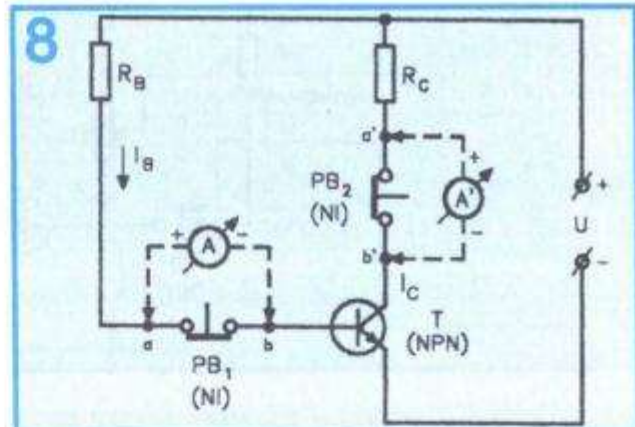
Cu alte cuvinte, dacă pentru valoarea inițială a curentului de colector, I_{C1} , ajustăm potențiometrul P astfel încât voltmetrul să indice zero, adică să avem egalitatea $U_S = U_{ref}$, la apăsarea butonului PB voltmetrul va indica, pe domeniul pe care este selectat, valori proporționale cu cele ale factorului beta.

Cam aceasta ar fi pe scurt "teoria" variantei de betametru cu citire directă din figura 9. Pentru realizarea practică, respectiv pentru dimensionarea valorilor rezistențelor, a tensiunii și curentului sursei de alimentare, precum și pentru alegerea domeniului de tensiune al voltmetrului, se pleacă în primul rând de la tipul tranzistoarelor ce urmează să fie măsurate și apoi de la plaja valorilor beta pe care dorim să-o acopere domeniul selectat al voltmetrului.

Vom ilustra în continuare modul de calcul pentru cazul tranzistoarelor de tip NPN, cu siliciu, de medie sau de mare putere (curent maxim de colector de cel puțin 1-1,5 A). În această situație putem lua o valoare inițială a curentului de colector $I_{C1} = 200$ mA. Apoi vom alege sursa de alimentare, de exemplu $U = 6$ V, tensiune continuă stabilizată. Pentru I_{C1} ales, este perfect acoperitor un curent maxim admis al stabilizatorului de circa 0,5 A.

Urmează alegerea valorii convenabile pentru rezistența de sarcină R_3 , conform celor analizate la definirea factorului beta. O valoare convenabilă în acest caz concret este $R_3 = 5 \Omega$. Vom folosi practic un rezistor cu puterea de disipație de minimum 3-4 W. Valoarea de 5Ω nefiind standardizată, vom sorta pe R_3 din seria de $4,7 \Omega / 4$ W, de exemplu, astfel încât exemplul ales să fie cât mai apropiat de 5Ω .

Curentul inițial de colector ales va produce, deci, la bornele lui R_3 o cădere de tensiune $U_{S1} = R_3 I_{C1} = 5 \Omega \cdot 200$ mA = 1 V.



Am ajuns astfel la proiectarea divizorului R_4/R_5 , care trebuie făcută astfel încât tensiunea U_{ref} (de la bornele lui R_4) să fie egală cu $U_{S1} = 1$ V. Tensiunea de alimentare fiind $U = 6$ V, rezultă că raportul rezistențelor din divizor va trebui să fie $R_4/R_5 = 1/5$. Pentru a asigura un curent suficient de mare prin divizor, astfel încât U_{ref} să nu fie influențată practic de consumul de curent al voltmetrului, putem lua, de pildă, $R_4 + R_5 = 300 \Omega$, respectiv un curent de $6\text{V}/300\Omega = 20$ mA prin divizor. Rezultă imediat valorile necesare: $R_4 = 50 \Omega$, $R_5 = 250 \Omega$. Cum nici aceste valori nu sunt standardizate, putem lua, de pildă, $R_4 = 47 \Omega$ și $R_5 = 240 \Omega$ (rezistoare de 0,5 W), sortându-le experimental, dintre mai multe exemplare, astfel încât U_{ref} să fie cât mai apropiată de valoarea dorită de 1 V. La această etapă de reglaj, bineînteleș, voltmetrul nu trebuie conectat în

poziția din figură, ci el se va racorda la bornele lui R4, cu minusul în punctul median N și pus pe un domeniu de 1,2 V (la nevoie 2 V sau 3 V), tensiune continuă.

Următoarea etapă o constituie alegerea plajei de valori beta ce vor fi indicate pe scara voltmetrului, precum și a valorilor elementelor R2 și P din circuitul de polarizare inițială a bazei. Fiindcă ne-am propus să măsurăm doar tranzistoare de medie și mare putere, un domeniu 0÷300 pentru factorul beta ar fi destul de convenabil. În acest scop vom alege ca instrument indicator un multimetru având scala de tensiuni continue divizată liniar 0÷30, astfel încât valoarea beta să se citească direct, înmulțind doar cu 10 gradația indicată de ac.

Rezistența de limitare R2, de altfel justificată și chiar strict necesară, va face să nu putem regla un curent inițial de bază mai mare decât valoarea aproximativă dictată de ea conform relației (4), adică $I_{Bmax} = (6V - 0,65V)/R2$, presupunând potențiometrul P trecut în poziția cu rezistență inserată zero. Prin urmare, domeniul de măsurare beta nu va fi de forma 0÷300, ci de forma $\beta_{min} ÷ 300$, unde β_{min} este dictat tocmai de valoarea aleasă pentru R2. Aceasta nu constituie un neajuns, deoarece oricum nu ne interesează practic tranzistoarele care au valori foarte mici ale

$R2 = 510\Omega$, rezultă că potențiometrul P va trebui să aibă cel puțin $10.190\Omega \approx 10k\Omega$. Vom alege un potențiometru bobinat de $10k\Omega$, cu diametrul bobinei cât mai mare (reglaj cât mai fin).

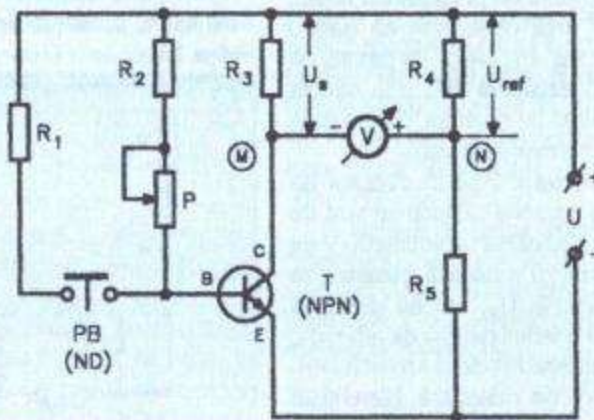
Pasul următor îl reprezintă alegerea domeniului de sensibilitate al voltmetrului V pe care vom citi valorile lui beta în plaja stabilită și, corelată cu acesta, determinarea valorii necesare pentru rezistența R1, care prin apăsarea butonului PB va asigura creșterea curentului de bază de la I_{B1} la I_{B2} , respectiv $\Delta I_B = I_{B2} - I_{B1}$. Primul criteriu care se are în vedere este de a nu opera cu creșteri mari ale curentului de colector, implicit ale căderii de tensiune U_S , pentru a respecta cât mai bine condiția $U_{CE} = \text{constantă}$ din definiția (1) a factorului beta. De exemplu, acceptabil ar fi ca tensiunea U_S să crească, pentru $\beta_{max} = 300$, cu valoarea $\Delta U_S = U_{S2} - U_{S1} = 0,6V$, care va fi și foarte ușor de citit pe scara voltmetrului V divizată 0÷30, alegând domeniul de măsurare de 0,6 Vc.c. al multimetrului.

Acestei creșteri cu 0,6 V a tensiunii U_S îi corespunde o creștere a curentului de colector:

$$\Delta I_C = I_{C2} - I_{C1} = 0,6V/R3 = 0,6V/5\Omega = 0,12A = 120mA.$$

Tinând cont de valoarea maximă (la cap de scală), $\beta_{max} = 300$, rezultă că introducerea lui R1 în paralel cu grupul inițial

9



lui beta. Să zicem că acceptăm o plajă posibilă de măsurare $\beta = 20÷300$, adică admisând $\beta_{min} = 20$. Cum curentul inițial de colector l-am ales $I_{C1} = 200mA$, acestui factor minim îi corespunde un curent inițial de polarizare a bazei de aproximativ $200mA/20 = 10mA$, care va fi tocmai I_{Bmax} . Din relația (4) deducem aproximativ:

$$R2 = (6V - 0,65V)/10mA = 535\Omega.$$

Putem lua deci, acoperitor, $R2 = 510\Omega$ (rezistor de 0,5 W).

Cealaltă extremitate a plajei beta alese, respectiv $\beta_{max} = 300$, ne impune valoarea minimă posibilă de reglaj pentru curentul inițial de polarizare a bazei:

$$I_{B1min} = I_{C1}/\beta_{max} = 200mA/300 \approx 0,666mA.$$

Aproximând acoperitor $I_{B1min} \approx 0,5mA$, rezultă:

$$R2 + P \approx (6V - 0,65V)/0,5mA = 10.700\Omega.$$

Cum pentru rezistența de limitare am ales valoarea

de polarizare $R2+P$ va trebui să asigure o creștere a curentului de bază:

$$\Delta I_B = I_{B2} - I_{B1} = \Delta I_C/\beta_{max} = 120mA/300 = 0,4mA.$$

Dacă aplicăm din nou relația (4), obținem aproximativ: $R1 = (6V - 0,65V)/0,4mA = 13.375\Omega$.

Această valoare nestandardizată se va obține prin sortare din rezistoarele de precizie (1%-2%), cu valorile nominale cele mai apropiate (13,3 kΩ sau 13,5 kΩ) sau la nevoie printr-o combinație serie sau paralel. Oricum, creșterea ΔI_B fiind importantă pentru precizia de etalonare a betametrului, rezultatul va fi verificat și la nevoie ajustat experimental, prin măsurarea lui ΔI_B în condițiile concrete de lucru.

Cu aceasta, proiectarea betametrului pentru domeniul $\beta = 0÷300$, cu citire directă (liniară) pe scara de 600 mVc.c., divizată 0-30, a voltmetrului V este încheiată. Cine dorește

poate trece la proiectarea unui alt domeniu, după modelul descris mai sus.

Modul de lucru cu acest betametru este următorul:

- Se trece inițial cursorul potențiometrului P în poziția cu valoarea maximă inserată a rezistenței;

- Se conectează la bornele M-N voltmetrul V, pus inițial pe un domeniu mai mare de tensiune (de exemplu, pe 12 Vc.c.); în absența tranzistorului T, acul va "bate" ușor spre stânga lui zero, punctul M fiind practic la plusul sursei U, iar punctul N la -1 V față de acesta;

- Se racordează la bornele E - emitorul, B - baza și C - colectorul tranzistorului T de măsurat, căruia îi vom ataşa provizoriu un radiator, pentru a evita ambalarea termică;

- Se ajustează cursorul potențiometrului P astfel ca acul voltmetrului V să indice aproximativ zero; în acest moment se comută voltmetrul de pe domeniul de 12 V pe domeniul de 0,6 V (care va fi folosit la măsurare) și se reajustează fin cursorul lui P astfel ca acul să indice cât mai precis diviziunea zero;

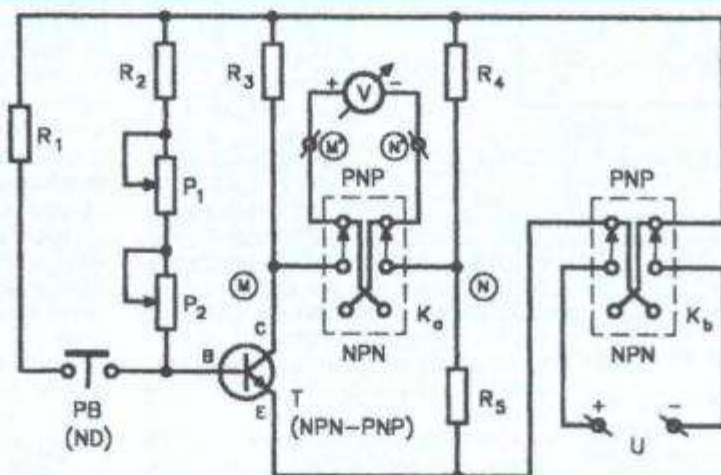
- Se apasă butonul PB și se citește noua indicație a acului, în diviziuni (de la 0 la 30); valoarea lui beta pentru tranzistorul astfel măsurat se obține înmulțind cu 10 indica-

unui regim de ambalare termică va duce la instabilitatea reglajului de zero al voltmetrului nostru diferențial, implicit și la nereproductibilitatea suficient de precisă a valorilor lui beta măsurate de mai multe ori consecutiv pentru același exemplar de tranzistor.

Montajul descris mai necesită cel puțin o "complicare" obligatorie, și anume introducerea unui sistem de comutare pentru trecerea comodă de la tranzistoarele de tip NPN la cele de tip PNP și viceversa. O soluție simplă în acest sens este cea din figura 10, unde cu ajutorul comutatoarelor K_b și K_a (fiecare cu 2×2 poziții), acționate simultan, se inversează polaritatea tensiunii de alimentare U și, respectiv, polaritatea voltmetrului V în raport cu bornele M-N. În plus, schema consemnează și o mică îmbunătățire în ceea ce privește finețea reglajului de zero al voltmetrului diferențial: adăugarea în circuitul de polarizare inițială a bazei a încă unui potențiometru (P2), cu valoarea de $1\text{ k}\Omega$ (tot bobinat).

Înainte de a trece la prezentarea unei alte variante performante de betametru cu citire directă (pe care îl vom "proiecta" de data aceasta pentru tranzistoare de mică putere, PNP și NPN), să mai zăbovим puțin asupra schemei din figura 9. Cu câteva mici modificări, aceasta

10



cația respectivă; de exemplu, pentru indicația acului la diviziunea 25 va corespunde $\beta = 250$ ș.a.m.d.;

- Se eliberează butonul PB și se comută din nou voltmetrul pe domeniul de 12 V, după care se deconectează tranzistorul de la bornele E, B, C, putând racorda în continuare un alt exemplar de tranzistor în vederea măsurării.

La modul de lucru vom face doar două mici precizări. Întâi, faptul că pentru timp relativ scurt, "bătaia" sub zero (-1 V) a acului voltmetrului nu este periculoasă pentru instrument, cu condiția ca acesta să fie pus pe un domeniu de tensiune mai mare (12 V, 15 V, 30 V). Pe măsură ce acul se apropie de zero, prin ajustarea potențiometrului, sensibilitatea voltmetrului poate fi comutată eventual succesiiv, întâi pe 3 V și apoi pe 0,6 V. A doua observație se referă la necesitatea montării tranzistorului pe un mic radiator; în caz contrar, chiar la tranzistoare de putere, apariția

poate fi transformată atât în betametru cu citire "directă" fără a mai fi necesar un instrument indicator (citire pe o scală gradată liniar, atașată potențiometrului P), cât și într-un foarte util și suficient de precis tester beta portabil, alimentat la un set de patru acumulatoare Ni-Cd de către 1,2 V/750 mAh, inseriate.

(Continuare în nr. viitor)

Bibliografie

- I. Zherebtsov, *Fundamentals of Radio*, MIR Publishers, Moscova, 1969
- R. Stere și colab., *Circuits a semiconducteurs dans l'industrie*, Vol. II, Editura Tehnică, București, 1972
- *** Colecția revistei TEHNIUM
- I.P.R.S. - Băneasa, *Dispozitive semiconductoare*, Catalog condensat, 1978

Atât în exploatarea curentă a acumulatorelor auto, cât și în perioadele când nu folosim mașina ori când acumulatorul este adus în casă (la încărcat etc.), este util să avem conectat la bornele lui un indicator luminos de tensiune, care să ne "spună" dintr-o privire cam în ce stare de încărcare / descărcare se află. Dacă indicatorul are un consum redus de curent, el nu afectează semnificativ capacitatea bateriei, în schimb debitarea permanentă a acestui curent, chiar slab, ajută la menținerea "în formă" a acumulatorului.

INDICATOARE de TENSIUNE

Fiz. Alexandru Mărculescu

Schema se compune dintr-un etaj comutator cu prag, realizat cu tranzistorul T1 și piezile aferente, și un etaj echipat cu tranzistorul T2, care acționează LED-ul, prin rezistența de limitare R4.

Etajul comutator are pragul dat aproximativ de tensiunea "de cot" a diodei Zenner DZ. Când tensiunea acumulatorului este mai mare decât cea de deschidere a lui DZ - în cazul din figură, de circa 12 V - tranzistorul T1 intră în conduction, fapt ce atrage după sine blocarea tranzistorului T2, deci LED-ul va rămâne stins. La scăderea tensiunii sub pragul de 12 V prestabilit, dioda Zenner nu mai conduce suficient pentru a-l menține în conduction pe T1; astfel, tranzistorul T2 va intra el în conduction, polarizat prin grupul R2+R3, ducând la aprinderea LED-ului.

Personal am folosit ani de zile acest indicator, atașat la acumulatorul auto pe care îl țineam în casă și sub pragul de 12 V prestabilit, dioda Zenner nu mai conduce suficient pentru a-l menține în conduction pe T1; astfel, tranzistorul T2 va intra el în conduction, polarizat prin grupul R2+R3, ducând la aprinderea LED-ului.

Acum minilaboratorul ne permite, cu eforturi organizatorice minime, să experimentăm și să pătrundem în domeniul electronicii, atât la școală, cât și în timpul orelor de studiu la domiciliu și, de ce nu, și în vacanțe. Dimensiunile lui mici nu necesită decât un... "coș de masă" sau un scaun-taburet pentru a fi "instalat" și a intra în funcțiune. În ce privește transportul lui, nu se pun probleme.

Am văzut un asemenea laborator la un magazin de produse electronice, adus prin import dintr-o țară din Extremul Orient. Prețul mare de vânzare ne-a dat de gândit pe loc, dacă nu cumva am putea realiza singuri o variantă a noastră de astfel de minilaborator, că doar materiale și piese electrotehnice și electronice avem destule și mai cumpărăm... de prin târguri. Am "furat" cu ochii soluțiile constructive, am strâns materiale și treptat, în circa două luni de muncă, minilaboratorul a fost gata (vezi **fotografiile**) și vrem să spunem tuturor elevilor că rora le place electronică, cititorii ai revistei TEHNIUM, cum am procedat.

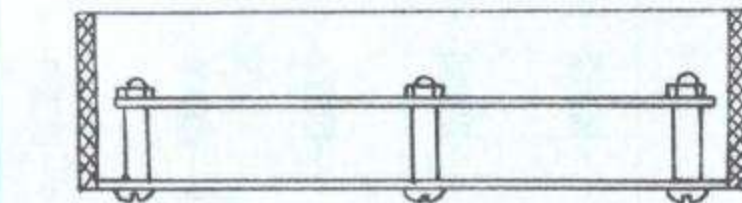
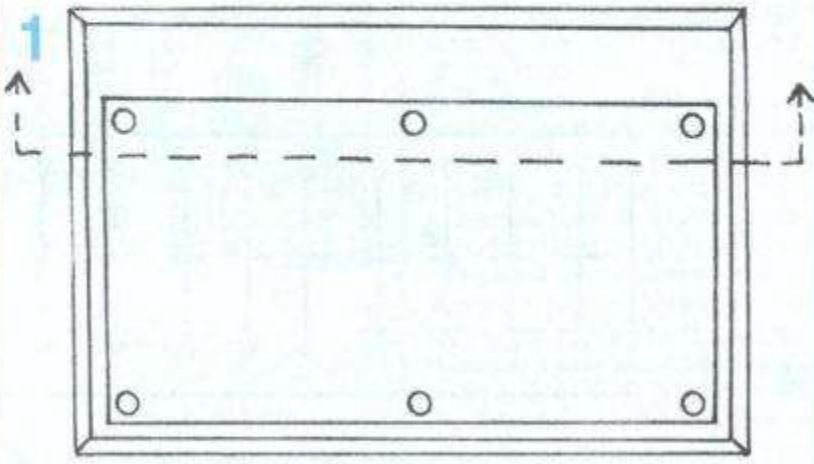
Mai întâi am făcut rost de o geantă tip diplomat veche, pe care un vecin o aruncase. Am procedat la o "recondiționare" a ei, rupându-i căpuseala de pânză, nefolosoare acum, și întărindu-i cele două funduri, care erau numai din vinilin, cu două capace de carton tare, introduse cât mai fest posibil. Am reparat, bineînțeles, și o încuietoare care era defectă.

Am procurat apoi două plăci de sticlotextolit neplacat, cu grosimea de 1 mm și dimensiunile cam cât dimensiunile gentii. Aceste plăci au fost găurile pe marginea, le-am fixat de cele două capace ale gentii cu câte 6-8 șuruburi M4 prin intermediul unor șaibe plate și al unor distanțiere confectionate prin tăiere cu o pânză de bomfaier (cumpărată din târg cu 5000 lei!), al unor corpură de plastic de pixuri stricate. Piulițele M4 de prindere a șuruburilor le-am transformat, pentru comoditatea înșurubărilor și deșurubărilor, în piulițe fluture, conform indicațiilor din figura 1.

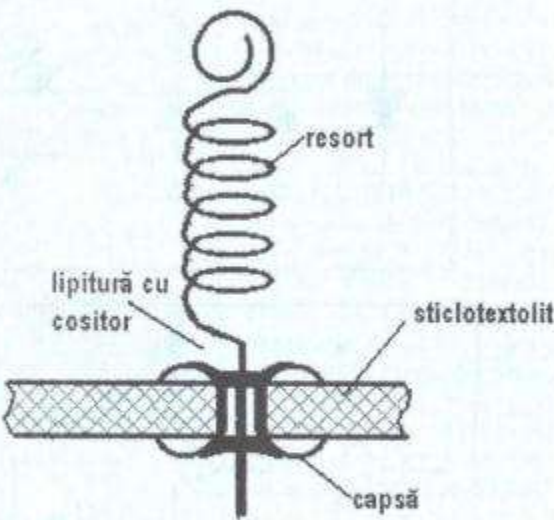
Privitor la partea mecanică de confectionare a minilaboratorului, mai sunt două probleme mari de rezolvat, și anume:

MINILABORATOR de ELECTRONICĂ

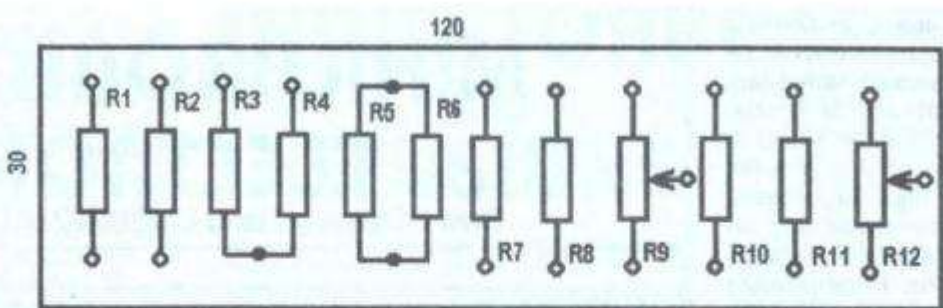
Elevi Cătălina și Radu UNGUREANU - București



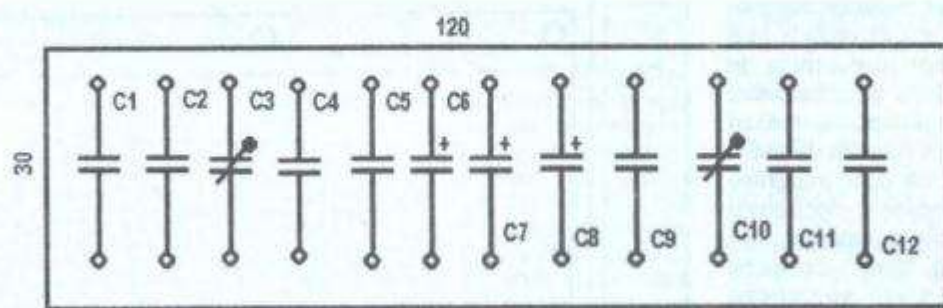
2



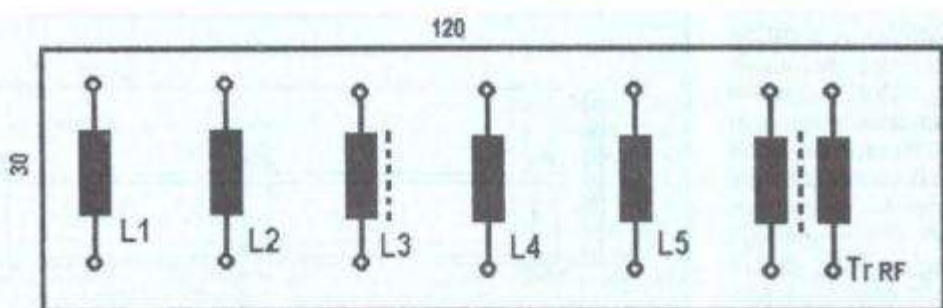
3



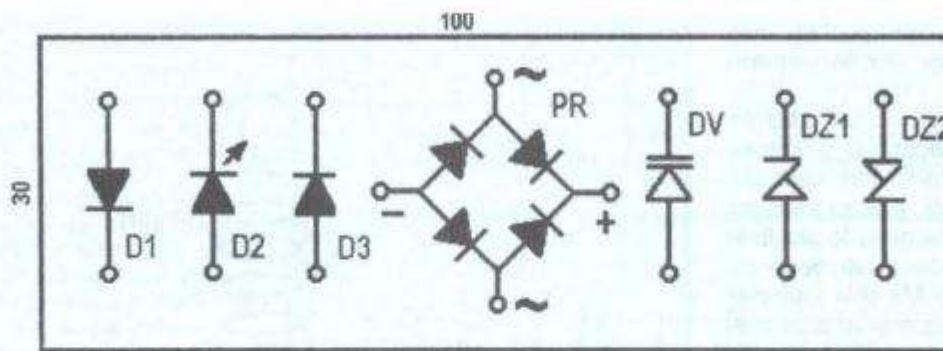
4



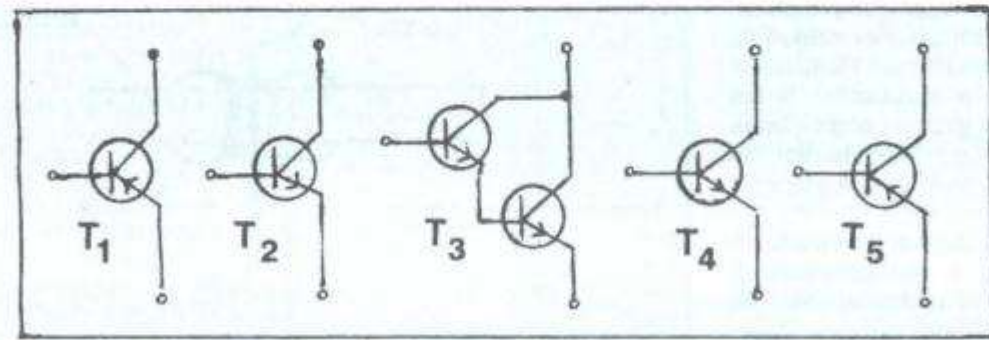
5



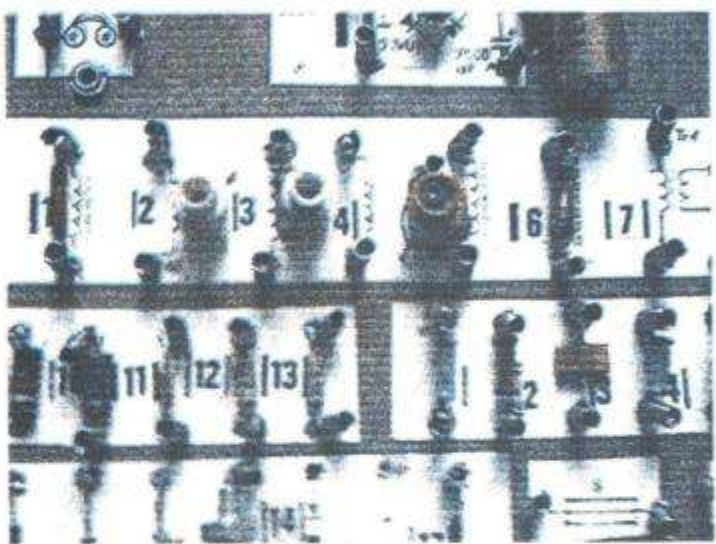
6



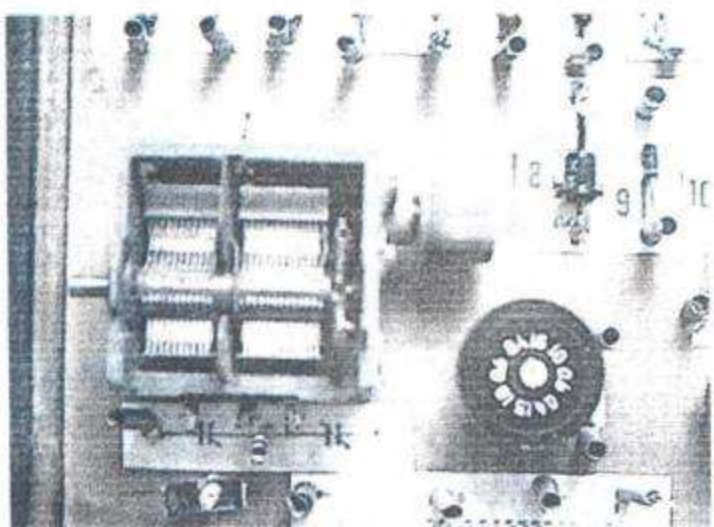
7



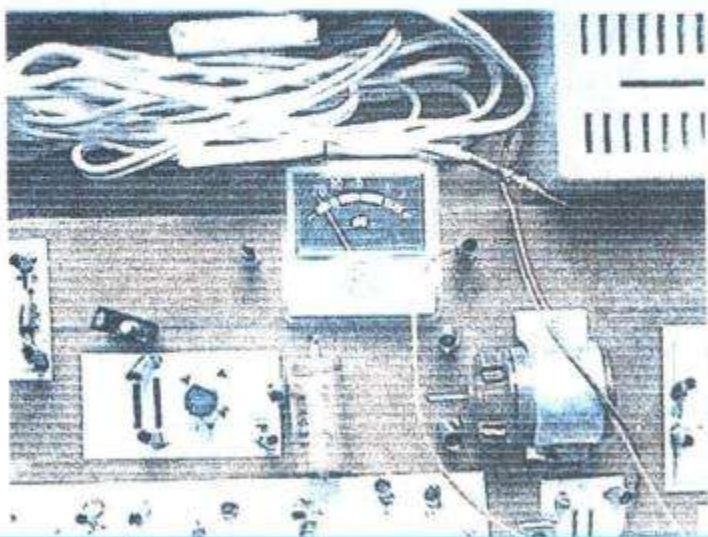
8



a



b



c

- procurarea a circa 150-200 de capse metalice \varnothing 2 mm, din alamă cositorită pentru lipirea componentelor (pentru un rezistor sau condensator sunt necesare două capse, pentru un tranzistor trei capse, pentru un transformator 4 capse etc.);

- procurarea a 150-200 de arcuri spirale din sârmă de oțel \varnothing 0,5 mm, spiră lângă spiră, cu lungimea de 10-14 mm și aspectul din **figura 2**.

Problema aceasta a arcurilor constituie problema esențială și inovația principală în construcția acestui minilaborator. Arcul, folosit neconvențional, nu ca resort, ci drept conector electric, permite conexiunea simplă într-un punct, chiar a 1-4 conductori, fără lipituri cu cositor (ar fi fost o problemă), fără a folosi 3-4 bușe radio (scumpe și voluminoase). Soluția cu arculete permite ca, întinzând arcul cu ajutorul unei pensete, să introducem între spirele lui (evident, neoxidate), capetele dezizolate ale cătorva conductoare lițate (cu care laboratorul trebuie să fie prevăzut, în cel puțin trei lungimi și 3-4 culori ale izolației din vinilin). Dacă veți încerca, precum am făcut-o noi, să le cumpărați din târg, ar trebui câteva sute de mii de lei. Soluția pe care o recomandăm este aceea de a apela la un strungar, prieten de familie, care să le confectioneze rapid la un strung, din sârmă de oțel de 0,5 mm diametru, pe un mandrin \varnothing 4 mm. Arcul foarte lung confectionat astfel va fi tăiat cu un clește special și prelucrat bucătă cu bucătă, conform desenului din figură.

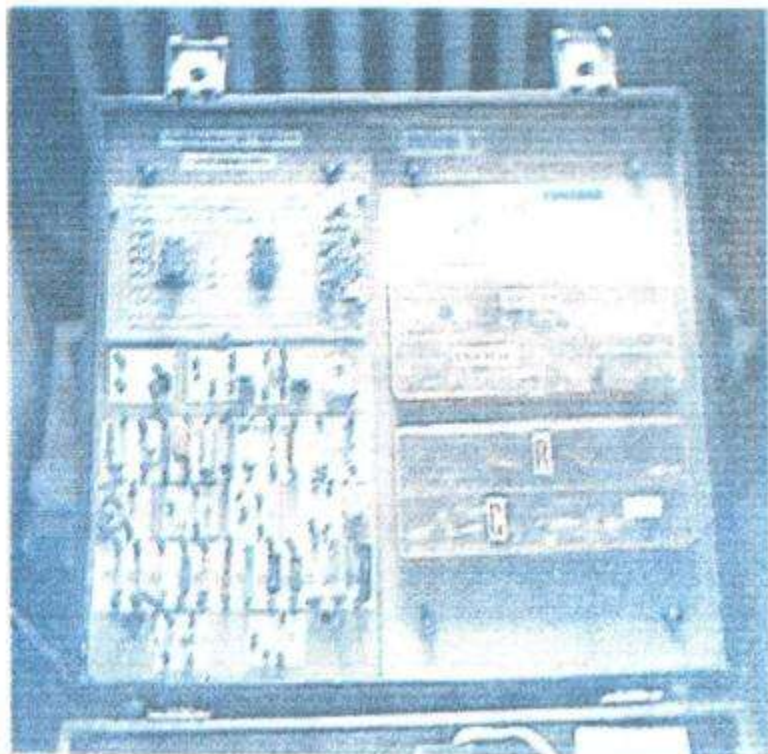
O ultimă problemă legată de arcul-contact este lipirea lui pe capsă fixată pe placă de sticlotextolit. După cum se știe, sârma de oțel nu se prea lasă... cositorită cu decapanți obișnuiți. Totuși, introducând capătul inferior al arculețului în acid ortofosforic (a se umbla cu atenție!) acesta se va cositori ușor și apoi se va lipi ferm de capsă (**figura 2**).

Am insistat mai mult asupra arcurilor pentru că ele au constituit și pentru noi principala problemă în realizarea minilaboratorului.

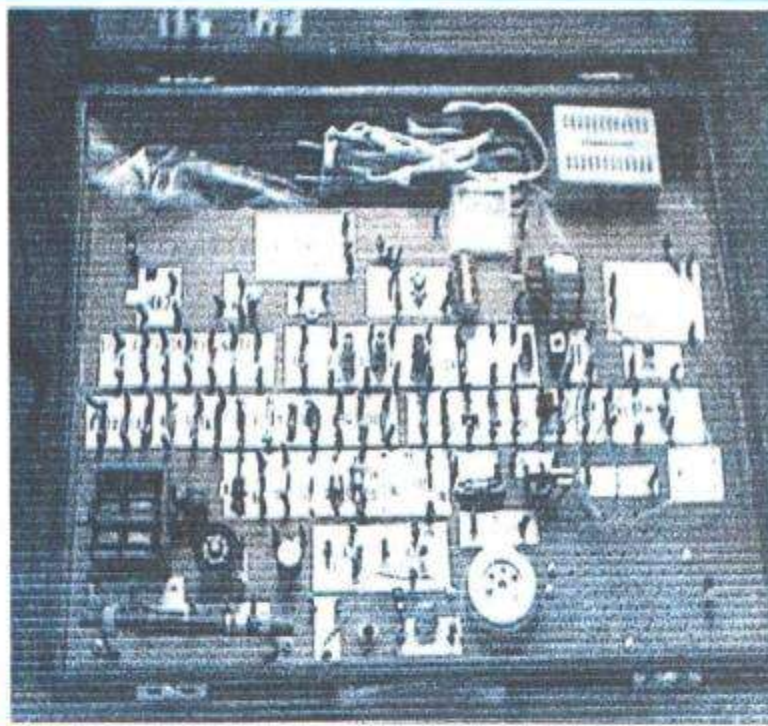
O dată rezolvate problemele mecanice, problemele electrotehnice și electronice constau, pe lângă procurarea componentelor cu care vom "înzestra" minilaboratorul

(întrerupător, corp siguranță, transformator de rețea, un instrument de măsurare a curentului, becuri, rezistoare, condensatoare, bobine, diode, tranzistoare etc.), în confectionarea panourilor frontale. În figurile 3, 4, 5, 6, 7 se prezintă câteva exemple. Panourile frontale se desenează pe hârtie albă respectând STAS-urile pentru desenele tehnice în vigoare, adică semnele convenționale pentru componente. După desenarea panoului, hârtia cu desenul se va lipi pe placa de sticlotextolit cu... prenadez. Nu încercați cu aracet sau pelicanol, că nu se va lipi! După lipire, în dreptul bornelor marcate pe desen se vor da găurile pentru buște, deci, rețineți, după lipirea desenelor pe sticlotextolit! După prinderea tuturor capselor, vom lipi arcurile-contact, având grijă să nu murdărим desenul cu decapant sau să-l ardem cu let-conul. Numărul de panouri rămâne la latitudinea constructorului, funcție de piesele pe care le are și gradul de complexitate al laboratorului. Se poate realiza un panou cu rezistoare, unul cu condensatoare, unul cu bobine, unul cu diode, unul cu tranzistoare etc., dar se pot realiza și panouri mixte cu componente pasive și active adiacente. Exemplul de panouri date de noi în figurile 3-7 pot fi folosite după copierea lor la XEROX și decupare. Pe panouri nu vom trece valorile parametrului de bază al componentelor, ci le vom nota în general R1, L2, C3, T4, D5 etc., dar vom face un "caiet de identitate" al minilaboratorului, în care vom trece toate datele de catalog ale componentelor. În tabelul alăturat se dă un exemplu de fișă pentru identificarea rezistoarelor. Anexele la acest caiet vor fi schemele ce se pot realiza în cadrul minilaboratorului, funcție de ceea ce există la dispoziție. Schemele de principiu ale aplicațiilor, în general simple, pentru începători, se pot lua din manualele școlare de fizică, din reviste etc., și se vor particulariza conform minilaboratorului (vor primi indicatorul din caietul de identitate). Legat de modul de folosire a laboratorului vom scrie un alt articol în viitor.

9



a



b

Tinem să spunem cititorilor că numărul de scheme ce se pot experimenta, depinzând și de ingeniozitatea fiecărui, este nebănuitor de mare, depășind ușor câteva sute. În figurile 8a, 8b și 8c sunt prezentate detalii ale montajului, iar în figurile 9a și 9b aspectul general al părții superioare și inferioare a mililaboratorului.

| R | Valoare | Tip | Putere |
|---|---------|------------------|--------|
| 1 | 10Ω | bobinată chimică | 3 W |
| 2 | 20Ω | " | 1 W |
| 3 | 50Ω | " | 0,5 W |
| 4 | 100Ω | " | " |
| 5 | 200Ω | " | " |
| - | - | - | - |
| - | - | - | - |
| - | - | - | - |

Să realizăm DETECTORARE de METALE PLL

Andrei CIONTU

Ca tip de circuit electronic (neintegrat), circuitul PLL (Phase Locked Loop = cu captarea și blocarea fazelor) a fost descris încă din anul 1932, când se desfășurau astfel cercetări teoretice și practice pentru detecția sincronă a semnalelor de RF cu MA (în fond, radioreceptorul superheterodină cu frecvență intermedie nulă).

Circuitul PLL (figura 1) are structura unui sistem urmăritor de reglare automată, adică are o buclă de reacție (feedback) prin care "efectul" influențează în sensul dorit "cauză". În schema bloc din figura 1 semnificația notațiilor este următoarea:

$u_1(t)$ = tensiune (semnal) de intrare (sinusoidală);

DP = detector de fază;

$u_2(t)$ = tensiune (semnal) de eroare;

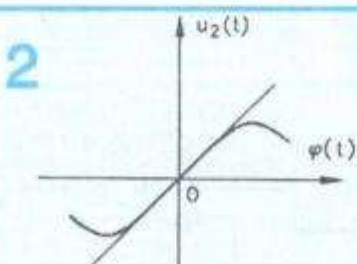
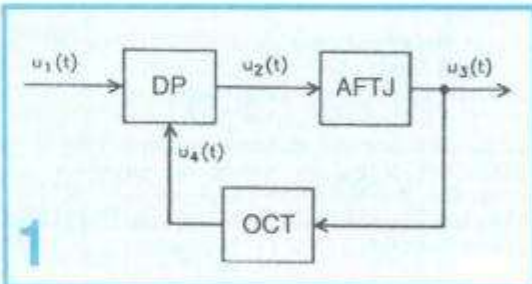
AFTJ = amplificator filtru trece-jos;

$u_3(t)$ = tensiune de comandă (înt variabilă);

OCT = oscilator controlat în tensiune, în fază (frecvență);

$u_4(t)$ = tensiune de referință.

Principiul de funcționare a circuitului PLL este relativ simplu: tensiunea $u_3(t)$ este proporțională cu variația de fază a tensiunii $u_1(t)$, care are loc în prezența unui material fer-



fabricat și în România (BE 561, BE 565).

Pentru că un detector de metale nu trebuie să lucreze pe o frecvență prea mare (câmpul electromagnetic al bobinei - sondă, care pătrunde în sol, ar fi atenuat prea mult), ne vom referi numai la circuitul BE 565, care are frecvență maximă de lucru de 500 kHz, suficientă pentru scopul propus. Structura internă a acestui circuit este prezentată în figura 3. Frecvența de lucru (care este și a semnalului de sondaj $u_1(t)$) este fixată prin valorile R_o , C_o :

$$f_0 = 1/3,7 R_o C_o$$

În figura 4 se prezintă schema unui demodulator (discriminator) MF realizat cu BE, care lucrează pe frecvență de 10 kHz [1].

Pentru deviații de frecvență a tensiunii de intrare de $\pm 0,1 f_0$ se obține la ieșire o tensiune de 150 mV. Frecvența de 10 kHz este însă prea mică, o valoare rațională fiind 100 kHz [3].

Circuitului din figura 3 trebuie, pentru aceasta, să i se micșoreze de 10 ori valoarea capacitatii C_o . În lipsa unei influențe feromagnetice, bobina-sondă, de inducție L , este acordată, deci, pe frecvența:

$$f_0 = 1/2\pi \sqrt{LC} = 100 \text{ kHz}$$

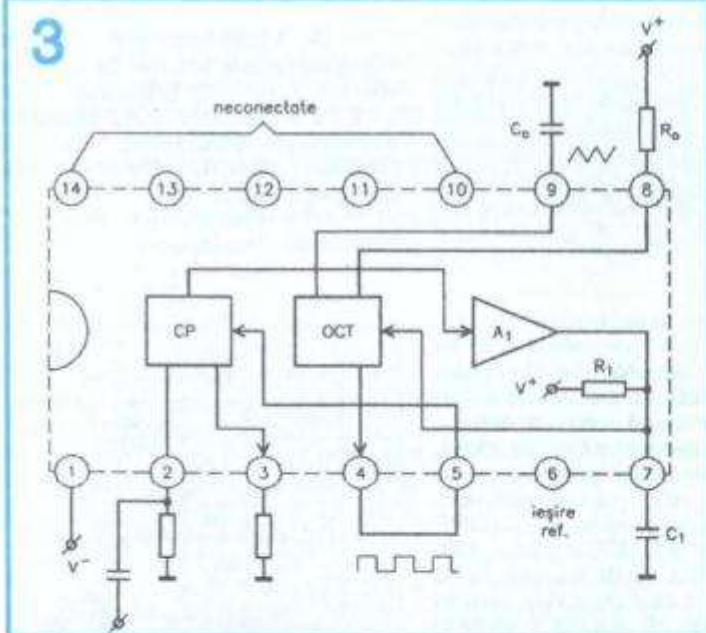
Prezența în câmpul bobinei a unui material feromagnetic face ca inducția ei să se modifice cu ΔL , iar frecvența cu Δf_0 :

$$\frac{\Delta f_0}{f_0} = -\frac{\Delta L}{2L}$$

Cercetări experimentale [3] au arătat că:

$$\frac{\Delta f_0}{f_0} = 10^{-4} \div 10^{-3}$$

În cazul optimist al valorii mai mari (10^{-3}), circuitul din figura 3 ar da la ieșire cca 15 mV, ceea ce pare suficient (pentru "prelucrarea" și "decrezarea" concluziei de existență a materialului feromagnetic).



romagnetic în câmpul bobinei sondă. Când tensiunile $u_1(t)$ și $u_4(t)$ coincid în frecvență și fază (sincronism), $u_2(t) = 0$ și sistemul urmăritor "îngheafă". Când $u_1(t)$ își variază, în mod independent, fază, $u_2(t) \neq 0$, apare $u_3(t)$ și OCT-ul este comandat în sensul anularui unghiului de defazaj al tensiunii de eroare (figura 2). În banda de "prindere" (captură) a sistemului, în jurul originii

curbei din figura 2, tensiunea de eroare este proporțională cu defazajul ϕ . Cu cât coeficientul de proporționalitate este mai mare, cu atât detectorul de fază DP este mai sensibil.

În prezent montajele care necesită o buclă PLL se realizează comod, deoarece au apărut circuitele integrate PLL, ca o categorie de CI - liniare. Astfel de circuite s-au

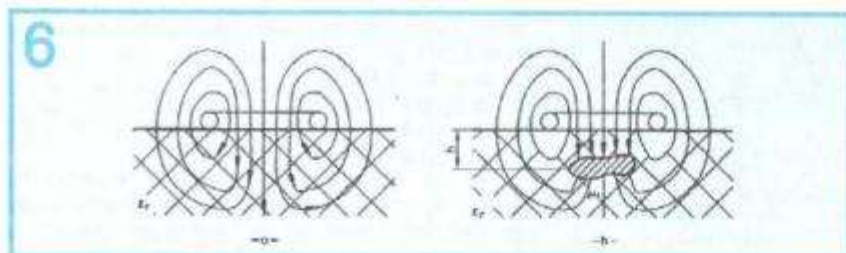
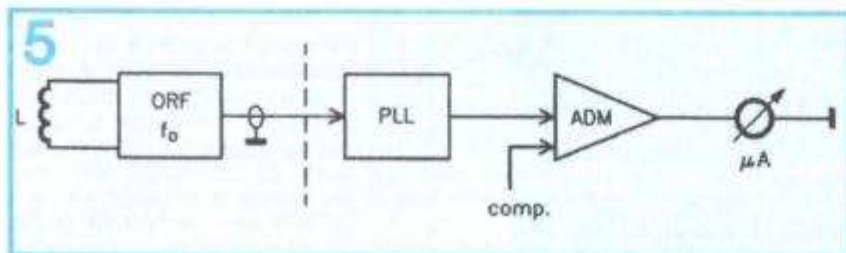
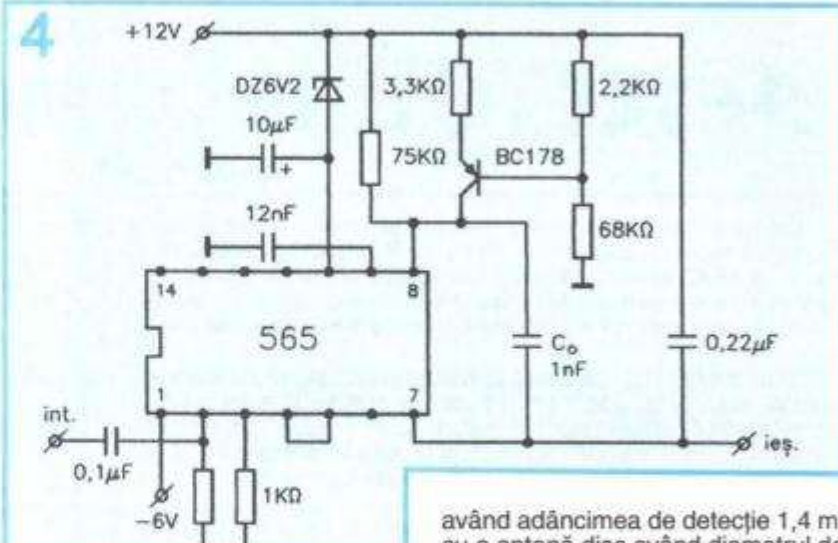
Așadar, cum vom realiza un detector de metale cu PLL? Schema bloc este prezentată în figura 5, în care:

L = inductanță bobinei-sondă;
 ORF = oscilator de RF pe
 frecvența f_0 .

ADM = amplificator diferențial de măsură;

μA = microampermetru

Dacă asupra frecvenței oscilatorului ORF s-a convenit pentru valoarea $f_0 = 100$ kHz, problema se pune pentru puterea acestui oscilator. O parere personală, având în vedere că se dorește o adâncime de penetrare a câmpului în sol (h) cât mai mare, este aceea că puterea ORF ar trebui să fie crescută de la valorile de 10-15 mW (cât au schemele publicate) la cca 1 W. Numai astfel energia câmpului electromagnetic (de inducție, din



zona apropiată) nu va fi absorbită în totalitate de sol și va exista câmp și în zona "neomogeneității" feromagnetică.

Corful feromagnetic trebuie să influențeze liniile componentei magnetice a câmpului, pentru ca L să se modifice (figurile 6a și 6b).

Ca exemplu de schemă a unui detector de metale PLL dăm [3] pe cea din figura 7. Circuitul integrat NE565B este echivalent cu 3E 565. Referitor la această schemă, pe care nu am experimentat-o, facem următoarele observații:

- microampermetrul indicator (al prezenței metalului îngropat) trebuie să aibă zero la mijloc, dezechilibrarea putând avea loc în ambele sensuri (polarități ale tensiunii date de ADM);

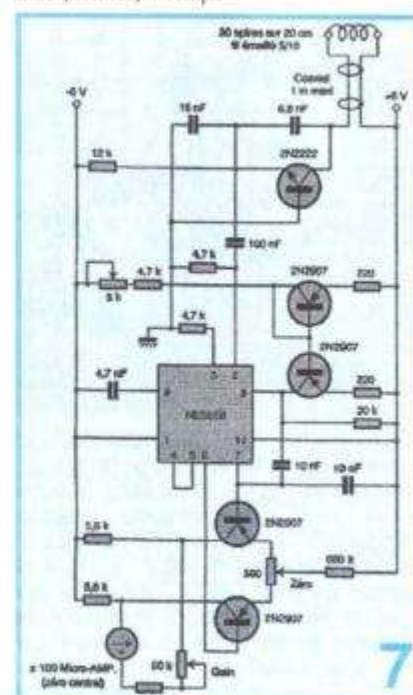
- tranzistorul oscilator 2N 2222 (care este, de fapt, un tranzistor de comutare) trebuie să fie înlocuit cu un alt tranzistor capabil să oscileze

pe 100 kHz și să dea o putere de 1W. Să nu se facă greșeala de a se "adopția" un amplificator de ieșire între 2N 2222 și sarcină (bobina-sondă L), pentru că acesta ar acționa și ca un etaj separator (buffer) între L și ORF și frecvența acestuia nu ar mai fi influențată, așa cum am dorit. Recomandăm pentru noui ORF tranzistoarele BD 135 - 137 - 139, care au o frecvență de tranziție de 50 MHz. La un factor de amplificare în curent tipic de 25, ele pot lucra bine la frecvențe până la 200 kHz.

În ce privește considerațiile asupra realizării bobinel-sondă și a întregului detector de metale, date în TEHNIUM nr. 3/2003, acestea rămân valabile și pentru varianta cu PLL.

Referitor la performanțele unor detectoare de metale de producție franceză, revista „Science et Vie” menționează următoarele:

- În dotarea „Protecției Civile” există detectoare de metale (DM)



PROCEDEU DE COSITORIREA ALUMINIULUI

Cauza pentru care nu se poate cositor aluminiul este aceea că aluminiul, în contact cu aerul, se oxidează foarte repede, în fracțiuni de secundă, iar oxidul de aluminiu ce se formează pe suprafață înălțatură posibilitatea cositoririi lui, din cauză că nu face aderență cu cositorul, indiferent ce decapant se folosește.

Pentru a îndepărta oxidul de aluminiu de pe suprafața ce trebuie cositorită și a împiedica formarea unui nou strat de oxid se execută următoarele:

Pe locul unde se dorește executarea cositoririi se pune ulei mineral (ulei ce se folosește la ungerea motoarelor, cutiilor de viteze ale automobilelor sau chiar ulei de ungere a mecanismelor fine, ce se găsește la magazinele de chimicale, menaj etc).

Se urmărește ca pe locul ce trebuie pregătit pentru a fi cositorit, pata de ulei să fie mai mare decât suprafața necesară cositoririi.

Locul unde este depus uleiul se răzuiește cu un vârf de cuțit, iar oxidul rezultat în urma răzuirii se îndepărtează lateral față de locul unde trebuie executată cositorirea. În timpul când se curăță oxidul de aluminiu, pelicula de ulei trebuie să existe permanent pe locul în care se va executa cositorirea. În cazul în care pelicula de ulei se întărită prin curățirea oxidului, se pune un nou strat de ulei și se execută operația de curățire a oxidului pentru a se face o cositorire cât mai perfectă.

Când se consideră că locul ce trebuie cositorit este bine curățit de oxidul de aluminiu, se poate executa cositorirea locului respectiv cu fludor sau cu cositor folosind ca decapant colofoniu sau pastă decapantă, iar operația de cositorire va fi perfectă, dacă operația de pregătire a locului a fost efectuată bine.

Pentru o bună reușită trebuie respectate unele condiții:

- letconul să fie bine încălzit și să aibă o putere mai mare de 80-100 W;

- în timpul când se execută cositorirea, vârful letconului se mișcă continuu pe locul ce trebuie cositorit.

În cazul în care nu se realizează o cositorire perfectă, se reiau operațiile, iar rezultatele nu se lasă așteptate.

Eu vă doresc succes la toți care veți folosi metoda expusă.

SFATURI PRACTICE

Mă numesc BOGDEA GHEORGHE, locuiesc în Timișoara și din anul 1970, de la apariția revistei TEHNİUM, am studiat toate numerele ce au fost publicate. Sunt maistru electronist, lucrez în această meserie de peste 40 (patruzeci) de ani și nu am încetat nici în prezent să mai lucrez.

Ce m-a determinat să vă scriu această scrisoare? În revista TEHNİUM nr. 3 din septembrie 2003 s-a solicitat de domnul ing. PETRE POPOVICI revistei TEHNİUM o metodă de cositorire a aluminiului. Vă propun și eu o astfel de metodă.

Pentru confirmare vă trimit la redacție două mostre de lipire a aluminiului.

VERIFICAREA TELECOMENZILOR CU AJUTORUL UNUI APARAT DE RADIO (R.R.)

Pentru a verifica buna funcționare a unei telecomenzi se execută următoarele operații:

- se verifică bateriile de alimentare, dacă dispun de tensiunea nominală ce alimentează telecomanda, respectiv 3V, 6V sau 9V, în funcție de tipul de telecomandă;

- se verifică consumul în gol al telecomenzi cu un microampmetru, fără a apăsa vreunul din butoane; în acest caz consumul este foarte mic, de obicei de 2-10 µA. Acest consum în gol (I₀) mai depinde și de tipul telecomenzi, cât și de elementele active și pasive ce o compun.

În cazul în care nu se dispune de aparatul pentru care se folosește telecomanda, de exemplu televizor, radiocasetofon, videocasetofon etc., se procedează așa cum vom arăta mai jos.

Pentru a ne convinge că telecomanda este în stare perfectă de funcționare, toate butoanele sunt în perfectă stare de funcționare, își păstrează calitatea de a executa toate comenziile, se procedează după cum urmează:

- Se apelează la serviciile unui aparat de radio (R.R.) sau radio-casetofon (R.Cs.) care se găsește în fiecare gospodărie, dar aparatul respectiv trebuie să disponă de gamele de unde lungi (148-283 kHz) și unde medii (526,5-1606,5 kHz), iar receptia să se facă de aparat prin antena de ferită.

- Se pornește aparatul de radio sau radiocasetofonul și se pune pe gama de unde lungi; se dă volumul la maxim și se acordează aparatul de radio pe o frecvență mai mică și se apropiu telecomanda de aparatul de radio la aproximativ 5-10 cm, cât mai aproape de antena de ferită a radioreceptorului și se apasă unul din butonul de acord al radioreceptorului până la audiere maximă în difuzorul radioreceptorului a impulsurilor emise de telecomandă. În cazul în care nu se aud impulsurile în difuzor, se emite pe celelalte butoane, iar în cazul în care nu se aud în difuzor impulsurile emise, cauza este telecomanda defectă. În gama de unde lungi a radioreceptorului se prind mai multe maxime ale impulsurilor emise de telecomenzi (4 la 5 maxime), iar în gama de unde medii 3 la 4 maxime, de obicei în partea de jos a gamei (526,5 până la 900 kHz).

Când s-a realizat acordul perfect al radioreceptorului pe semnalul maxim al telecomenzi, se verifică toate butoanele prin apăsare succesiivă, iar în cazul în care pe unele butoane apăsată, în difuzorul receptorului nu se aude nimic, cauza este buton defect și se notează pentru a fi rezolvat.

Buton defect: materialul conductor al butonului și-a mărit foarte mult rezistența; contactele ce trebuie făcute (realizate) sunt defecte; circuitele de legătură între contacte și circuitul integrat specializat al telecomenzi sunt întrerupte.

În rest vă doresc succes deplin și recomand ca radioreceptor pentru verificarea telecomenziilor aparatul de radio GLORIA sau altul cu o sensibilitate cât mai bună.

Regulator de turătie

Sorin PISCATI

pentru

aspirator

și

mașină

de

găurit

Acum montajul a fost relevat după schema de comandă a unui aspirator de fabricație franceză.

Motorul electric universal (cu colector) al aspiratorului are o putere de 1,2 kW.

Fiind simplu, ușor de realizat și cu performanțe bune, își găsește multiple și diverse aplicații practice.

Schimba de principiu este prezentată în figura alăturată. Deși montajul este simplu și ieftin, pentru construcția lui sunt necesare câteva precizări și anume: triacul TR de 6 A la 400 V se va monta pe un radiator termic adecvat. Ca radiator poate fi utilizat chiar motorul electric al aspiratorului sau mașinii de găurit, cu condiția să fie bine izolate unul de celălalt din punct de vedere electric.

Potențiometrul P de $470\text{ k}\Omega$ trebuie să fie cu variație liniară. Nu se vor utiliza potențiometre logaritmice sau exponentiale.

Axul potențiometrului va fi pre-

văzut cu un buton din plastic (izolant), astfel încât să nu intre în contact cu mâna utilizatorului.

Semireglabilul SR va fi și el cu variație liniară a rezistenței.

Condensatoarele C1 și C2, ambele de $0,1\text{ }\mu\text{F}$, vor fi de tipul PNP (cu polistiren) nepolarizate.

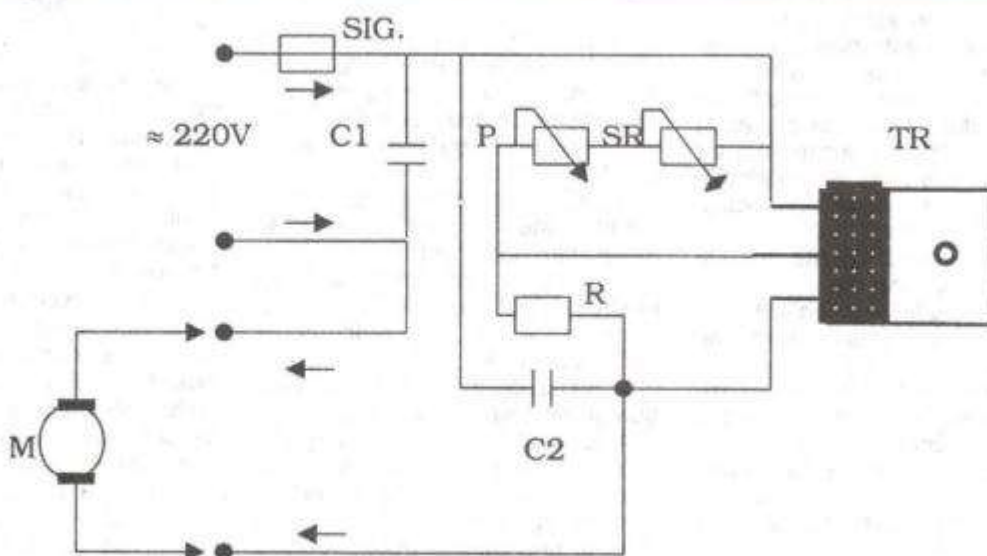
Tensiunea de lucru a condensatoarelor C1 și C2 va fi de 400 V în curent alternativ.

În schimba de principiu din figură, triacul TR este poziționat cu radiatorul metalic în jos.

Se poate utiliza și alt triac de putere mai mică sau mai mare, în funcție de puterea motorului electric comandat.

Lista de piese

1. C1;C2 $\Rightarrow 100\text{ nF}/400\text{ V}$
2. R $\Rightarrow 33\text{ k}\Omega/1\text{ W}$
3. P $\Rightarrow 470\text{ k}\Omega$
4. SR $\Rightarrow 1\text{ M}\Omega$
5. TR \Rightarrow Triac (6A/400 V)



După demontarea telecomenției defecte, se curăță carcasa din plastic cu apă și detergent, cablajul imprimat cu alcool, iar partea din cauciuc se sterge cu un tampon de vată miuat în alcool, evitându-se suprafața contactelor, pe care urmează să fie depus un nou strat conductor din carbon. Acesta se realizează din pulbere obținută prin pilirea unei perii colectoare din grafit (cât mai moale), prin depunere pe pastilele conductoare cu ajutorul gumei de sters a unui creion cu gumă, după cum urmează: se ia un strat fin din pulberea de carbon pe partea plană a gumei prin răscuirea creionului, repetându-se mișcarea pe fiecare pastilă conductoare în parte. După executarea depunerii, surplusul de pulbere se înălță prin suflare. Dacă după verificarea funcționării telecomenției se constată că una sau mai multe comenzi rămân blocate, se sterge cu alcool

La rugămintea fierbinte a domnului Puiu Viorel din Sarighiol de Deal, com. Beidaud, jud. Tulcea - tânăr electronist și mare fan al lui TEHNIUM - republicăm alăturat schema electrică a multimetrului MAVO-35 (fost și MF-35), produs de cunoscuta întreprindere de Aparate Electrice de Măsurat Timișoara. Sperăm ca schema să fie utilă și

Verificarea telecomenților

Eugen BULGARU, Galați

Studiez cu interes articolele dumneavoastră din revista TEHNIUM, în mod deosebit cele referitoare la depanarea audio-video. În numărul din decembrie 2003 ați publicat un articol legat de verificarea telecomenților, la finalul căruia ați solicitat cititorilor să vă trimă spre publicare o metodă practică de recondiționare a contactelor mobile din cauciuc. Ca răspuns la solicitarea dumneavoastră vă propun o metodă simplă, la îndemâna tuturor.

cablajul imprimat și se repetă verificarea. O atenție deosebită trebuie acordată depunerii strict pe suprafața pastilelor, pentru a înălța posibilitatea scurtcircuitării pro-

duse accidental de suportul elastic din cauciuc.

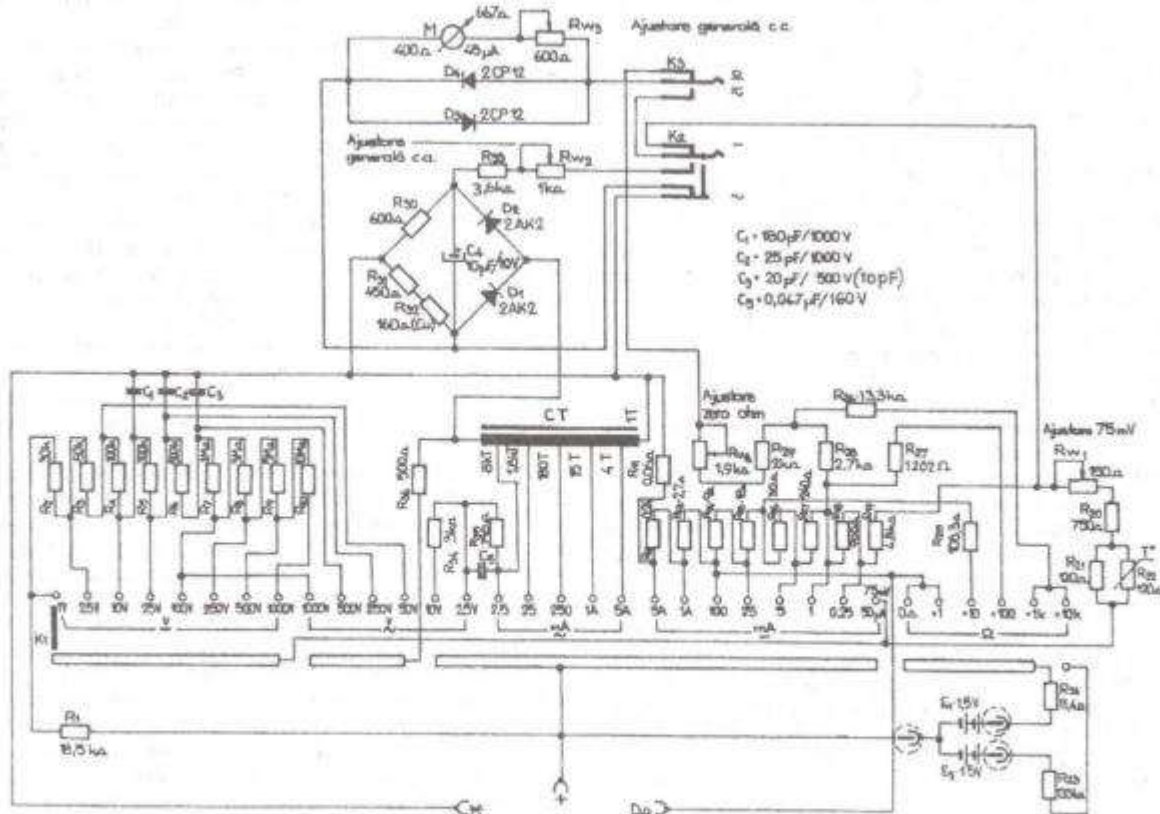
Îmi cer scuze pentru întârzierea cu care am răspuns rugămintii dumneavoastră.

MAVO - 35

alor posesori ai acestui multimetru (prezentat mai pe larg în TEHNIUM nr. 3/1981), care la vremea respectivă era un aparat de măsură foarte apreciat.

Totuși, domnule Puiu Viorel, vă sfătuim să cereți ajutor, în depanarea pe care intenționați să faceți, unui electronist cu expe-

riență, pentru că în aparate de măsură - mai ales în cele de precizie, cum este MAVO-35 - nu se „intră” doar cu letconul și cu entuziasm.



Două idei simple pentru îmbunătățirea randamentului la incubatoare

Ilie STOICA, Urziceni

Articolul de față se referă la incubatoarele electrice fabricate la IPEE - Curtea de Argeș și care sunt utilizate în foarte multe gospodării. Este vorba despre acelea care au o incintă formată din două piese (calote) așezate una peste cealaltă, iar forma lor e apropiată de aceea a unei umbrele de ploaie deschisă.

Utilizez un asemenea incubator din anul 1993 și pot spune că aşa cum a fost conceput și realizat, el poate să satisfacă nevoile unei gospodării individuale. Totuși, m-am confruntat cu unele probleme, a căror soluționare o prezintă în cele ce urmează.

O primă problemă a fost faptul că, de mai multe ori, atunci când constatau că ciocniseră ouă în proporție de cca 75% din capacitatea incubatorului, printre acestea găseam și pui morți care, firesc, ar fi trebuit să ajungă la faza de ecloziune. Temperatura și umiditatea erau corespunzătoare.

Analizând problema, am ajuns la concluzia că singurul motiv era moartea prin asfixiere, repet, după ce ciocniseră ouăle. Fabricantul incubatorului a prezentat pentru ventilația acestuia un singur orificiu cu diametrul de 10 mm în partea superioară a incintei și câteva orificii mai mici aproape de baza acestuia. După părerea mea, acest sistem de ventilație este mult subdimensionat în raport cu necesarul de aer proaspăt, pentru cazul cel mai fericit de 100% ouă eclozionate.

Pentru a ameliora această situație, am procedat în felul următor. În partea de sus a incintei incubatorului am executat încă trei orificii, identice ca mărime cu cel executat de fabricant, conform figurii 1. Centrele acestor orificii noi le-am fixat în aşa fel încât să fie și estetic amplasate, dar și să asigure o ventilație uniformă în spațiul interior al incubatorului. După aceea am largit orificiile de jos la diametrul de 5 mm.

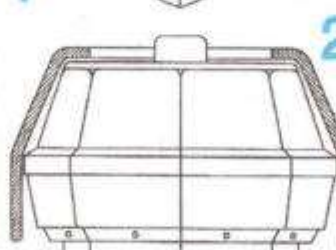
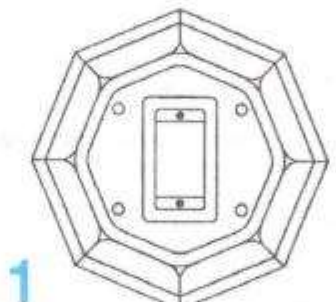
După aceste modificări, incubatorul se utilizează la fel ca înainte, conform instrucțiunilor fabricantului, dar cu următorul amendament: după ce incubatorul a fost pregătit, înainte de a fi pornit, se astupă complet toate cele patru orificii de sus cu bucăți potrivite de material adeziv, gen leucoplast, scotch etc. După ce au trecut trei zile de la pornire, se destupă unul din orificii. Când s-a ajuns la jumătatea perioadei de incubație, respectiv ziua a 10-a, în cazul puilor de găină, se mai destupă un orificiu. Este bine ca acesta să fie cel opus, pe diagonală, față de primul. După ce a trecut cam 3/4 din perioada de incubație, adică ziua a 15-a la puji de găină, se destupă încă un orificiu. În sfârșit, atunci când se constată primul ou ciocnit, se destupă și ultimul orificiu.

Procedând în acest mod, aerul cald dar viciat cu

CO_2 din interiorul incubatorului se ridică spre "tavanul" acestuia și lese într-o cantitate mult mai mare prin cele patru orificii libere. Datorită diferenței de presiune create, aerul rece și mai bogat în oxigen este aspirat prin orificiile de jos, într-o cantitate la fel de mare, suficientă pentru situația când tot mai multe ouă sunt ciocnite. Puii sau bobocii de rătă pot depune mult mai ușor efortul necesar să spargă fiecare coaja oulu propriu în vederea ecloziunii.

Indiferent de specia de păsări, am respectat același grafic la destuparea orificiilor conform tabelului alăturat.

| Perioada de incubație | După 3 zile | 1/2 | 3/4 | Primul ou ciocnit |
|-----------------------|-------------|-----|-----|-------------------|
| Orificiu | I | II | III | IV |



O a doua problemă pe care am remarcat-o la incubator a fost faptul că, nefiind izolat termic față de mediul exterior, pierde destul de ușor căldura din interior. Aceasta face ca elementul de încălzire să fie solicitat mai des într-un interval de timp constant, efect care determină și un consum total mai mare de energie electrică.

Unii posesori de incubatoare și-au dat seama de acest lucru și au rezolvat problema, dar într-un mod mai primitiv, în sensul că au acoperit sau chiar au "infofolit" incubatorul cu pătură, blană sau alte materiale de acest gen. Totuși, un asemenea mod de rezolvare e dăunător din următoarele motive:

- incubatorul este mai puțin la "vedere" și rămâne nesupravegheat;
- poate fi așezat într-o poziție deviată de la cea orizontală;
- ventilația internă este afectată, dacă nu chiar blocată;
- supraîncălzirea unor elemente din sistemul său electric și care poate cauza alte probleme grave.

Mult mai bine este să se confectioneze o husă specială, care să acopere incubatorul dar care să nu-i afecteze funcționarea. Aceasta trebuie croită și cusută în aşa fel încât "să vină bine" pe corpul incubatorului, conform figurii 2. În partea de sus trebuie să aibă decupată o porțiune ca un dreptunghi, care să lase liber modulul de comandă și cele patru orificii de aerisire. În partea de jos trebuie să rămână un spațiu liber de 1-2 cm de la marginea inferioară a husei, până la suprafața pe care este așezat incubatorul, pentru a permite ventilația.

Materialul pentru husă poate fi orice material textil mai gros care "jine de cald". Nu este rău dacă este dublat și cu material impermeabil, cum este acela din care este confectionată costumația sportivă de iarnă.

Montaje de acest gen au mai apărut în TEHNIUM (nr. 11/1987, 3/1991, 4/1995), dar cel de față se remarcă prin numărul mic de componente și simplitatea cablajului, fiind accesibil și constructorilor începători. De aceea nu mai dăm nici un fel de explicații teoretice privind funcționarea montajului. Se utilizează un C.I. specializat (TC 9153) de producție japoneză, care se găsește în comerț la un preț acceptabil (60 000 lei). Investiția cred că merită, datorită performanțelor obținute și comodității în exploatare, eliminându-se potențiometrul dublu, sursă a atâtorei neplăceri în timp. Reglajul de volum "+" (UP) și "-" (DOWN) se face cu câte un buton fără reținere, normal deschis, în 32 de pași.

La intrare se poate aplica semnal stereo de la un decodor stereo sau de la un casetofon. În figurile alăturate se prezintă schema electrică, cablajul realizat la scara 1:1 (văzut prin transparentă) și modul de amplasare a componentelor.

Montajul a fost realizat și funcționează de mai mulți ani, în componența unui receptor UUS de construcție proprie.

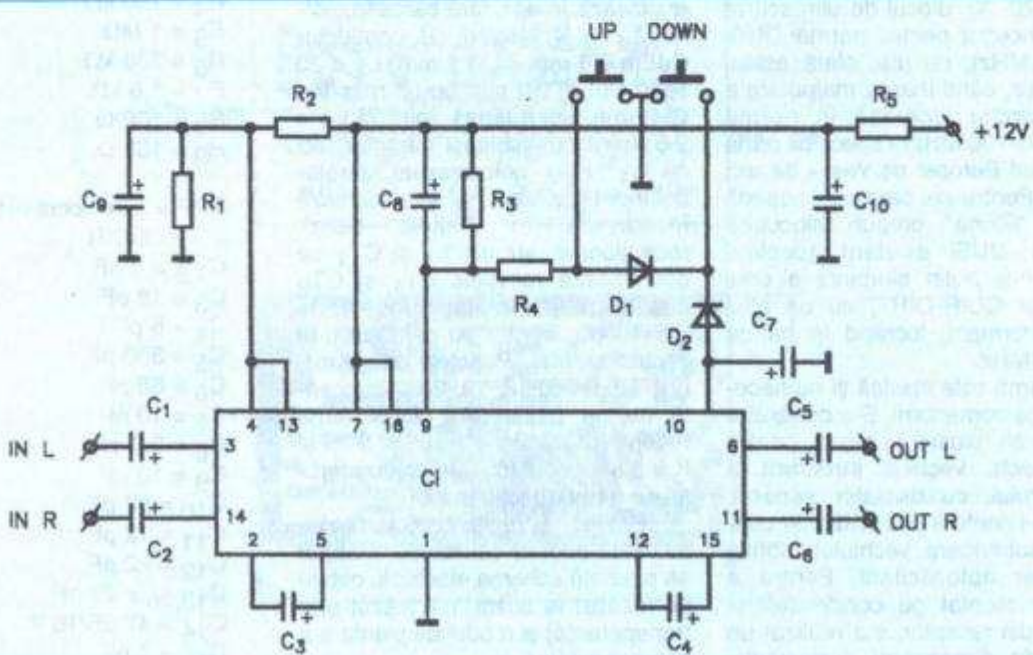
CONTROLUL DIGITAL AL VOLUMULUI

Vasile BRUMEA, Brăila

Mă număr printre cei mai bătrâni cititori ai revistei (nu am ratat nici o apariție TEHNIUM, începând cu numărul pilot și până în prezent) și de aceea vă scriu câteva rânduri pentru a-mi exprima prețuirea pentru toți cei care se străduiesc ca despre TEHNIUM să nu se vorbească doar la timpul trecut. În cei treizeci și ceva de ani, am trecut mai ușor peste multe momente mai puțin faste ale vieții, "meșterind" câte ceva publicat în revistă și având de cele mai multe ori satisfacția că acel "ceva" funcționa. Nume ca G.D. Oprescu, Sergiu Florică, George Pintilie, Trifu Dumitrescu, Ilie Mihăescu, Alexandru Mărculescu, Aurelian Mateescu, Emil Marian și toți ceilalți pe care, îmi cer scuze, nu-i pot enumera aici (unii părăsindu-ne din păcate pentru o lume mai bună), au fost pentru mine, și nu mă îndoiesc că și pentru mulți alții iubitori ai electronicii, adevărați profesori. M-am simțit de aceea foarte onorat când un articol propus de mine a fost publicat în numărul din februarie 2001.

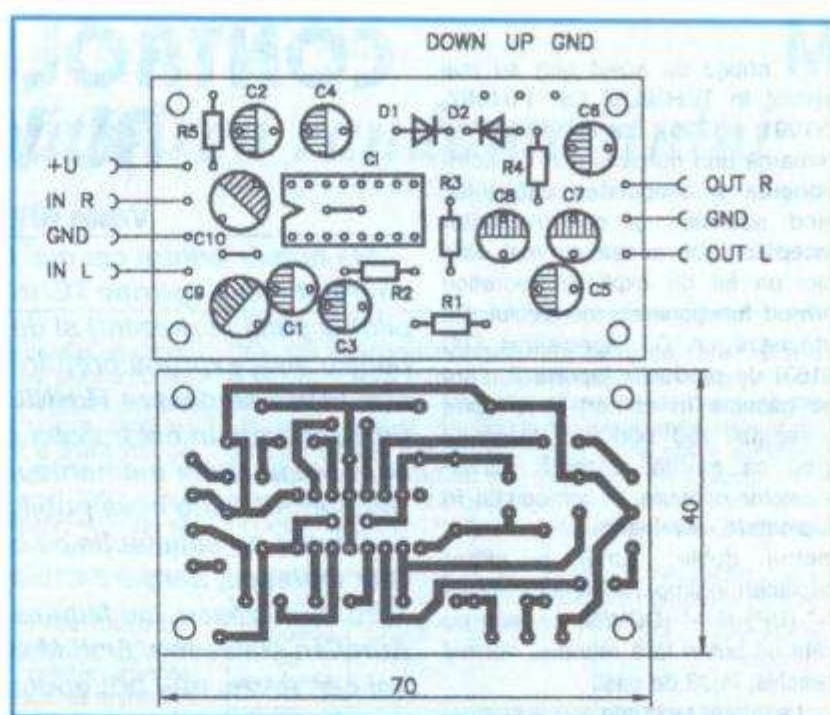
Doresc să vă supun atenției alte două montaje ce se caracterizează prin simplitate și realizare facilă - lucru deloc de neglijat pentru un constructor amator.

M-aș bucura dacă le veți găsi interesante.



Lista de piese

C1 = TC 9153 AP
 D_{1,2} = 1N 4148
 R_{1,2} = 10 kΩ
 R₃ = 100 kΩ
 R₄ = 39 kΩ
 R₅ = 47 Ω
 C_{1,2,3,4,5,6,8} = 4,7 μF/35 V
 C₇ = 2,2 μF/35 V
 C₉ = 220 μF/16 V
 C₁₀ = 47 μF/35 V



GLORIA... VEST

Radioreceptorul "Gloria", produs al fostelor uzine "Electronica", s-a bucurat de mult succes la vremea sa in anii '70-'80. Blocul de ultrascurte fiind conceput pentru norma OIRT (65+73 MHz), nu mai ofera astazi satisfactie, cand marea majoritate a emittatoarelor lucreaza in norma CCIR (88-108 MHz) - specifica pană nu demult Europei de Vest - de aici și titlul. Pentru cei care mai posedă un RR "Gloria", propun înlocuirea blocului UUS existent (ocolind soluția mai puțin elegantă a unui convertor CCIR-OIRT) cu un altul mai performant, lucrând în banda 88-108 MHz.

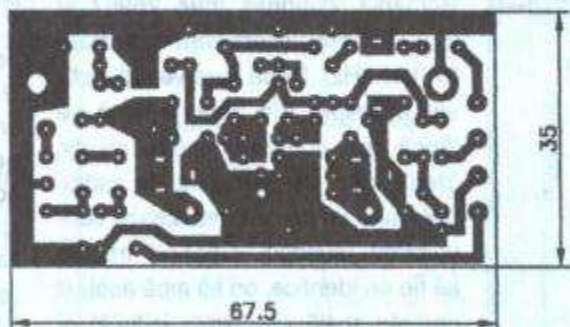
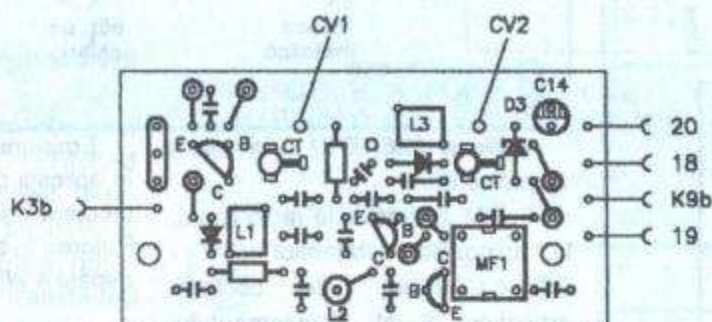
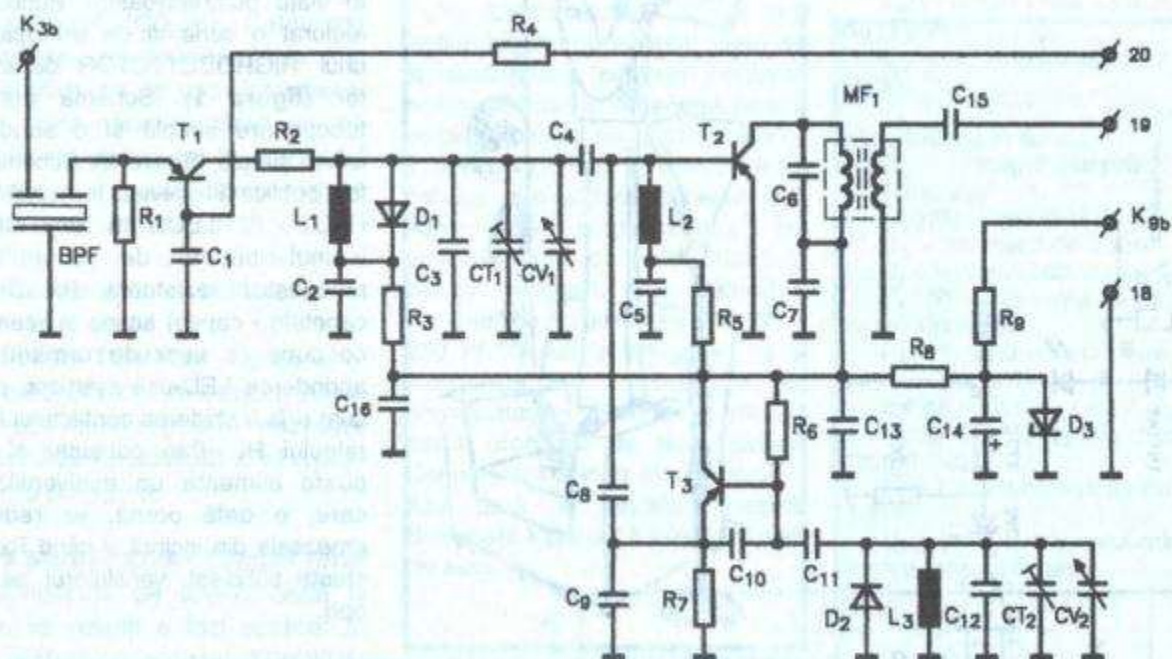
Schela este clasică și nu necesită multe comentarii. S-a preferat o schela cu "plusul" la masă, pentru a respecta vechea structură a receptorului, cu oscilator separat, ceea ce-i conferă posibilități de conversie superioare vechiului montaj cu mixer autooscilant. Pentru a putea fi montat pe condensatorul variabil din receptor, s-a realizat un cablaj de dimensiuni aproximativ

egale cu ale celui vechi. La intrare se observă un filtru ceramic de bandă 88-108 MHz. Bobinele se realizează în aer, fără carcase, astfel: L₁ = 4,5 spire cu conductor CuEm 0,6 mm cu Ø 5 mm, L₂ = 20 spire CuEm 0,3 mm pe un mandrin Ø 2 mm, spiră lângă spiră și L₃ = 2,5 spire cu aceleasi caracteristici ca L₁. Prin deformarea spirelor bobinei L₃ și din CT₂ se realizează încadrarea în limitele benzii receptionate, iar din L₁ și CT₁ se optimizează receptia. CT₁ și CT₂ sunt trimeri ceramici tubulari de 2,5+13 pF, identici cu cei folosiți la vechiul montaj. Punctele de conexiune notate cu 18, 19, 20 sunt cosele de pe placa AFI din schema receptorului "Gloria", iar K 3 b și K 9 b sunt contacte ale comutatorului de game (secțiunea UUS).

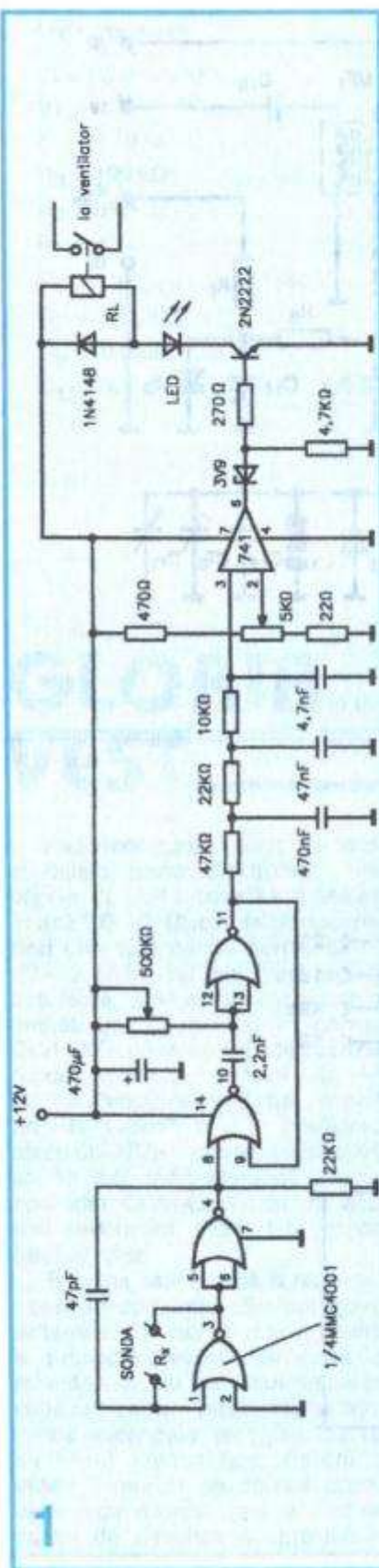
Realizat și reglat corect, montajul va da deplină satisfacție. Alăturat se prezintă schema electrică, cablajul realizat la scara 1:1 (văzut prin transparentă) și modul de plantare a componentelor.

Lista de piese

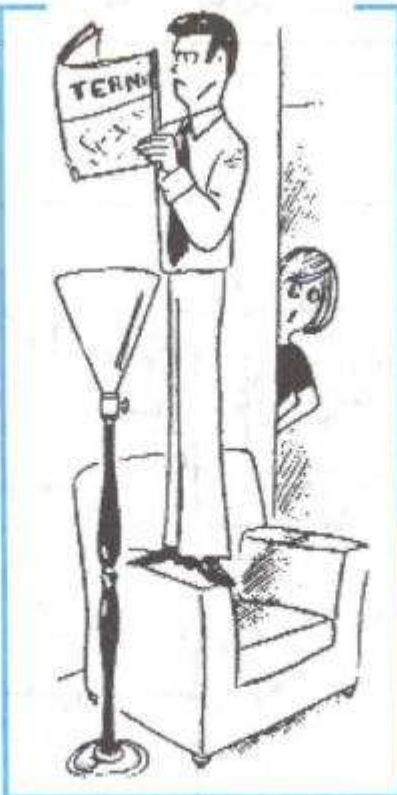
T_{1,2,3} = BF 506, 509
 D₁ = EFD 108
 D₂ = 1 N 4148
 D₃ = PL 6 V2Z
 R₁ = 560 Ω
 R₂ = 56 Ω
 R₃ = 1 kΩ
 R₄ = 150 kΩ
 R₅ = 1 MΩ
 R₆ = 300 kΩ
 R₇ = 5,6 kΩ
 R₈ = 100 Ω
 R₉ = 150 Ω
 BPF = filtru ceramic de bandă CCIR
 C_{1,2} = 5 nF
 C₃ = 18 pF
 C₄ = 5 pF
 C₅ = 330 pF
 C₆ = 68 pF
 C₇ = 10 nF
 C₈ = 2,2 pF
 C₉ = 10 pF
 C₁₀ = 30 pF
 C₁₁ = 12 pF
 C₁₂ = 22 pF
 C_{13,16} = 22 nF
 C₁₄ = 47 μF/16 V
 C₁₅ = 1 nF



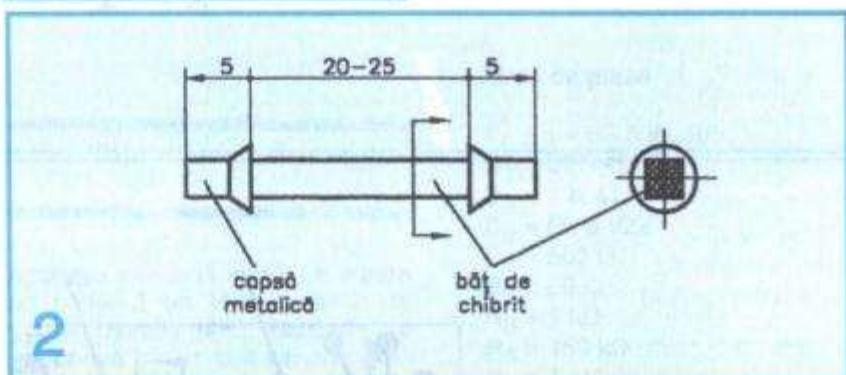
■ Nicolae MUNTEAN - Călan,
jud. Hunedoara



1



Ne bucură cele ce ne-ați scris despre impactul revistei TEHNIUM în viața dumneavoastră. Publicăm alături o schemă de principiu a unui "HIGRODETECTOR" de amator (figura 1). Schema are o funcționare simplă și o sondă... foarte simplă (figura 2). Schema a fost publicată în revista franceză "LE HAUT - PARLEUR" în 1996. Când lemnul bâțului de chibrit se umezește, rezistența Rx (între capetele - capse) scade și aceasta conduce (e ușor de urmărit) la aprinderea LED-ului avertizor, precum și la închiderea contactului K al releeului RL. Prin contactul K se poate alimenta un miniventilator care, o dată pornit, va reduce umezeala din incintă și când Rx va crește suficient, ventilatorul se va opri.



2

■ Viorel JMEKERU - vio - piclu
@ yahoo.com

Banda de frecvențe radio liberă, la dispoziția cetățenilor (CB - Citizens Band) este, conform articolului 8 al Regulamentului Radiocomunicațiilor valabil în România, cuprinsă între 26957 și 27283 kHz (frecvența centrală 27 120 kHz). După cum vedeti, este vorba despre o a treia variantă pe lângă cele două menționate de dv. Ideea este că perechea de radio-telefoane cu care se realizează convorbirea (dialogul, QSO-ul) trebuie să fie ori identice, ori să aibă același cap de scală (frecvența inițială) și același ecart de frecvență între două canale adiacente.

Emissiunile radio CB se folosesc în aplicații de uz industrial, științific, medical și în radioamatorism. Puterea în antenă, reamintim, nu va depăși 4 W!

■ Mirel NESTOR - Oțelul Roșu,
jud. Caraș-Severin

Propuneți ca TEHNIUM să aibă o pagină "numai pentru începător". De ce numai una? Noi credem că am avut, la fiecare număr, mai multe pagini pentru începători, pentru noua generație de electroniști constructori. În privința catalogului la care lucrați, vă spunem că în lume (și în România) există foarte multe cataloage de componente electronice active și pasive, redactate în special de către firmele producă-

toare, în mod periodic (produsele electronice sunt foarte... "perisabile"). Există, azi, și cataloage "electronice" (CD-uri). Cataloage complexe, voluminoase, căt mai exhaustive, nu se prea întocmesc, căci, dacă necesită câțiva ani de muncă de redactare, în momentul apariției s-ar putea să nu mai fie suficient de actuale!

Personal nu cred în demersul dumneavoastră, în utilitatea unei asemenea lucrări.

Revista TEHNIUM a publicat și va mai publica foi de catalog, tabele de echivalențe (foarte necesare constructorilor amatori) și vă aşteptăm cu propunerii.

■ Marieta IOVA - Câmpia Turzii

Emitătorul de telecomandă la care vă referiți a fost publicat în nr. 3/1998 al revistei TEHNIUM INTERNATIONAL (așa se numea atunci revista TEHNIUM inițială).

■ Ciprian ATĂNĂSOAEI highfideliti 2004 @ yahoo.com

Vezi răspunsul pentru Viorel Jmekuru.

■ Cosmin Filip < filipone 2002 @ bodo 000. com >

Nu putem da adresa nici unui colaborator al revistei TEHNIUM pentru a fi contactat direct. Întrebările și nelămuririle pe care le aveți, legate de articolele publicate în revistă, le transmiteți redacției și aceasta le repartizează în vederea obținerii unui răspuns transparent, publicat în paginile revistei.

■ Liviu MIHAI - Constanța

Mulțumim pentru felicitări.

Schemă de redresoare pentru încărcat acumulatori mici s-au publicat multe în revista TEHNIUM, în ultimii ani.

Vă recomandăm, de exemplu, schema din TEHNIUM nr. 4/2003 pag. 11.

■ Cosmin Ardelean - Urvini, jud. Timiș

Te "contrasalutăm" și noi și-ți mulțumim pentru felicitări! Vrem să te ajutăm să-ți "păstrezi" hobby-ul pentru electronică în general, pentru amplificatoare de audiofrecvență în special. Cum și alți cititori ne-au solicitat prin scrisori scheme moderne de amplificatoare de audiofrecvență, de puteri mari, cu circuite integrate, dăm alăturat 5 variante cu puteri între 70 W și 250 W. Circuitele integrate, ca și toate celelalte componente ale amplificatorului (sub formă de kit) pot fi procurate de la magazinul Conex Electronic, a cărui adresă a fost dată în revista noastră. Schemele 1 și 4 pot fi folosite și pentru auto.

Reamintim că parametrii unui amplificator de audiofrecvență de putere sunt:

$V_s(V)$ = tensiunea de alimentare de la sursă;

$I_s(A)$ = curentul absorbit de la sursă;

$P_s(W)$ = $V_s \cdot I_s$ = puterea absorbită de la sursă;

G_v = câștigul (amplificarea) în tensiune sau

$G_v(dB) = 10 \log U_o/U_i$, în care

U_o = semnalul de ieșire,

U_i = semnalul de intrare;

$P_m(W)$ = puterea la ieșire în regim sinusoidal;

$P_M(W)$ = puterea la ieșire pentru semnal muzical

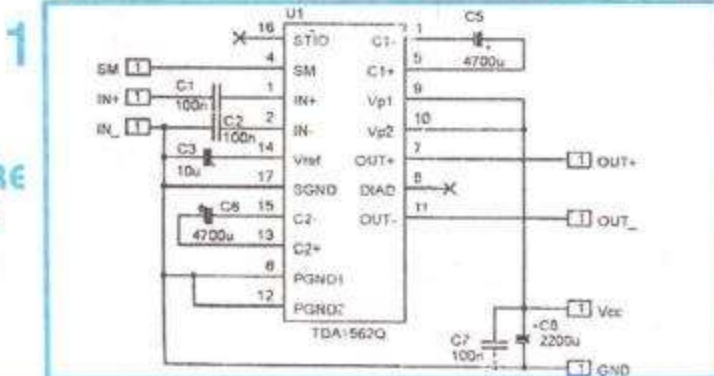
Există relația: $P_M = \sqrt{2} P_s$;

$B3dB$ = banda de frecvențe reproduză;

$Z_i(k\Omega)$ = impedanță de intrare (la 1 kHz);

U_{im} (mV) = semnalul minim de intrare (sensibilitatea).

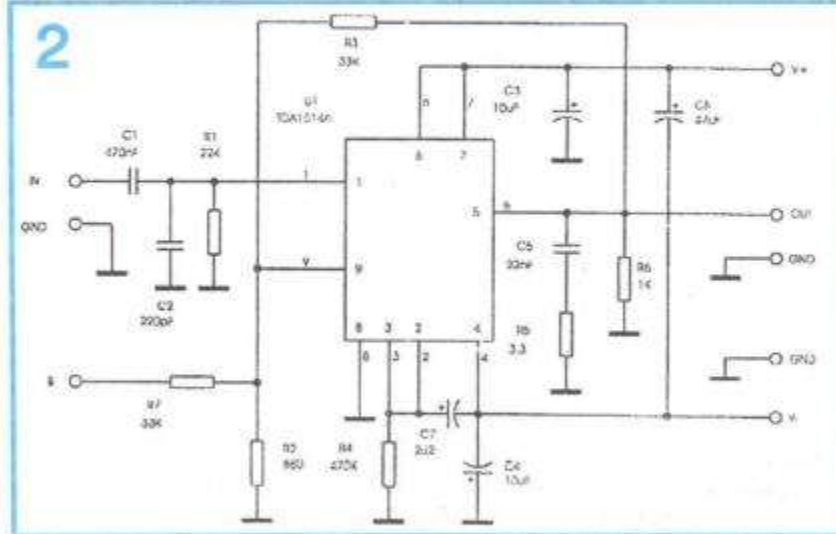
R A F
DE MARE
PUTERE
CU CI



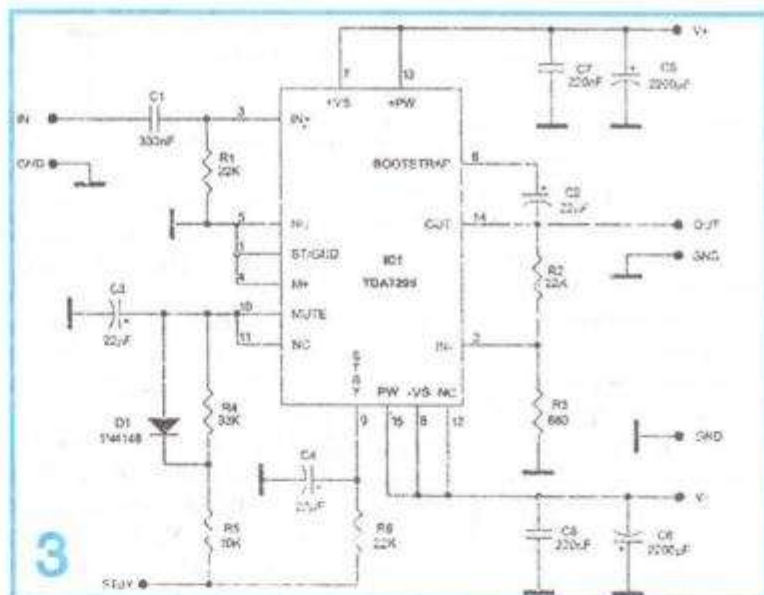
TDA 1562Q: $V_s = 14.4$ V; $I_s = 6$ A; $P_s = 50.6$ W; $P_M = 71.38$ W pentru $R_L = 4 \Omega$; $B3dB = 20$ Hz – 30 kHz; $G_v = 25$ dB; $U_{im} = 750$ mV.

TDA 1514 A: $V_s = 28$ V; $I_s = 2$ A; $P_s = 50$ (30) W; $P_M = 75$ (45) W pentru $R_L = 4(8)\Omega$; $U_{im} = 285$ mV.

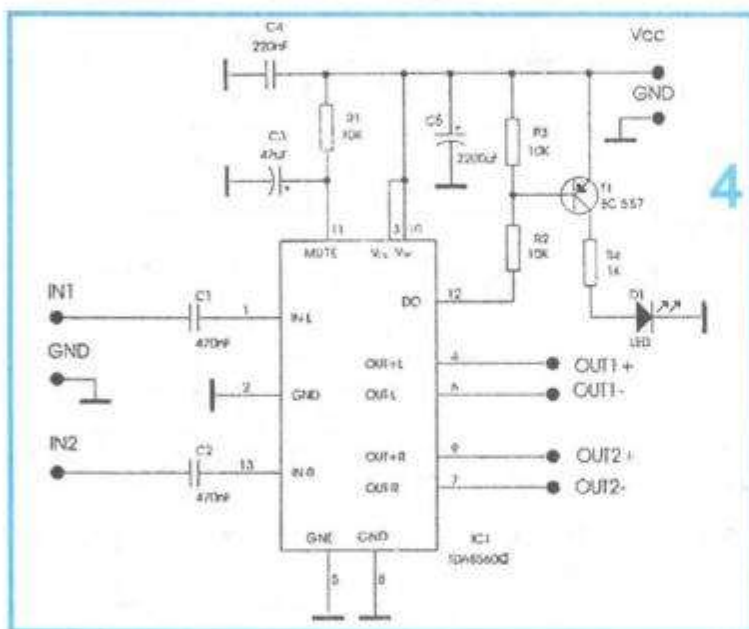
2



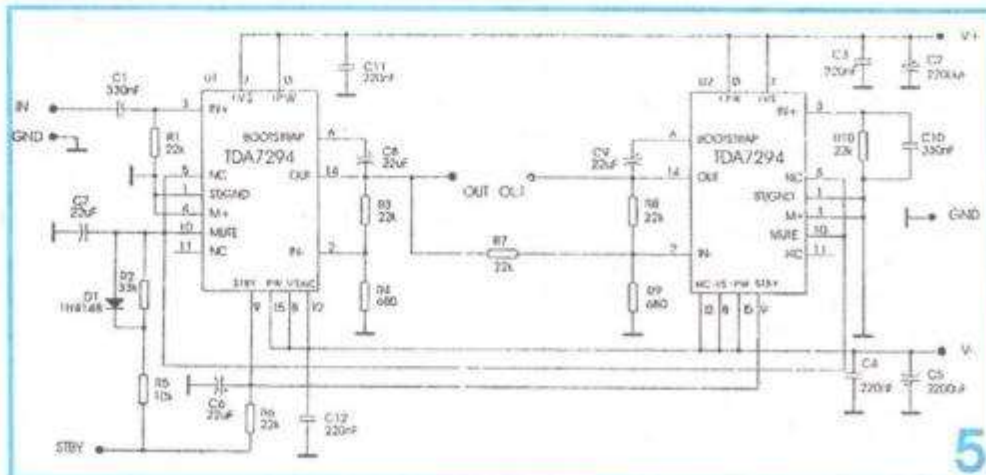
TDA7295; $V_S = 22(30)V$; $I_S = 1,8(1,3)A$;
 $P_S = 50 W$; $P_M = 80 W$
 pentru $R_L = 4(8)\Omega$;
 $B3dB = 20 \text{ Hz} - 20 \text{ kHz}$;
 $Z_i = 20 \text{ k}\Omega$; $G_V = 30 \text{ dB}$.



TDA 8560 Q; $V_S = 14,4$ V; $I_S = 8,4$ A
 $P_S = 30$ W; $P_M = 40$ W (un canal)
 pentru $R_L = 2\Omega$;
 $B3dB = 20$ Hz – 20 kHz;
 $Z_i = 25$ k Ω ; $G_V = 40$ dB; $U_{im} = 80$ mV.



TDA7294: $V_s = 35(25)V$; $I_s = 3.7(5)A$;
 $P_s = 170(150)W$; $P_M = 250 W$
 pentru $R_L = 16(8) \Omega$;
 $Z_i = 20 k\Omega$; $G_V = 30 dB$;
 $U_{im} = 825(550) mV$.



Rubrică
realizată de
dr. ing. Andrei CIONTU

CONVERTIZOARE STATICE

pentru ACTIONAREA MOTOARELOR ELECTRICE cu COLECTOR

Prof. dr. ing. Sorin PISCATI

ACTIONĂRILE cu convertizoare statice prezintă interes din partea mulților utilizatori de motoare electrice, deoarece cunosc un câmp larg de aplicații. Din această cauză, în paginile revistei va fi prezentat un ciclu de articole care se referă la realizarea unor astfel de echipamente practice.

Cum este și firesc, cerințele sunt diversificate: unii doresc montaje mai simple, cum ar fi actionarea unor motoare de ventilator sau mașini de găurit, iar alții echipamente complexe, cu conotație industrială, care să comande motoare de strung sau alte echipamente industriale, cu cerințe tehnico-funcționale ridicate.

In acest ciclu de articole, care vor apărea succesiv în revistă, vom încerca să acoperim pe cât posibil întreg domeniul referitor la aceste aplicații.

Vom începe cu montaje relativ mai simple, a căror realizare poate fi la îndemâna constructorilor amatori, cu posibilități mai reduse, și îl vom încheia cu un montaj complex de natură industrială, care o dată realizat poate satisface pe cei mai pretențioși.

Trebue mentionat că toate schemele electrice care vor fi prezentate comandă numai motoare electrice cu colector, universale sau de curent continuu. Nu sunt destinate însă comenzi motoarelor sincrone, asincrone sau pas cu pas (MPP). Aparaturile și echipamentele de comandă a acestor motoare fără colector vor face eventual obiectul unui alt ciclu de articole.

Toate montajele prezentate au fost construite și verificate în practică de către autor, pe parcursul mai multor ani.

Realizate corect, este garantată funcționarea lor la parametrii tehnici

proiectați, specificați pentru fiecare echipament prezentat.

Intervalul puterii motoarelor electrice comandate (în funcție de montaj) este cuprins între 10 W și 2,5 kW.

Tensiunea rețelei de alimentare este în general de 220 V~, dar ultimul variator de turărie se poate alimenta și de la rețea u trifazată de 380 V.

Se cunoaște din practică și din literatura tehnică de specialitate că motorul cu colector prezintă o serie de avantaje față de motoarele de curent alternativ. Dintre acestea se menționează în special posibilitatea variației continue a turării, lucru esențial în multe aplicații tehnice. Cu metodele "clasice" se realizează acest deziderat fie prin introducerea unei rezistențe (reostat) în circuitul rotoric al motorului, fie prin variația intensității câmpului magnetic inductor.

Valoarea rezistenței care se introduce poate fi variată în mod continuu prin deplasarea unui cursor metalic care ia contact cu două sau mai multe spire succese. Varierea intensității câmpului inducător se realizează prin aceeași metodă a inserierii unui reostat în circuitul înfășurării statorului.

Ambele metode, considerate clasice, prezintă însă trei dezavantaje principale, unele esențiale, și anume:

- Pe rezistență variabilă (reostatul) inserată cu înfășurarea rotorică sau statorică a motorului electric se pierde (prin încălzirea acestuia) o cantitate importantă de energie electrică, uneori egală cu cea consumată de motor;

- Momentul motor nu este independent de turăria motorului. Dacă turăria este mai mică (prin reducerea intensității curentului prin înfășurarea rotorului la valori mari

ale rezistenței inseriate cu acesta), și cuplul motor este mai mic și invers. În multe aplicații (de exemplu, la actionarea unui strung) acest lucru este inadmisibil, condiția fiind ca motorul electric să dezvolte cuplul maxim indiferent de turăria rotorului său;

- Este necesară rețea de alimentare de curent continuu, cerință care în majoritatea cazurilor nu poate fi îndeplinită.

Datorită acestor deficiențe și faptului că are o construcție mai complexă și mai puțin fiabilă decât cel de curent alternativ, motorul electric cu colector, cu toate calitățile lui funcționale net superioare, cunoaște o răspândire mult mai redusă decât cel alternativ: în transportul feroviar și urban, la unele macarale și în domeniul aparatelor electrocasnice. În aceste domenii, el însă nu poate fi înlocuit pe scară largă de motoarele fără colector (asincrone, sincrone etc.).

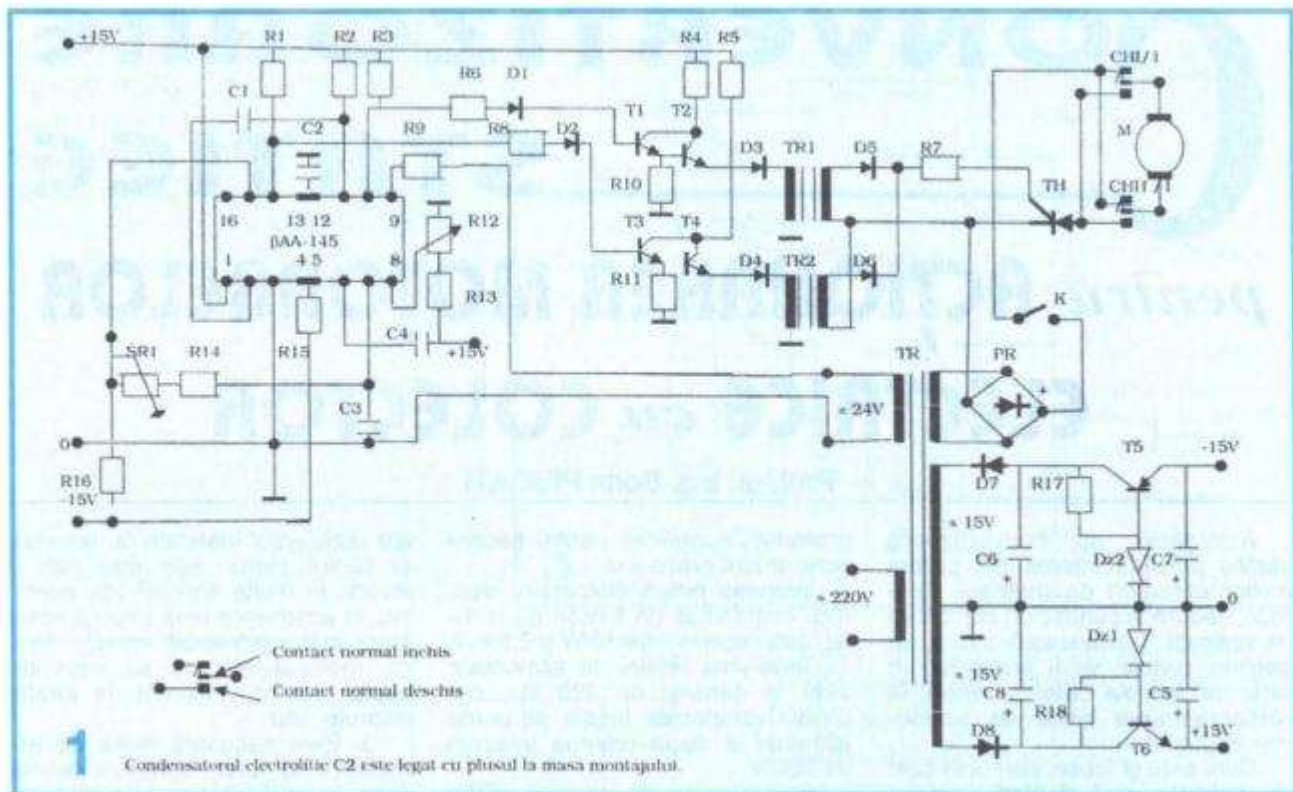
Converzoarele cu comutări statice utilizează tiristoare sau triace comandate în fază.

Această metodă permite obținerea următoarelor avantaje principale:

- pierderile de energie electrică sunt nesemnificative;
- se poate utiliza rețea u mono-fazată de 220 Vc.a sau cea trifazată de 380 Vc.a;

- turăria motorului poate fi reglată continuu, între câteva rotații pe minut și peste 10.000 rot/min. Turăria maximă de reglaj depinde de cea maxim admisibilă prescrisă pentru motorul electric comandat;

- dacă instalația de comandă a motorului electric este prevăzută și cu un tahogenerator, atunci momentul motor dezvoltat este constant, are valoare maximă și nu depinde de turăria prescrisă;

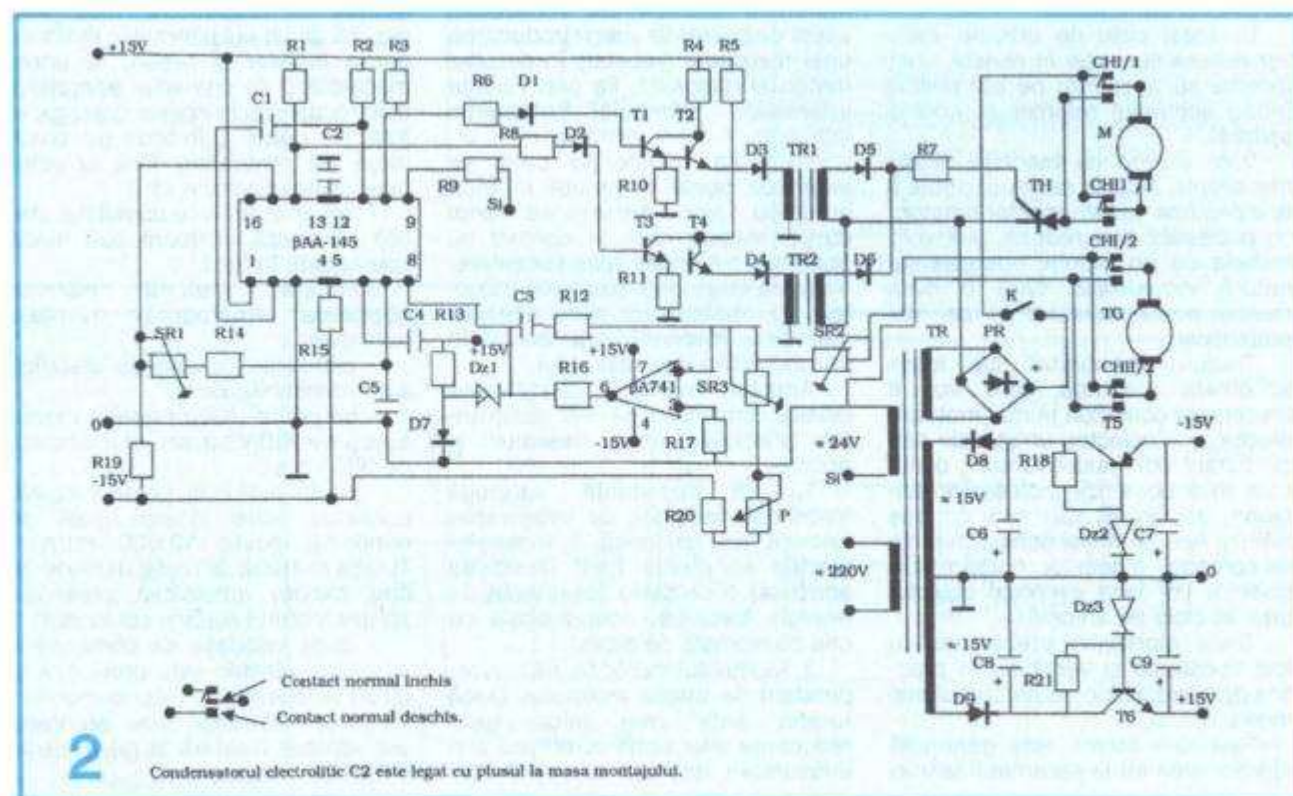


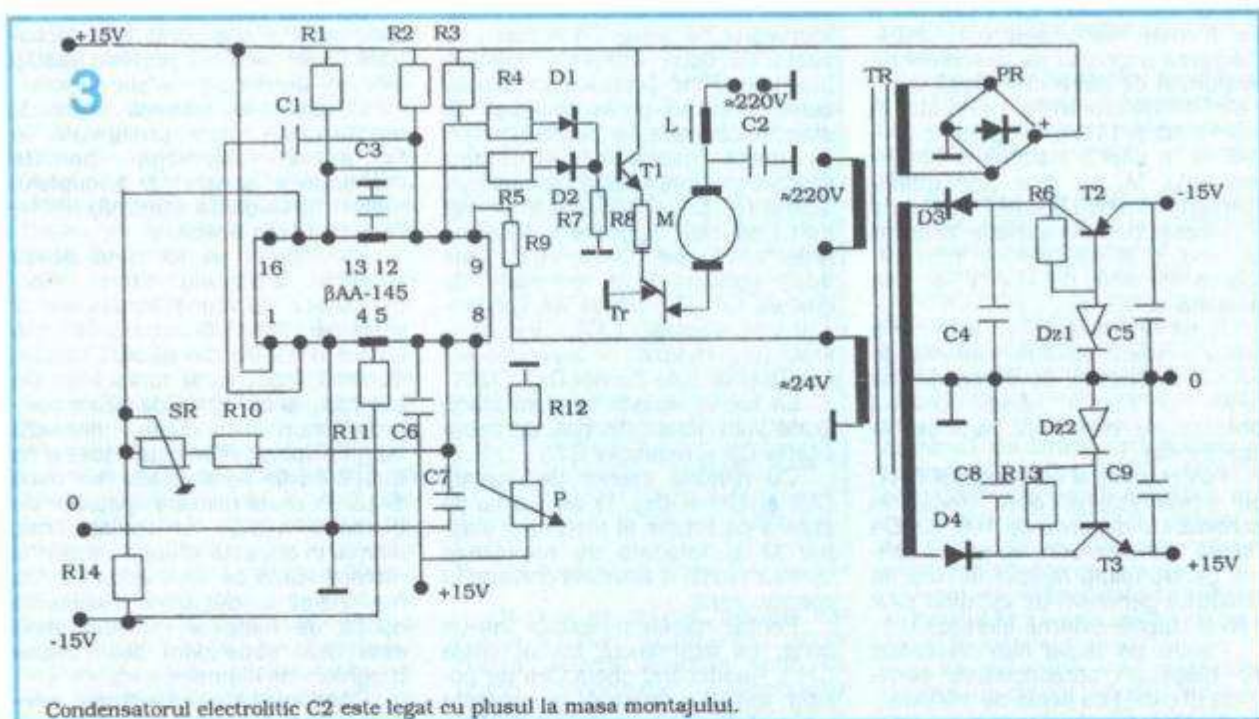
- în echipamentele de comandă în compunerea cărora intră un astfel de tahogenerator, antrenat direct sau printr-o transmisie adecvată de motorul electric comandat, turărea reală este foarte constantă și nu are

variații mai mari de $\pm 0,5$ rot/min, chiar și în cazul instalațiilor de comandă mai simple, în condițiile în care cuplul rezistent variază între valoarea maximă și cea minimă prescrisă. De exemplu, pentru un motor

care funcționează la o turărie de 3000 rot/min, abaterea de la această valoare va fi de cel mult 1 rot/min.

În încheierea acestei scurte introduceri se precizează că în toate





Condensatorul electrolictic C2 este legat cu plusul la masa montajului.

schemele de comandă care vor fi prezentate se utilizează circuitul profesional BAA 145 (UAA 145) destinat special pentru asemenea aplicații. Este un circuit ieftin și se găsește fără probleme în magazinele de piese electronice.

Convertizoare statice cu tiristoare

În schema de principiu din figura 1 este prezentat un convertizoare static cu tiristoare ce poate comanda un motor electric universal sau de curent continuu. Montajul se alimentează de la rețea electrică monofazată prin transformatorul TR. Puterea acestui transformator depinde în principal de cea a motorului electric M, fiind mai mare cu 15-20%. Consumul echipamentului electronic este neglijabil, fiind de 2-3 W.

Intrucât se presupune că cei care abordează astfel de instalații au o pregătire tehnică corespunzătoare, nu vom zăbovi asupra unor noțiuni simple ca dimensionarea unui transformator (putere, secțiunea miezului, număr de spire și grosimea sârmelor de CuEm), ele facând parte din bagajul de cunoștințe al fiecărui.

Transformatorul TR se alimentează de la rețea de 220 Vc.a. Înfășurarea de 24 Vc.a. livrează semnalul de sincronizare circuitului integrat BAA 145 prin rezistență R9.

Intrucât consumul este foarte mic, înfășurarea de sincronizare se va bobina cu sârmă CuEm 0,1+0,15 mm.

Un capăt al bobinei se leagă la masă, iar celălalt la rezistență R9. Sensul înfășurării nu are importanță.

De la pinii 10 și 14 ai circuitului integrat BAA 145, semnalele de sincronizare se transmit prin R6, D1, respectiv R8, D2 la cele două grupuri de amplificare echipate cu tranzistoarele T1, T2 și T3, T4.

Înfășurările primare și cele secundare ale transformatorilor TR1 și TR2 trebuie bobinate în același sens. Începuturile înfășurărilor primare se leagă la D3 și, respectiv, D4, iar sfârșiturile la masa montajului electronic.

De menționat că masa montajului electronic nu este comună cu borna de minus a punții redresoare PR, alimentată de regulă cu tensiune ridicată. Uneori, în funcție de motorul M, această tensiune poate atinge valoarea de 220 V sau chiar mai mult. Practic, transformatorile TR1 și TR2 au tocmai acest rol de separare galvanică a circuitului electric tiristor de circuitul de comandă echipat cu integratul BAA 145 și celelalte piese electronice aferente. Începuturile înfășurărilor secundare ale transformatorilor de separare TR1 și TR2 se leagă la diodele D5, respectiv D6, iar sfârșiturile la catodul tiristorului și la borna de minus a punții redresoare PR.

Secțiunea transformatorilor TR1 și TR2 este de 0,25-0,36 cm² (5 x 5 sau 6 x 6). Preferabil este ca aceste miezuri în formă de E să fie din ferită. Se pot utiliza însă și miezuri obișnuite din oțel-siliciu, cu condiția ca toalele E + I să nu se monteze întrețesut. Cu alte cuvinte, toalele I, lipite una de alta, se vor monta peste toalele E asamblate împreună. Pentru a se evita saturarea miezurilor, între cele două grupuri de tole se va introduce o hârtie impregnată cu lac incolor. Grosimea hârtiei va fi ceea a unei coli de scris obișnuite (nu trebuie să depășească 0,3 mm).

Atât înfășurarea primară cât și cea secundară a acestor transformatoare vor avea 100 de spire din sârmă de CuEm Ø0,15-0,2 mm. Se va avea grija ca cele două înfășurări să fie bine izolate între ele.

Miezurile transformatorilor TR1 și TR2 se vor încaseta într-o manta din tablă de cupru sau oțel cu grosimea de 0,1-0,2 mm.

Mantaua se va prinde prin cele două aripioare de la partea inferioară prin șuruburi sau cositorire de placă circuitului imprimat al montajului electronic.

Ieșirile diodelor D2 și D3 fiind legate împreună, impulsurile de deschidere a tiristorului TH se aplică prin rezistență R7 pe poarta acestuia. După cum unghiul de deschidere a tiristorului este mai mic sau mai mare, și tensiunea medie care se aplică motorului M prin intermediul

cheilor sau releeelor CH I sau CH II va fi mai mare sau mai mică. Reglarea unghiului de deschidere a tiristorului de către cele două semnale de sincronizare generate la ieșirile 10 și 14 ale integratului βAA 145 și în ultimă instanță a turației motorului M, se face prin potențiometrul cu scală liniară R12 (figura 1). Aceasta permite variația tensiunii la pinul 8 al integratului între valoarea minimă de 0,2 V și cea maximă de 7,5 V.

Rolul rezistenței R13 este de a limita această valoare maximă de +7,5 V a tensiunii de comandă (pe pinul 8) atunci când cursorul potențiometrului R12 ajunge la capătul cald.

Potențiometrul semireglabil SR1, cu scală liniară, este trecut în schemă cu valoarea de 100 kΩ. De regulă, aceasta este valoarea optimă pentru aliura rampei în dinți de ferăstrău generate de circuitul βAA 145 și piesele externe aferente.

Pentru un reglaj mai pretențios se alege un potențiometru semi-regabil (SR1) cu scara de 150 kΩ.

Pentru osciloscop, forma rampei generate de integratul βAA 145 (UAA 145) trebuie să fie alesă de așa manieră încât laturile triunghiurilor (dinților de ferăstrău) să fie linișrite.

De regulă, acest reglaj nu este necesar și în consecință construcțorul poate să renunțe la osciloscop. În acest caz, va efectua reglajul respectiv după cum constată că motorul electric M merge în regimul cel mai stabil.

Întrucât circuitul integrat βAA 145

trebuie alimentat cu ± 15 Vc.c., transformatorul de rețea TR a fost prevăzut cu două înfășurări identice inseriate. Fiind bobinate în același sens, începutul uneia se leagă de sfârșitul celeilalte, iar punctul comun la masa montajului electronic. Fiecare din înfășurările bobinate cu sârmă Cu Em Ø0,25-Ø0,3 mm va trebui să aibă la borne o tensiune (alternativă) de 15-16 Vc.c. Cele două tensiuni sunt redresate de diodele D6, D7, filtrate de condensatoarele electrolytice C6, C8 și stabilizate (la ± 15 Vc.c.) de tranzistoarele T5, T6 și diodele Zenner Dz1, Dz2.

La ieșire, aceste tensiuni stabilizate sunt filtrate din nou de capacitatele C5 și respectiv C7.

Cu ajutorul cheilor de contact CHI și CH II (fig. 1) se comandă sensul de rotație al motorului electric M și totodată se realizează oprirea rapidă a acestuia (frânare în contracurent).

Pentru rotirea motorului într-un sens, se actionează numai cheia CH I. Readucând cheia CHI pe poziția inițială, motorul se oprește rapid. Actionând apoi numai cheia CHII, motorul se rotește în celălalt sens. Dacă se actionează ambele chei simultan, electromotorul M va rămâne în repaus.

Contactele celor două chei trebuie să reziste în mod normal la curenti de 3-4 ori mai mari decât curentul maxim absorbit de motorul electric M. Cheile respective pot fi înlocuite cu relee electromagneticice prevăzute cu contacte corespunzătoare ca număr și rezistență la uzură.

Schela electrică din figura 1 și descrisă mai sus poate fi perfectionată astfel încât să prezinte calități tehnico-funcționale net superioare.

O astfel de schemă electrică, modernizată, este prezentată în figura 2. Montajul permite menținerea constantă a cuplului motor (la valoarea maximă) indiferent de turația acestuia.

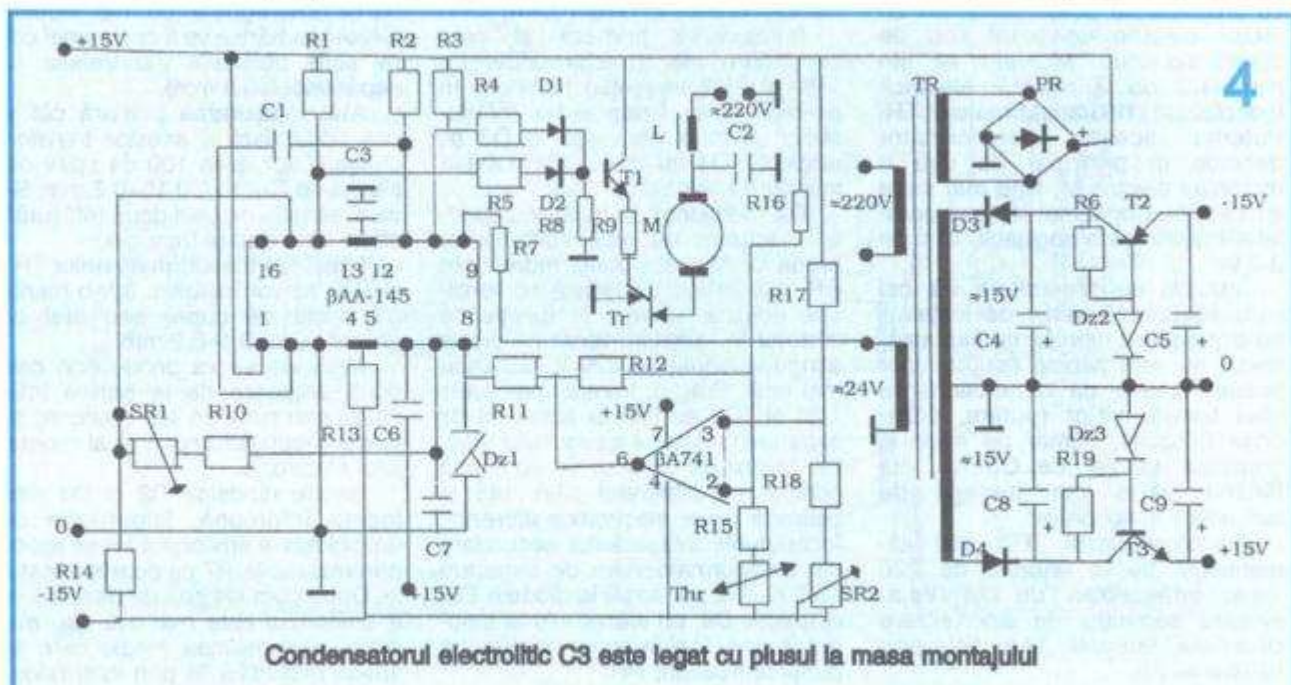
De regulă, atunci când scade tensiunea la bornele motorului electric, scade nu numai turația dar și momentul motor. Sunt cazuri în care cuplul motor trebuie să aibă valoare maximă, mai ales la turații mici. De exemplu, la o mașină de găurit electrică, atunci când se utilizează burghie spirale mari este necesar ca turația să fie semnificativ mai mică decât în cazul utilizării spiralelor de diametre reduse. În același timp, tocmai în această situație momentul motor trebuie să aibă valoarea cea mai ridicată, deoarece rezistența opusă de material spiralelor mari este mult superioară celei opuse burghilor de diametre mici.

Când se utilizează motoare asincrone a căror turație poate fi schimbată practic în maximum 2 trepte (cu condițiile constructive respective), între arborele motorului și cel al mașinii se interpune o transmisie cu curele trapezoidale în majoritatea cazurilor. Această transmisie reduce turația arborelui mașinii de găurit, arbore pe care se fixează spiralul prin intermediul unei mandrine și crește momentul de rotație al burghului.

Transmisia cu curele a unei astfel de mașini este prevăzută de obicei

Condensatorul electrolytic C3 este legat cu plusul la masa montajului

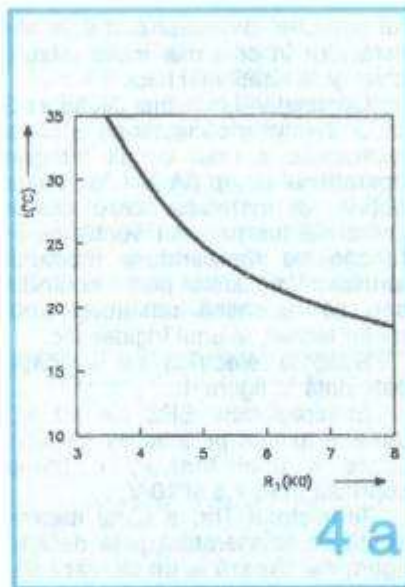
4



cu două grupuri de căte trei roți conjugate, atât pentru arborele motorului cât și pentru cel al mașinii. Același lucru se întâmplă și în cazul strungurilor, care pe lângă transmisia cu curele trapezoidale, sunt prevăzute și cu o cutie de viteze, tocmai pentru a obține cât mai multe trepte de turăție și momente de rotație la universal. Necesitatea utilizării a căt mai multe trepte de turăție și moment este impusă de diversitatea pieselor care se prelucrăză. Dotând o astfel de mașină unealtă cu un echipament de comandă cu convertizoare statice și reglare în fază a valorii turăției și momentului motor se obține un dublu avantaj: pe lângă faptul că turăția poate fi reglată în mod continuu, fără trepte, între valoarea minimă și cea maximă, iar momentul motor este practic constant indiferent de mărimea acesteia, permite utilizarea motorului de curent continuu (care prezintă calități funcționale net superioare celor de curent alternativ), alimentat de la rețeaua monofazată sau trifazată de curent alternativ. De altfel, datorită acestor considerente mașinile-unele de performanță ridicată sunt prevăzute de peste două decenii (în cele mai multe cazuri) cu motoare electrice de curent continuu și convertizoare cu comutare statică și reglare în fază. Metoda este aplicată în special la strunguri, mașini de rectificat și honuit etc.

Schema de principiu a instalației de comandă prezentată în figura 2 se alimentează, ca și cea precedență, de la rețeaua monofazată de curent alternativ sub tensiunea de 220 V ~.

Prin dimensionarea corespunzătoare a transformatorului TR, echipamentul se poate alimenta și de la rețeaua trifazată de 380 Vc.a. legând bobina primară între două faze. În acest caz funcționarea motorului electric M va fi și mai bună deoarece impulsurile de sincronizare generate de circuitul βAA 145 sunt diferite (în timp) de cele create în cazul alimentării monofazate, astfel încât procesul de lucru se desfășoară în condiții calitative superioare. Pentru stabilizarea turăției motorului electric M, în schema de principiu din figura 2 se folosește o buclă de reacție inversă a cărei componentă principală este tahogeneratorul TG. Acesta este antrenat direct sau printr-o transmisie cu curea sau roți dinjate, de către motorul M. Tensiunea generată de TG ajunge prin semireglabilul SR2 pe intrarea inversoare 2 a circuitului integrat βA 741.



4a

Dacă la un anumit moment dat cuplul rezistent al arborelui motor crește, turăția acestuia tinde să scadă. Proporțional cu micșorarea turăției motorului și în consecință și a tahogeneratorului TG, la bornele acestuia din urmă scade tensiunea.

Scăderea tensiunii pe intrarea inversoare a circuitului βA 741 are drept consecință creșterea celei de la ieșirea 6 a amplificatorului aparținând βA 741. Majorarea valorii acestei tensiuni, care prin rezistența R16 se transmite pe intrarea 8 a integratorului βAA 145, are ca urmare modificarea unghiului de fază în așa fel încât tensiunea medie la bornele motorului electric M crește. Astfel, turăția și cuplul motor al acestuia cresc până când ating valorile prescrise.

Dacă, din contră, momentul rezistent la arborele motorului M scade, turăția tinde să crească și o dată cu ea tensiunea la bornele tahogeneratorului TG. La ieșirea integratorului aparținând βA 741 tensiunea scade și ea. Aceasta are ca urmare modificarea unghiului de fază pentru deschiderea tiristorului astfel încât tensiunea medie la bornele motorului electric M scade. Turăția și cuplul motor se sincronizează și în acest caz, până când din nou ating valorile prescrise.

Sensibilitatea buclei de reacție în cazul acestei scheme permite menținerea unei turății și a unui cuplu deosebit de constante. Practic, la o turăție a motorului electric M de 3000 rot/min, abaterea este de $\pm 0,5$ rot/min, în cazul unui montaj bine realizat și reglat. Datorită buclei de reacție, nici fluctuațiile tensiunii și frecvenței rețelei de alimentare (în limitele admise) nu au influență asupra

turăției și cuplului motor dezvoltat de acesta.

Un element important al schemei din figura 2 este tahogeneratorul TG, care trebuie să îndeplinească următoarele condiții tehnico-funcționale:

- trebuie să fie la fel de fiabil și să aibă aceeași durată de viață (sau mai mare) ca și motorul M;

- turăția maxim admisibilă a tahogeneratorului să fie egală sau puțin superioară celei a motorului. Dacă diferă, se va utiliza o transmisie multiplicativă sau demultiplicativă, după caz. Nu se va cupla direct (arbore la arbore) un tahogenerator la care domeniul de turăție este cuprins de exemplu între 0 și 2000 rot/min cu un motor care poate funcționa normal între 0 și 10.000 rot/min. În acest caz se va intercală o transmisie reductoare de turăție;

- cel mai indicat este ca arborele motorului M să se coupleze direct la cel al tahogeneratorului TG;

- se vor utiliza tahogeneratoroare de putere mică (1-5 W), indiferent de puterea motorului electric M. Sunt indicate motoare de jucărie cu magneti permanenți în stator. Acestea trebuie să fie de bună calitate. Si mai indicate sunt motoarele de casetofon, care, de asemenea, trebuie să aibă statorul cu magneti permanenți. Ambele categorii de motoare vor fi de tipul cu perii și colector. Se fabrică și tahogeneratoare, dar acestea sunt ceva mai greu de procurat, având și prețul de cost mai ridicat;

- tahogeneratorul trebuie să fie mult mai mic decât motorul electric M pentru ca acționarea lui de către motor să opună o rezistență mică, practic neglijabilă.

Pentru filtrarea impulsurilor parazite, circuitul βA 741 este montat într-o schemă de amplificator operational integrativ cu reacție pe poartă inversoare.

Constanta de timp a circuitului R12, C3 pentru valorile indicate în schemă este de cca 0,1 s. În cazul instalației din figura 2, reglarea turăției motorului electric se face cu potențiometrul liniar P, iar ajustările necesare unei funcționări în parametrii doriti din semireglabilele SR2 și SR3. Transformatoarele TR, TR1 și TR2, ca și celelalte componente au fost descrise la montajul precedent. Se observă în plus utilizarea unei a două chei de inversare a sensului de rotație. Aceasta va fi acționată simultan cu prima, pentru ca și tahogeneratorul TG să funcționeze în concordanță cu motorul M. Dacă la pornirea motorului M turăția acestuia nu poate fi controlată cu

potențiometrul P, se vor inversa legăturile la bornele tahogeneratorului TG sau ale motorului, în funcție de sensul de rotație dorit, la actionarea într-o poziție sau alta a cheilor de contact CHI și respectiv CHII.

În încheierea descrierii acestui montaj se menționează că s-a pus accentul pe partea practică deoarece în general aceasta îi interesează pe constructorii amatori.

Cei care doresc lămuriri suplimentare atât în ceea ce privește partea practică, cât și cea teoretică, pot lua legătura cu autorul prin intermediul redacției revistei.

Puntea redresoare PR și tiristorul TH din instalația prezentată în figurile 1 și 2 pot fi înlocuite cu o punte semicomandată. Modificarea schemelor în acest caz este dată în figura 2a.

Convertizoare statice cu triace

În montajul prezentat în figura 3, tiristorul a fost înlocuit cu un triac.

După cum rezultă din schematică, modificările față de instalația prezentată în figura 1 sunt minore.

În principal, nu se mai utilizează transformatoarele TR1 și TR2, tranzistoarele T2, T4 și o parte din piesele adiacente lor.

Motorul electric M este alimentat la tensiunea rețelei de 220 Vc.a. Este un motor de tip universal.

Schimba permit numai controlul turației, nu și al momentului motor.

Este indicat să fie utilizată în aplicații la care cuplul rezistent (care se opune momentului dezvoltat de motor) să fie relativ constant. În acest caz, turația o dată prescrisă rămâne și ea constantă. Este cazul ventilațoarelor, pompelor centrifuge, aspiratoarelor etc.

De menționat că în cazul acestei scheme electrice de comandă nu mai există o izolare galvanică a montajului de rețeaua electrică. În consecință, pentru prevenirea electrocutărilor accidentale montajul va fi încasat într-o carcasa din material izolant, iar butonul de pe axul potențiometrului P (cu care se regleză turația motorului M) va fi de asemenea bine izolat.

Desi montajul din figura 3, ca și cel din figura 1, nu este prevăzut cu buclă de reacție inversă, momen-

tul dezvoltat de motorul M este satisfăcător în cele mai multe cazuri, chiar și la turații mai mici.

Completând montajul din figura 3 cu un termistor conectat pe intrarea inversoare a unui circuit integrat operational de tip βA 741, se poate obține o instalație care poate comanda turația unui ventilator în funcție de temperatura mediului ambiant. Ventilatorul poate la rândul său să răcească radiatorul unui motor termic, al unui frigidere etc.

Schimba electrică de aplicație este dată în figura 4.

Semireglabilul SR2 de 10 kΩ permite fixarea pe intrarea neinversoare a unei tensiuni continue cuprinsă între 7,5 și 10 V.

Termistorul Th, a căruia dependență de temperatură este dată în figura 4a, fixeză la un moment dat tensiunea pe intrarea neinversoare. Diferența de tensiune dintre intrările 2 și 3 ale operationalului βA 741 este amplificată și aplicată la terminalul 6 al circuitului integrat. Valoarea amplificării este determinată de rezistența R12. Zenerul de 7,5 voltă asigură protecția ieșirii 6 a circuitului integrat la depășirea valorilor de tensiune maxim admisibile.

Funcționarea buclei de reacție negativă poate fi ușor înțeleasă ținând cont de caracteristica termistorului prezentată în figura 4a.

Analizând schemele din figurile 4 și 4a se vede că orice creștere a temperaturii ambiante produce creșterea turației motorului, fapt care conduce la micșorarea temperaturii obiectului ventilat. Se asigură în acest fel stabilizarea temperaturii acestuia sau după caz a mediului

ambiant. Semireglabilul SR2 asigură o anumită valoare a tensiunii continue pe terminalul 3 (intrarea neinversoare a amplificatorului operational βA 741).

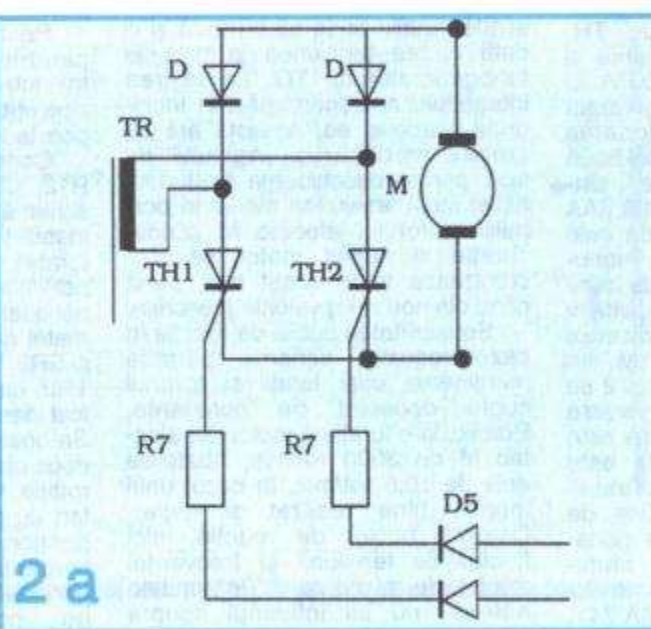
Atât timp cât temperatura radiatorului (sau a mediului ambiant) este mare și, deci, Th are o valoare mică, tensiunea continuă pe terminalul 2 (intrarea inversoare) a circuitului βA 741 este mică și deci V3 > V2. Ieșirea (terminalul 6) se află la un potențial ridicat și astfel tensiunea de comandă a unghiului de conducție având valoare maximă, puterea și turația comandate în motor sunt la limita maximă. Această stare se menține până când tensiunea pe intrarea inversoare 2 atinge nivelul tensiunii de pe intrarea neinversoare 3, ca urmare a creșterii valorii rezistenței Th produse de creșterea temperaturii. În acest moment începe lucru în regim stabilizat, conform descrierii făcute mai sus, asupra buclei de reacție negativă. Filtrul format de circuitul L,C2 are drept scop suprimarea armonicelor (în special a treia) ce pot fi induse în rețea de comandă în fază a triacului.

În figura 5 este prezentată schema de comandă cu buclă de reacție a unui motor universal.

Prin intermediul tahogeneratorului TG, turația motorului M este transformată într-o tensiune. Aceasta este divizată de R15,R16 și aplicată pe intrarea inversoare 2 a amplificatorului βA 741.

Grupul R12,C6 (ca și în cazul instalației din figura 2) face ca semnalul de ieșire să aibă o constantă de timp egală cu mai multe semiperioade. În acest sens valoarea R12C6 este mare, de ordinul a 100 ms. Rezistența R15 se alege astfel încât la turația maximă a motorului M și, respectiv, a tahogeneratorului TG, tensiunea pe R16 să nu depășească 5V. În acest fel, datorită diodei Zener Dz1 de 5,6 V tensiunea pe intrarea inversoare 2 nu va fi depășită niciodată, indiferent de poziția potențiometrului P și de tensiunea pe intrarea neinversoare 3. Astfel nu va fi permisă niciodată apariția tensiunii maxime de comandă a triacului Tr.

Valorile uzuale pentru grupul R12, C1 sunt: R12 = 100 kΩ, C1 = 1 μF.



LISTA DE PIESE

Figura 1

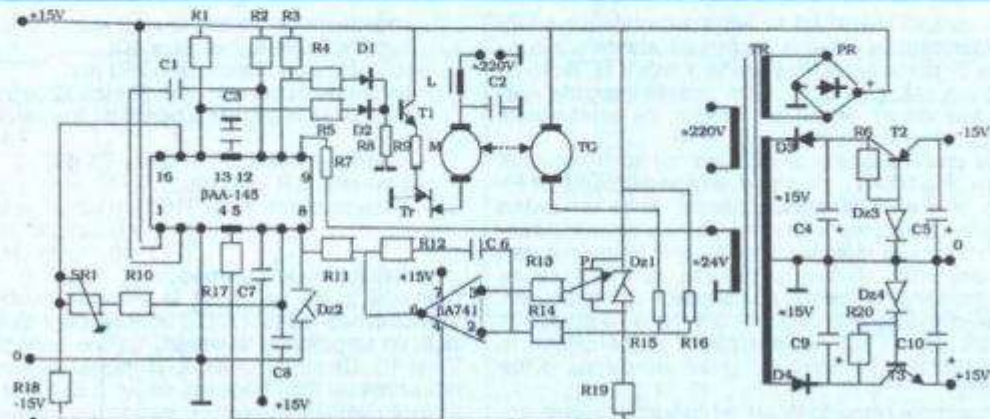
1. R1;R3;R10;R11 \Rightarrow 1 k Ω
2. R2 \Rightarrow 22 k Ω
3. R4;R5 \Rightarrow 100 Ω
4. R6;R8 \Rightarrow 220 Ω
5. R9 \Rightarrow 6,8 k Ω
6. R12;R13 \Rightarrow 10 k Ω
7. R14 \Rightarrow 100 k Ω
8. R15 \Rightarrow 330 Ω
9. R16 \Rightarrow 1,5 k Ω
10. R17;R18 \Rightarrow 270 Ω

22. T5 \Rightarrow BD138
23. C1 \Rightarrow 47 nF/100V
24. C2 \Rightarrow 100 μ F/25V
25. C3 \Rightarrow 1 μ F/100V (nepolarizat)
26. C4;C5 \Rightarrow 0,1 μ F/100V

NOTĂ. Toate rezistoarele sunt chimice, cu puterea de 0,5W. Tiristorul TH și puntea PR pot fi înlocuite cu aletele de putere mai mică sau mai mare, în funcție de puterea motorului comandat.

11. R14 \Rightarrow 1,5 k Ω
12. SR1 \Rightarrow 100 k Ω
13. SR2 \Rightarrow 10 k Ω
14. R15 \Rightarrow 8,2 k Ω
15. R16;R17;R18 \Rightarrow 10 k Ω
16. Tr \Rightarrow Triac 10A/400V
17. DZ1 \Rightarrow PL7V5Z
18. DZ2;DZ3 \Rightarrow PL15Z
19. Thr \Rightarrow Vezi textul
20. PR \Rightarrow 10PM4
21. T1;T3 \Rightarrow BD 139
22. T2 \Rightarrow BD 138

5



Condensatorul electrostatic C2 este legat cu plusul la masa montajului.

11. SR1 \Rightarrow 100 k Ω
12. C1 \Rightarrow 47 nF/100V
13. C2 \Rightarrow 100 μ F/25V
14. C3;C4 \Rightarrow 0,1 μ F/100V
15. C5;C6;C7;C8 \Rightarrow 1000 μ F/25V
16. D1+D8 \Rightarrow 1N4002+4007
17. Dz1; Dz2 \Rightarrow PL15Z
18. T1; T3 \Rightarrow BC107B
19. T2; T4; T6 \Rightarrow BD139
20. TH \Rightarrow T6N4
21. PR \Rightarrow 6PM4
22. T5 \Rightarrow BD138

Figura 2

1. R1;R3;R10;R11;R13;R16 \Rightarrow 1 k Ω
2. R2;R12 \Rightarrow 22 k Ω
3. R4; R5 \Rightarrow 100 Ω
4. R8; R20 \Rightarrow 200 Ω
5. R7 \Rightarrow 22 Ω
6. R9 \Rightarrow 6,8 k Ω
7. R14 \Rightarrow 100 k Ω
8. R15 \Rightarrow 330 Ω
9. R17 \Rightarrow 10 k Ω
10. R18;R21 \Rightarrow 270 Ω
11. R19 \Rightarrow 1,5 k Ω
12. SR1 \Rightarrow 100 k Ω
13. SR2;SR3 \Rightarrow 10 k Ω
14. P \Rightarrow 10 k Ω
15. D1+D9 \Rightarrow 1N4001+4007
16. Dz1 \Rightarrow PL7V5Z
17. DZ2;DZ3 \Rightarrow PL15Z
18. TH \Rightarrow T6N4
19. PR \Rightarrow 6PM4
20. T1;T2 \Rightarrow BC107B
21. T3;T4;T6 \Rightarrow BD139

Figura 3

1. R1;R3 \Rightarrow 1 k Ω
2. R2 \Rightarrow 22 k Ω
3. R4;R5 \Rightarrow 220 Ω
4. R6;R13 \Rightarrow 270 Ω
5. R7 \Rightarrow 27 k Ω
6. R8 \Rightarrow 100 Ω
7. R9 \Rightarrow 6,8 k Ω
8. R10 \Rightarrow 100 k Ω
9. R11 \Rightarrow 330 Ω
10. R12 \Rightarrow 10 k Ω
11. SR \Rightarrow 100 k Ω
12. C1 \Rightarrow 47 nF/100V
13. C2 \Rightarrow 0,1 μ F/400V
14. C3 \Rightarrow 100 μ F/25V
15. C4;C5;C8;C9 \Rightarrow 1000 μ F/25V
16. C6;C7 \Rightarrow 0,1 μ F/100V
17. D1+D4 \Rightarrow 1N4002+4007
18. Dz1; Dz2 \Rightarrow PL15Z
19. T1; T3 \Rightarrow BD 139
20. T2 \Rightarrow BD 138
21. TH \Rightarrow T6N4
22. PR \Rightarrow 6PM4
23. P \Rightarrow 10k Ω (liniar)

Figura 4

1. R1;R3;R11 \Rightarrow 1 k Ω
2. R2 \Rightarrow 22 k Ω
3. R4;R5 \Rightarrow 220 Ω
4. R6; R19 \Rightarrow 270 Ω
5. R7 \Rightarrow 6,8 k Ω
6. R8 \Rightarrow 27 k Ω
7. R9 \Rightarrow 100 Ω
8. R10 \Rightarrow 10 k Ω
9. R12 \Rightarrow 100 k Ω
10. R13 \Rightarrow 330 Ω

Figura 5

1. R1;R3;R11 \Rightarrow 1 k Ω
2. R2 \Rightarrow 22 k Ω
3. R4;R5 \Rightarrow 220 Ω
4. R6;R20 \Rightarrow 270 Ω
5. R7 \Rightarrow 6,8 k Ω
6. R8 \Rightarrow 27 k Ω
7. R9 \Rightarrow 100 Ω
8. R10;R12;R13;R14 \Rightarrow 100 k Ω
9. R15 \Rightarrow 10 k Ω
10. R16 \Rightarrow 2,2 k Ω
11. R17 \Rightarrow 330 Ω
12. R18 \Rightarrow 1,5 k Ω
13. R19 \Rightarrow 4,7 k Ω
14. SR1 \Rightarrow 100 k Ω (liniar)
15. C1 \Rightarrow 47 nF/100V
16. C2 \Rightarrow 0,1 μ F/400V
17. C3 \Rightarrow 100 μ F/25V
18. C4;C5;C9;C10 \Rightarrow 1000 μ F/25V
19. C6 \Rightarrow 1 μ F/100V
20. C7;C8 \Rightarrow 0,1 μ F/100V
21. D1+D4 \Rightarrow 1N4002+4007
22. Dz1 \Rightarrow PL5V6Z
23. Dz2 \Rightarrow PL7V5Z
24. T1;T3 \Rightarrow BD 139
25. T2 \Rightarrow BD 138
26. THR \Rightarrow Triac 6A/400V
27. PR \Rightarrow 6PM4
28. P \Rightarrow 25 k Ω (liniar)

AMPLIFICATOR AUDIO HI-FI

DE MARE PUTERE

Prof. ing. Emil MARIAN

În paginile revistei TEHNIUM au fost prezentate, de-a lungul timpului, foarte multe scheme de amplificatoare audio de putere, fiecare cu particularitățile și performanțele ei. Tendința actuală, de ultimă oră, este de a utiliza circuite integrate specializate, montaje relativ simplu de realizat, cu componente electrice bune și chiar foarte bune.

Construcția practică a unui amplificator de audiofrecvență de putere mare ($P \geq 100$ W), care să dețină performanțe HI-FI, se poate face în mai multe moduri, fiecare dintre ele având avantaje și dezavantaje proprii. În ultimul timp a devenit curență folosirea unor circuite integrate specializate, de putere, astfel dimensionate încât să livreze puterea nominală ce se dorește și să instalația în cadrul complexului electroacustic. Efectuând însă o analiză mai detaliată a acestui tip de soluție tehnică, dublată de un set de măsurători de parametri, în majoritatea cazurilor s-au constatat unele deficiențe, dintre care menționăm:

- majoritatea montajelor de acest tip livrează puterea nominală doar pentru o perioadă de timp limitată și mai ales doar înspre partea centrală a benzii de audiofrecvență. La extremitățile ei totdeauna intervin atenuări importante ale valorii puterii de ieșire;

- procentajele de distorsiuni armonice și de intermodulație (THD și TID) prezintă de cele mai multe ori valori apropiate de limitele de la care distorsiunile sunt sesizabile auditiv, în special înspre extremitățile benzii audio;

- amplificatoarele audio de putere realizate cu circuite integrate specializate de factură mass-media prezintă o capacitate destul de redusă la supraîncărcare. Depășirea puterii nominale livrate duce de cele mai multe ori la apariția distorsiunilor de tip CLIPPING (limitări), foarte supărătoare în momentul audieri, la intermodulații sesizabile auditiv și nu de puține ori la ambalări termice care distrug ireversibil circuitul integrat de putere;

- unele circuite integrate de putere prezintă un factor de creștere a tensiunii (slew-rate) de valoare redusă (sub $6V/\mu s$), fapt care implică funcționarea deficitară a acestora în timpul regimurilor tranzistorii și mai ales redarea cu intermodulații sesizabile (lipsă de claritate și deformări acustice) a semnalelor audio de frecvență înaltă;

- utilizarea unui circuit integrat specializat de tip amplificator audio de putere presupune folosirea schemei electrice tipice impusă de fabricant, alături de cablajul lui optim, iar unele corectă (necesare uneori pentru caracteristica de transfer amplitudine-frecvență, stabilitate etc.) sunt de cele mai multe ori imposibile;

- pretul de cost al unui circuit integrat specializat (audio de putere) este încă destul de ridicat pentru constructorul amator (elev, student etc.).

Tinând seama de acestea, s-a ales o schemă electrică a unui amplificator audio de putere care să nu prezinte deficiențele menționate anterior. Montajul este realizat cu componente electrice ușor procurabile și prezintă totodată performanțe electrice foarte bune, încadrabile cu ușurință în normele HI-FI.

Schemă amplificatorului este prezentată în figura 1. Montajul are următoarele performanțe:

- puterea nominală: $P_n = 100W$ ($Z = 4\Omega$);
- capacitatea de supraîncărcare: $C = 1,4$ ($P_{ns} = 140 W$);
- puterea muzicală de vârf: $P_{mv} = 270 W$;
- tensiunea de alimentare: $U_a = \pm 50 V$;

- impedanța de intrare: $Z_i = 20 k\Omega$;

- impedanța de ieșire: $Z_e = 4\Omega$;

- tensiunea de intrare: $U_i = 250 mV$;

- banda de frecvență: $\Delta f = 14 Hz - 22 kHz$;

- atenuarea la capetele benzii de frecvență:

- $A = 0,5 dB$;

- raport semnal/zgomot: $S/N \geq 75 dB$;

- slew-rate: $SR = 25 V/\mu s$;

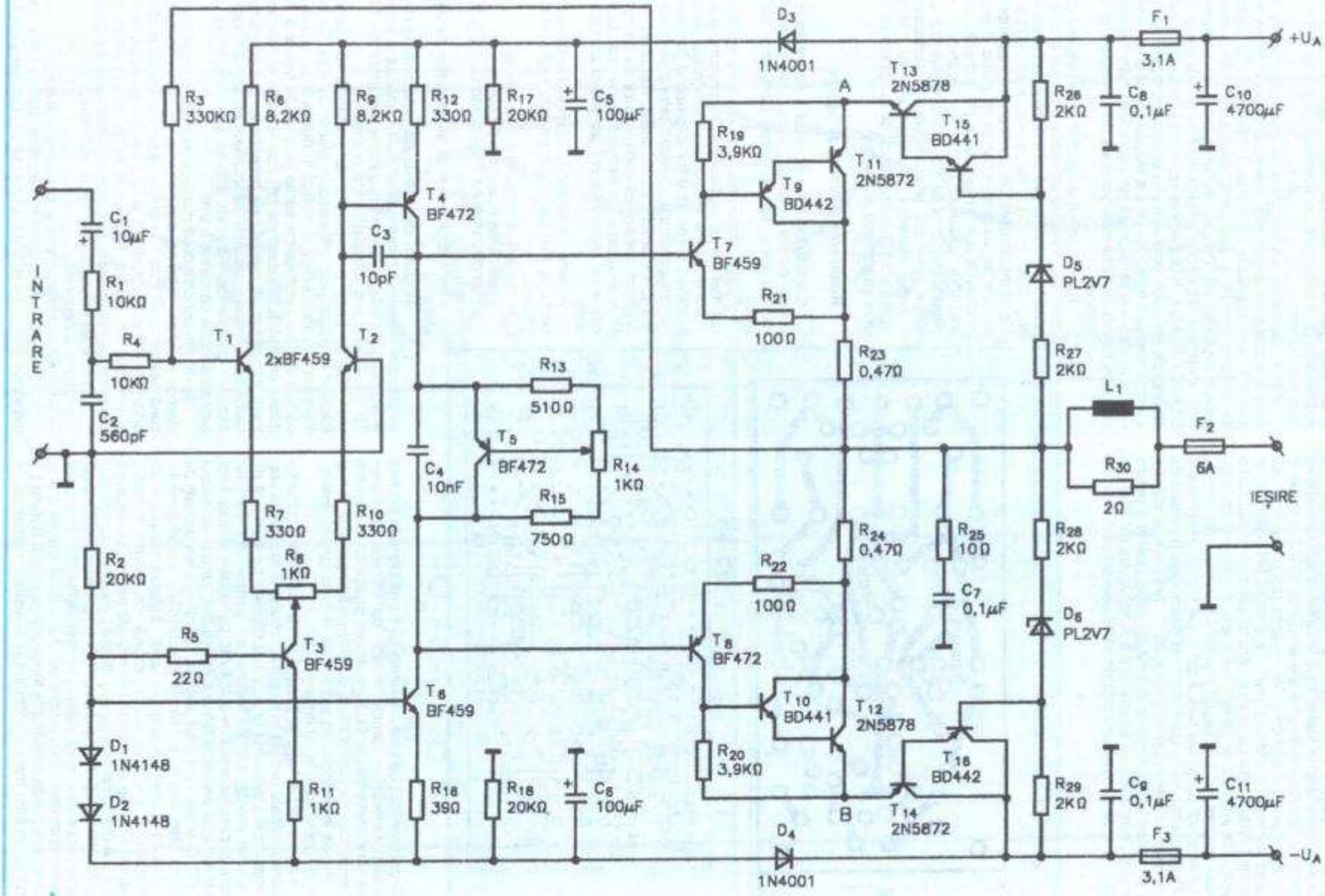
- distorsiuni armonice: $THD \leq 0,02\% / 1 kHz$;

- $THD \leq 0,14\% / 16 kHz$;

- $THD \leq 0,1\% / 25 kHz$;

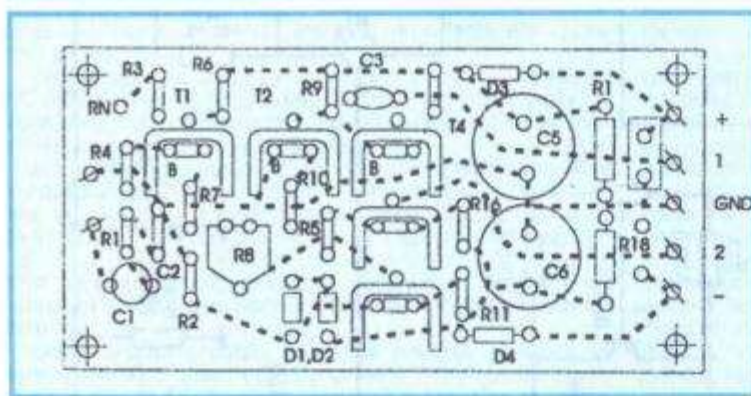
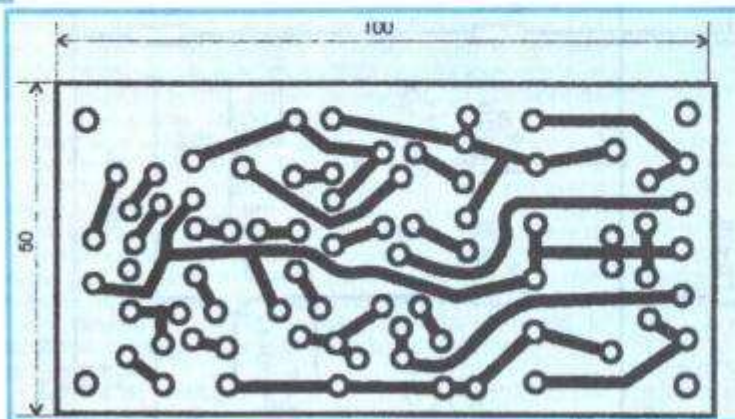
- distorsiuni de intermodulație: $TID \leq 0,07\%$.

Semnalul audio se aplică la intrarea montajului, prin intermediul condensatorului C1, etajului de intrare. Acesta reprezintă un amplificator diferențial, care conține tranzistoarele T1, T2 și T3. Grupul R1,R4,C2, amplasat la intrarea montajului, reprezintă un filtru trece-jos de tip T. El a fost prevăzut pentru a bloca semnalele electrice audio cu o frecvență mai mare de 25 kHz. În acest mod se evită din start atât amplificarea unor semnale ultrasonore ce ar putea provoca accidentale de la sursa de semnal audio, cât și funcționarea necorespunzătoare generală a amplificatorului, evitându-se posibilitățile de apariție a unor intermodulații care ar scădea calitatea producării programului muzical în zona frecvențelor medii-inalte. Analizând structura amplificatorului diferențial propriu etajului de intrare, se observă că în emitoarele tranzistoarelor T1 și T2 este amplasată o sarcină activă de tip generator de curent constant, format de tranzistorul T3 și componentele electrice aferente (R2,D1,D2,R5,R11). Această soluție îmbunătățește fundamental funcționarea amplificatorului diferențial, atât în privința impedanței sale de intrare, cât și în ceea ce privește caracteristicile de transfer tensiune-frecvență. Potentiometrul semireglabil R8 a fost prevăzut pentru reglajul off-setului amplificatorului, astfel încât în lipsa semnalului audio de intrare, prin difuzeurile incintelor acustice (sarcina amplificatorului) să nu circule o componentă de curent continuu ($I_{out} < 3mA$). Semnalul audio amplificat de către etajul de intrare este preluat din colectorul tranzistorului T2 și aplicat galvanic în baza tranzistorului T4. Acesta îndeplinește în cadrul montajului rolul etajului pilot, care asigură excursia maximă de tensiune a semnalului audio amplificat. Pentru optimizarea funcționării etajului pilot s-a prevăzut ca sarcina a lui un generator de curent constant, realizat cu ajutorul tranzistorului T6. Acest tip de configurație - deci sarcina activă - oferă avantajul realizării unei rezistențe echivalente mari în curent alternativ și mici în curent continuu. Urmarea imediată este obținerea unei amplificări foarte mari și totodată cu distorsiuni minime, a etajului pilot. Tranzistorul T5 împreună cu componente R13,R14,R15,C4 formează o sursă de tensiune constantă de tip superdiодă, necesară polarizării în clasa AB de funcționare AB a etajului final. Analizând configurația schemei lui electrică, se observă că el prezintă o structură de tip cascadă pe emitor. Tranzistoarele T7,T9 și T11 realizează un triplet de tip NPN, iar tranzistoarele T8, T10 și T12 un triplet complementar de tip PNP. Se mai observă că repetoarele pe emitor clasică, formate din cele două tranzistoare complementare de putere, sunt completate de prezența celor două etaje complementare, realizate de dubletii de tranzistoare T13 și T15 (de tip NPN) și T14 și T16 (de tip PNP). În pauze (lipsa semnalului audio de intrare), pe fiecare dintre cele două tranzistoare dublet este aplicată doar jumătate din valoarea tensiunii de alimentare, deoarece polarizarea acestora este



asigurată de grupurile R26,D5,R27 și R28,D6,R29. Acest mod de lucru îmbunătățește foarte mult liniaritatea caracteristicilor de transfer tensiune-frecvență ale amplificatorului și duce la obținerea unui slew-rate de valori ridicate ($25 \text{ V}/\mu\text{s}$). Totodată disipația termică a etajului final este mult îmbunătățită în momentul livrării puterii nominale. Atunci când semnalul audio se aplică la intrarea amplificatorului, cel doi dubleti complementari asigură, în funcție de nivelul semnalului de intrare, nivelul tensiunii de alimentare a celor doi tripleți complementari. Deci, practic, se asigură excursia dinamică a punctului de funcționare ce definește amplificarea în tensiune a etajului final și, concomitent, livrarea optimă de către acesta a puterii de ieșire. Complexitatea acestei configurații a etajului final (un număr mare de tranzistoare față de montajele clasice) este pe

2



3

deplin compensată de performanțele lui foarte bune în privința linearității perfecte a caracteristicilor de transfer tensiune-curent și tensiune-frecvență. Se remarcă posibilitatea obținerii unei amplificări de curent mari, cu distorsiuni nelineare și mai ales cele de intermodulație extrem de reduse (practic inexiste). Si acest lucru la puterea maximă.

Un alt avantaj esențial al acestui tip de etaj final îl constituie puterea dissipată redusă în timpul funcționării. Alcătuirea etajului final implică prezența unei puteri dissipate pe sferă față de cea a unui montaj clasic, realizat cu tranzistoare complementare și care lucrează în clasă AB. La ieșirea etajului final se mai remarcă prezența filtrului Boucherot, format din grupul R25, C7. El elimină complet posibila apariție a unor oscilații de frecvență ultrasonică în timpul funcționării amplificatorului (mai ales în momentul apariției unor regimuri tranzistorii de funcționare și chiar la suprasarcină de scurtă durată). Rezistența R3 este amplasată într-o bucăță de reacție negativă globală, ce definește în final amplificarea generală a montajului $A = R3/(R1 + R4)$. Rezistențele R23 și R24 reprezintă reacții negative locale de curent, care optimizează funcționarea celor doi tripleți complementari proprii etajului final al amplificatorului și totodată previn ambalarea termică a acestuia. Bobina L1 reprezintă un filtru trece-jos amplasat la ieșirea montajului, în

scopul diminuării influenței difuzoare-amplificator, sporindu-se stabilitatea în funcționare a acestuia (evitarea unor contrareacții nedoreite).

Pentru protecția suplimentară la suprasarcină de lungă durată a amplificatorului sau eventual scurtcircuit în incinta acustică, s-a prevăzut siguranță fuzibilă Fa. Tot pentru o funcționare optimă a amplificatorului s-au luat o serie de măsuri suplimentare. Pe cale de alimentare cu energie electrică a etajelor de intrare și pilot au fost prevăzute grupurile D3, R17, C5 și D4, R18, C6. Ele reprezintă rezervoare tampon de energie electrică amplasate în scopul menținerii constante a valorii tensiunii de alimentare a etajelor menționate anterior, indiferent de puterea debitată de etajul final, când la depășirea de puteri nominale tensiunea generală de alimentare ar putea scădea.

Tot în scopul asigurării unei tensiuni de alimentare generale de valoare pe căt posibil constantă, au fost prevăzute condensatoarele de filtraj C10 și C11 de valori mari ($4700 \mu\text{F}$). Condensatoarele C8 și C9 au rolul de suprimare a unor tensiuni parazite ce ar putea fi preluate accidental de amplificator pe traseele de alimentare (cablurile de la redresor etc.). Sigurantele fuzibile F1 și F3 realizează o protecție generală pe traseele de alimentare cu energie electrică a amplificatorului, în cazul apariției unei suprasarcini de lungă durată sau a unui scurtcircuit accidental.

Realizarea practică și reglaje

Construirea amplificatorului de putere implică o serie de particularități, în vederea obținerii unui montaj care să confirme parametrii estimati.

Pentru realizarea unei variante constructive căt mai simple și eficiente, se propune o succesiune de etape și operații intermediare, de corectitudinea respectării lor depinzând fundamental calitatea montajului. Amplificatorul se poate realiza în variante mono, stereo sau chiar quadro. Se menționează că auditia muzicală de nivel HI-FI implică cel puțin varianta stereo, ca atare indicațiile de montaj se vor da pentru această variantă.

In vederea asamblării optime, realizarea montajului a fost defalcată pe mai multe etape, și anume:

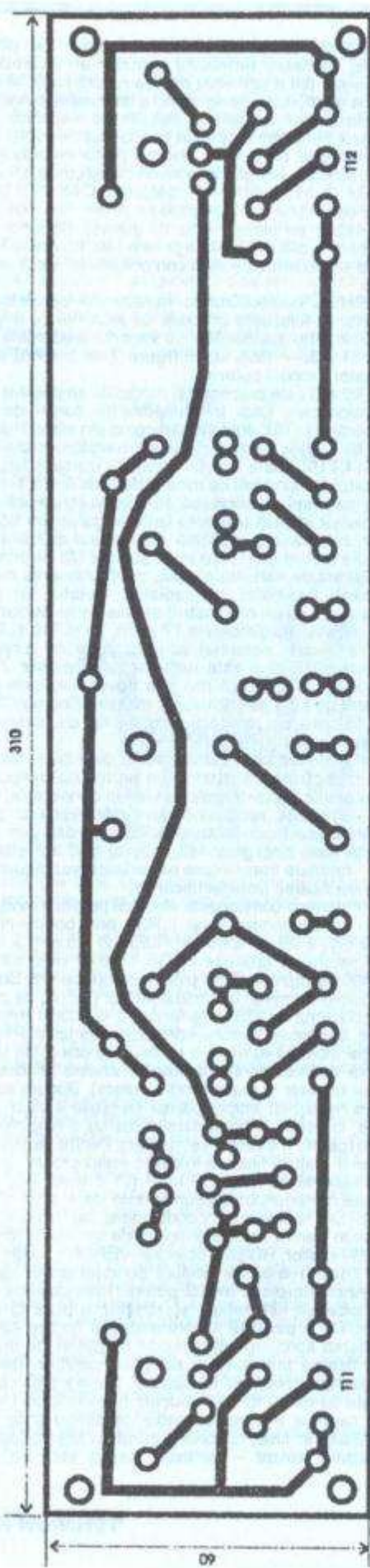
- realizarea modulului de comandă;
- realizarea modulului de putere;
- amplasamentul final al modulelor (varianta stereo);
- considerații privind alimentarea cu energie electrică.

Modulul de comandă reprezintă partea de amplificare în tensiune a montajului ce urmează a comanda etajul final. Modulul de comandă conține tranzistoarele T1, T2, T3, T4, T6 și componentele electrice aferente.

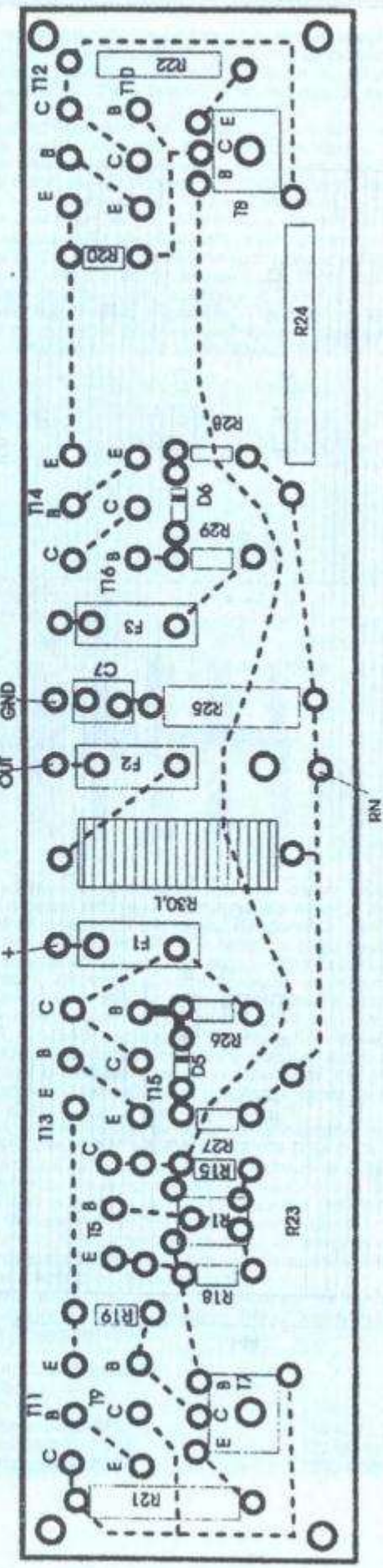
Placa de bază a modulului de comandă se realizează folosind o placă de sticlotextolit placat cu folie de cupru. Schema de cablaj este prezentată în figura 2, iar amplasarea componentelor electrice pe ea se prezintă în figura 3. În vedere unei stabilități termice căt mai ridicate în funcționare, toate tranzistoarele menționate anterior au fost prevăzute cu radiatoare. Fiecare radiator se confectionează din tablă de aluminiu groasă de 1-2 mm, având profil de tip U, cu o suprafață totală de minim 6 cm^2 .

Se realizează căte două montaje modul comandă (varianta stereo) identice, folosind componente electrice de cea mai bună calitate (vezi lista de componente prezentată la sfârșitul articolelor). Tranzistoarele T1 și T2 se aleg cu același factor de amplificare în curent h21E. La realizarea modulelor de comandă se recomandă următoarea succesiune de operații:

- realizarea placăelor de cablaj imprimat;
- plantarea coselor;
- plantarea rezistoarelor și condensatoarelor;
- plantarea tranzistoarelor, acestea având deja fiecare radiatorul montat (șurub M3, șabla plate și Grower, piuliță M3).



4



5

Înainte de plantarea tranzistoarelor pe plăcuță de cablaj imprimat, terminalul colector al fiecărui se preformează (cu o pensetă) de așa natură încât să se obțină forma de montare de tip tripod a terminalelor. Acest gen de amplasament concură la stabilitatea mecanică sporită a fiecărui tranzistor amplasat pe plăcuță de cablaj imprimat.

Modulul de putere conține placă de cablaj pe care sunt montate restul componentelor electrice ale amplificatorului (în afară de condensatoarele C10 și C11) și radiatorul ce conține tranzistoarele de putere (mai puțin T7 și T8, amplasate pe placa modul de putere). Schema de cablaj imprimat a plăcii modul de putere este prezentată în figura 4, iar amplasarea pe ea a componentelor electrice, în figura 5.

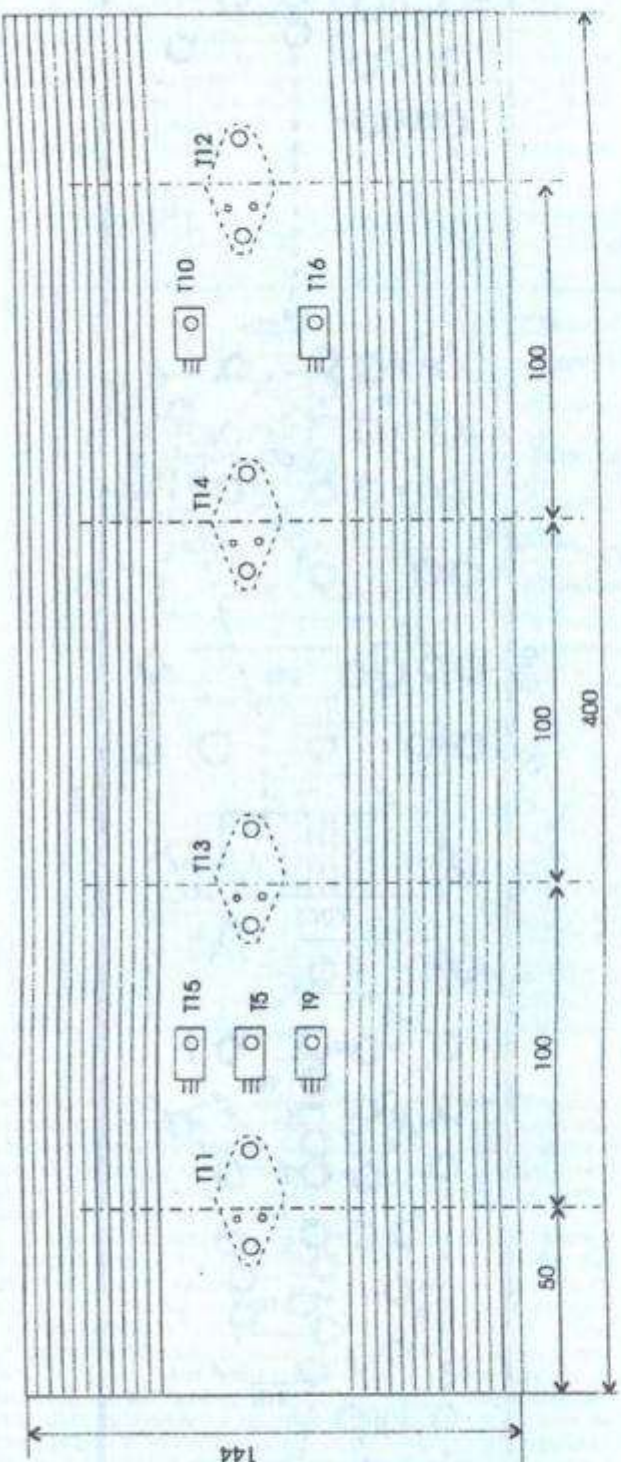
Pentru confectionarea radiatorului tranzistoarelor de putere se folosește un profil de aluminiu cu aripioare pe ambele fețe, asemănător cu varianta prezentată în figura 6 (144 x 30 x 400), iar în figura 7 se prezintă ansamblul radiator - modul putere.

Tot aici este prezentat și modul de amplasare a tranzistoarelor care intră în componența sursei de tensiune superperiodă (T5), dubletii Darlington din etajul final (T9, T11 și T10, T12) și sarcinei dinamice complementare (T13, T15 și T14, T16). Toate tranzistoarele se izolează față de placă radiator folosind folii de mică grosă de 0,2-0,3 mm, umectate cu vaselină siliconică. Prinderea mecanică a fiecărui tranzistor implică prezența izolației galvanice față de radiator a fiecărui, realizată cu ajutorul saibelor izolante, tubului izolant (prin care trece șurubul M3 de prindere) etc. Indiferent de varianta aleasă, după prinderea mecanică a fiecărui tranzistor pe radiator, izolația lor galvanică (măsurată cu un ohmmetru) trebuie să fie perfectă. În mod obligatoriu, tranzistoarele T7 și T6, T9 și T10 și T11 și T12 dețin (fiecare pereche) același factor de amplificare în curent h21E. Mai este necesar ca tensiunile Zenner ale diodelor D5 și D6 să prezinte aceeași valoare pentru un curent de 12,5 mA (toleranță maximă fiind sub 2%).

Ordinea de realizare a modulului de putere (varianta stereo) este:

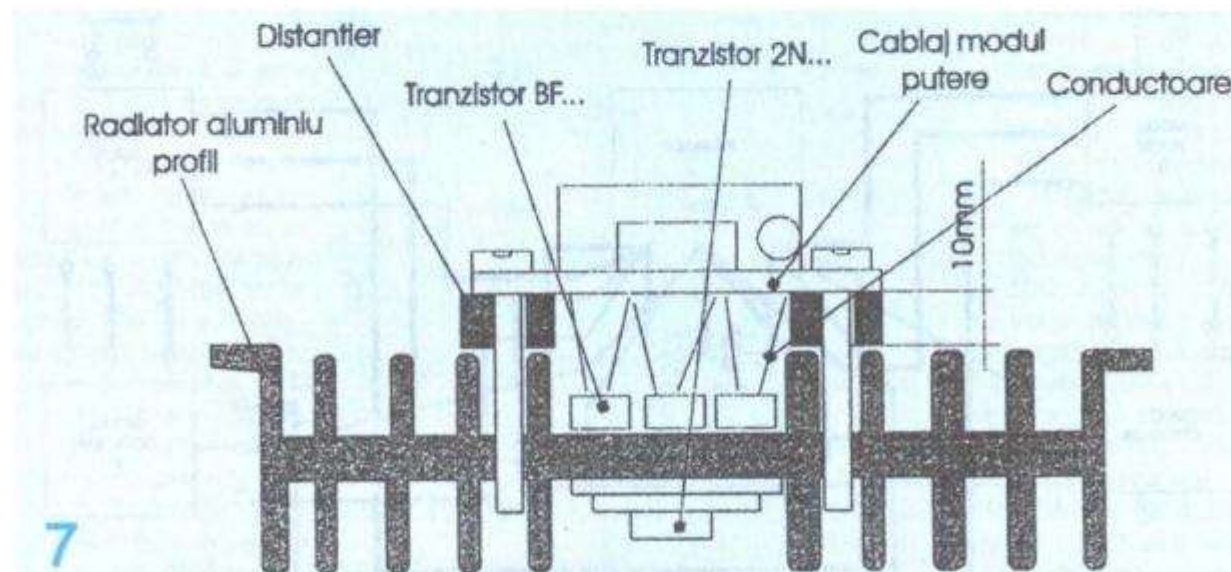
- realizare plăci cablaj modul de putere: fiecare placă se inscripționează ulterior (pe partea cu componente) cu simbolurile tranzistoarelor unde vin conexiunile;
- realizare radiatoare din profil aluminiu: găurile de fixare placă modul putere-radiator se dau prin corespondență (cele cinci găuri M3, radiator și \varnothing 3,2, placă);
- montare tranzistoare pe radiator (vezi figura 7) și ulterior verificarea izolației fiecărui;
- montare componente electrice pe placă modul putere;
- confectionare grup L,R30 prin bobinarea pe R30 ($2\Omega/5W$) a 20 de spire din CuEm \varnothing 1,5 mm și apoi sudura (paralel) a grupului L,R30. Ulterior cele două grupuri L,R30 se plantează pe plăcile modul putere. Se sudează, la fiecare terminal al tranzistoarelor (B,C,E) de pe radiator, conductorul multifilar de legătură cu placă modul de putere. Lungimea fiecărui conductor (de tip VLPY) se alege astfel încât să rămână o rezervă de cca 2 cm față de distanță optimă (pentru a putea manevra letconul introdus între radiator și placă modul putere). Sudura se face din spate cablaj, iar înspre partea cu piese a plăcii modul putere, capetele conductoarelor ies cu o lungime de cca 2 mm (pentru măsurători și reglaje). Pentru partea de curenti mari a etajului final se folosesc conductoare cu secțiunea echivalentă de cca $2,5 \text{ mm}^2$ (\varnothing 2 multifilar), iar pentru restul conexiunilor secțiunea este de 1 mm^2 (\varnothing 1 multifilar). Se recomandă conductoare cu izolație de culori diferite pentru fiecare terminal de tranzistor (de exemplu, ALB - emitor, ROȘU - colector, VERDE - bază).

După realizarea sudurii conductoarelor de legătură tranzistoare-placă modul putere, între aceasta și radiator (aripioarele lui) trebuie să rămână o distanță de cca 20 mm. Cu o pensetă se preformează fiecare conductor în vederea apropierea plăcii modul de putere de radiator pentru fixarea mecanică a acestora, conform desenului de ansamblu prezentat în figura 7. Se are grijă ca la preformare să nu se forțeze sudurile (preformarea începe de la un capăt al montajului modul de putere și se termină la celălalt). În final, cu cele 5 șuruburi M3 și distanțieri (din material izolant - pertinax, textolit etc.) se realizează



rigidizarea mecanică a ansamblului modul-putere (vezi figura 7). Desigur că după realizarea practică a modulelor care intră în componența amplificatorului, acestea se asamblează într-un bloc compact unitar. Inițial se confectionează din tablă de fier, groasă de cca 1-1,5 mm (cu ranforsările de rezistență mecanică necesare), o cutie dreptunghiulară în care urmează să funcționeze amplificatorul. Se recomandă dimensiunea de 420 mm (general acceptată de majoritatea firmelor) pentru lungimea cutiei, 400 mm lungimea peretilor laterali și 150 mm pentru înălțimea acesteia. Modulele de putere se amplasează pe cei doi pereți laterali ai cutiei. Pentru acest lucru se fac în ei decupări dreptunghiulare, pe unde vor trece lejer plăcile modul de putere, iar radiatoarele se fixează cu șuruburi direct pe peretii laterali, pentru a fi asigurată o disipație termică mai eficientă. Plăcile modul comandă se asamblează în interiorul cutiei, în dreptul bornelor 1 și 2 (unde există fizic superdioda). La asamblarea mecanică se folosesc distanțieri (realizați tot dintr-un material izolant). Cutia metalică este prevăzută cu un

se scot sigurantele de pe traseul de alimentare (F1 și F3) și la bornele lor se amplasează câte un miliampermetru inserat cu câte o rezistență de cca $50\Omega/3W$. Se scoate ulterior și siguranța fuzibilă F2 și la bornele ei se conectează, de asemenea, un miliampermetru. Se strapează (se pun la masă) intrările amplificatorului. Se începe cu verificarea regimului static de funcționare. Pentru acest lucru, se actionează inițial potențiometrele semireglabile R3 și R14 pe o poziție "de mijloc" a cursorului. Se alimentează amplificatorul și actionând potențiometrul semireglabil R14 se stabilește un prim reglaj al curentului de mers în gol, de cca $I_0 = 20$ mA. Ulterior, se actionează cu grija cursorul potențiometrului semireglabil R8, astfel ca prin rezistența de sarcină amplasată la ieșirea amplificatorului să treacă un curent de valoare sub 10 mA ($I_s < 10$ mA). Se verifică cu ajutorul unui voltmètre de curent continuu dacă la bornele rezistențelor amplasate în serie cu miliampermetrele de pe circuitele de alimentare apare o cădere mare de tensiune (mai simplu, dacă se incălzesc). Dacă pe una (sau



7

panou frontal (pe care se amplasează comenzi) și capac detașabil (prins în șuruburi cu cap ornament - de exemplu, cap-cruce).

Redresorul care alimentează amplificatorul cu energie electrică se dimensionează pentru o putere de cca 300 W, fiind capabil să livreze în regim de lungă durată, pe fiecare coloană a tensiunii continue de alimentare $U_A = \pm 50$ V, un curent minim de 6,5 A. Pentru un filtraj suplimentar al tensiunii U_A s-au prevăzut condensatoarele electrolitice C10 și C11 de capacitate mare (4700 μ F/63V). Ele se amplasează fizic în imediata apropiere a blocului de alimentare (transformator + redresor).

Schema de cablaj a amplificatorului se realizează conform variantei prezentate în figura 8. Se observă existența traseelor diferite pentru alimentarea cu energie electrică a modulelor de comandă (VPLY Ø1) și a modulelor de putere (VPLY Ø2,5). Acest amplasament elimină din start posibilitatea apariției unui zgromot de fond din cauza rezistențelor și curentilor diferenți solicitați de cele două tipuri de module proprii amplificatorului (evitarea așa-numitei "bucle de masă").

Redresorul este prevăzut în imediata lui apropiere cu o placă de borne dotată cu câte cinci cose (dimensionate conform curentilor solicitați) pe fiecare ramură de alimentare (plus, masă și minus). De la placă de borne a redresorului se duc conductoarele de alimentare către fiecare modul, pe traseul cel mai scurt (vezi figura 8).

Reglajele amplificatorului încep printr-o verificare de ansamblu a corectitudinii efectuării tuturor conexiunilor galvanice. Ulterior se efectuează reglajele pentru fiecare canal al amplificatorului (L și ulterior R).

Se amplasează la ieșirile amplificatorului câte o rezistență de cca $150\Omega/3W$.

ambele) ramuri de alimentare apare un curent mare ce nu poate fi micșorat prin reglajele menționate anterior, înseamnă că s-a făcut o greșeală (de cablaj, componentă defectă etc.). Amplificatorul se scoate de sub tensiune și se caută să se eliminate eroarea. În cazul în care reglajele I_0 și I_s sunt posibile, se întrerupe alimentarea amplificatorului, se elimină rezistențele inseriate cu miliampermetrele din circuitul de alimentare și se reiau reglajele pentru valorile finale pentru curentii $I_0 = 70$ mA, $I_s \leq 3$ mA (teoretic $I_s = 0$, Uieșire = 0). Ulterior se verifică prezența tensiunii de cca 25V în punctele A și B (pozitivă A, negativă B) și lipsa tensiunii continue ($U_s = 0$) la ieșirea amplificatorului. Reglajele efectuate pentru canalul L se reiau apoi (în aceeași ordine) și pentru canalul R.

După aceste reglaje se întrerupe alimentarea amplificatorului, se remontează sigurantele fuzibile și se trece la verificarea lui dinamică (evident, se înălță străpurile de la intrări).

Se amplasează la ieșirile amplificatorului câte o rezistență de $4\Omega/100W$ și se face verificarea dinamică, utilizând un generator de audiofreqvencă și un osciloscop cu spot dublu.

Se verifică liniaritatea caracteristicii de transfer în banda audio (precizată inițial) și forma de undă a semnalului de ieșire (eventual utilizând un distorsiometru).

O dată realizat și reglat, amplificatorul va confirma pe deplin parametrii tehnici precizați inițial, încadrându-se cu ușurință în normele HI-FI.

LISTA DE COMPOONENTE

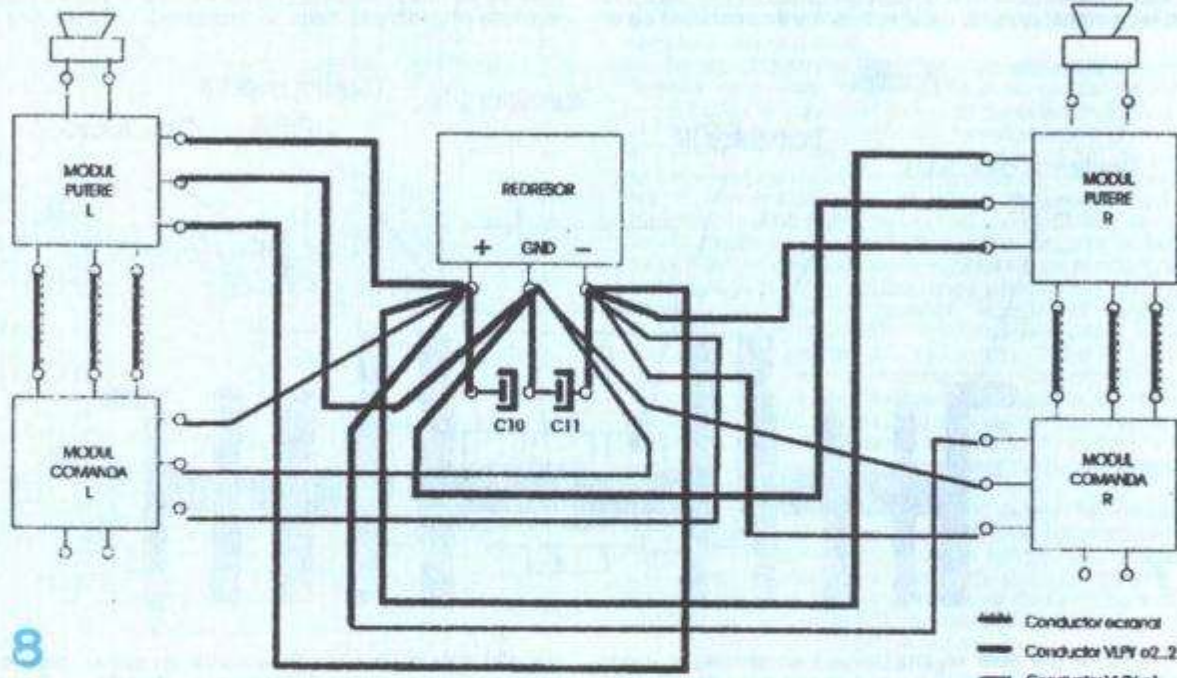
Rezistoare

| | |
|-------------------------|-----------------------|
| R1 - rezistență tip RPM | 10 k Ω /0,5 W |
| R2 - rezistență tip RPM | 20 k Ω /0,5 W |
| R3 - rezistență tip RPM | 330 k Ω /0,5 W |

| | | |
|----------------------------------|--------------|----------------------|
| R4 - rezistență tip RPM | 10 kΩ/0,5 W | D2 - 1N4148 |
| R5 - rezistență tip RPM | 22 Ω/0,5 W | D3 - 1N4001 + 1N4007 |
| R6 - rezistență tip RPM | 8,2 kΩ/0,5 W | D4 - 1N3001 + 1N4007 |
| R7 : rezistență tip RPM | 330 Ω/0,5 W | D5 - PL2V7 |
| R8 - potențiometru semireglabil | 1 kΩ | D6 - PL2V7 |
| R9 - rezistență tip RPM | 8,2 kΩ/0,5 W | |
| R10 - rezistență tip RPM | 330 Ω/0,5 W | |
| R11 - rezistență tip RPM | 1 kΩ/0,5 W | |
| R12 - rezistență tip RPM | 330 Ω/0,5 W | |
| R13 - rezistență tip RCG | 510 Ω/0,5 W | |
| R14 - potențiometru semireglabil | 1 kΩ | |
| R15 - rezistență tip RCG | 750 Ω/0,5 W | |
| R16 - rezistență tip RPM | 39 Ω/0,5 W | |
| R17 - rezistență tip RCG | 20 kΩ/0,5 W | |
| R18 - rezistență tip RCG | 20 kΩ/0,5 W | |
| R19 - rezistență tip RCG | 3,9 kΩ/0,5 W | |

Tranzistoare

| |
|-------------|
| T1 - BF 459 |
| T2 - BF 459 |
| T3 - BF 459 |
| T4 - BF 472 |
| T5 - BF 472 |
| T6 - BF 459 |
| T7 - BF 459 |
| T8 - BF 472 |



8

| | |
|---------------------------|--------------|
| R20 - rezistență tip RCG | 3,9 kΩ/0,5 W |
| R21 - rezistență tip RCG | 100 Ω/2 W |
| R22 - rezistență tip RCG | 100 Ω/5 W |
| R23 - rezistență bobinată | 0,47 Ω/5 W |
| R24 - rezistență bobinată | 0,47 Ω/5 W |
| R25 - rezistență tip RCG | 10 Ω/2 W |
| R26 - rezistență tip RCG | 2 kΩ/2 W |
| R27 - rezistență tip RCG | 2 kΩ/2 W |
| R28 - rezistență tip RCG | 2 kΩ/2 W |
| R29 - rezistență tip RCG | 2 kΩ/2 W |
| R30 - rezistență bobinată | 2 kΩ/5 W |

T9 - BD 442

| |
|--------------|
| T10 - BD 441 |
| T11 - 2N5872 |
| T12 - 2N5878 |
| T13 - 2N5878 |
| T14 - 2N5872 |
| T15 - BD 441 |
| T16 - BD 442 |

Notă. Tranzistoare cu același h21E: T1 și T2; T7 și T8; T9 și T10; T11 și T12.

Condensatoare

| | |
|--------------------------------|------------------------|
| C1 - condensator cu TANTAL | 10 µF/35 V |
| C2 - condensator ceramic | 560 pF/25 V |
| C3 - condensator ceramic | 10 pF/100 V |
| C4 - condensator mylar | 10 nF/100 V |
| C5 - condensator electrolitic | 100 µF/63 V (EG 6100) |
| C6 - condensator electrolitic | 100 µF/63 V (EG 6100) |
| C7 - condensator mylar | 0,1 µF/250 V |
| C8 - condensator mylar | 0,1 µF/250 V |
| C9 - condensator mylar | 0,1 µF/250 V |
| C10 - condensator electrolitic | 4700 µF/63 V (EG 7600) |
| C11 - condensator electrolitic | 4700 µF/63 V (EG 7600) |

Sigurante fuzibile

| |
|------------|
| F1 - 3,1 A |
| F2 - 6 A |
| F3 - 3,1 A |

BIBLIOGRAFIE

1. JOHN MARCUS - ELECTRONIC CIRCUITS MANUAL - Mc. Graw Hill Book Company - 1981
2. NAICU S., MARIAN E. - 101 MONTAJE PRACTICE DE AMPLIFICATOARE AUDIO DE PUTERE - Editura NATIONAL - 1998
3. *** Revista WIRELESS WORLD - 1988
4. *** Colecția revistei TEHNIMUM - 1980 2000

Diode

D1 - 1N4148

Se știe că majoritatea plăcilor audio de calculatoare, fie integrate sau nu pe placă de bază, oferă o intrare de linie (LINE IN), una de microfon și o ieșire stereo.

Deseori se dorește folosirea intrării de microfon la realizarea unor înregistrări, mai ales de către cei care vor să "facă" muzică cu ajutorul computerului. Aceasta poate fi o problemă, deoarece intrarea de microfon prezintă la mai toate plăcile un raport semnal/zgomot foarte slab, acest lucru reflectându-se în înregistrările făcute. De asemenea, nu se pot utiliza microfoane de calitate dotate cu "Phantom Power". De cele mai multe ori se recurge la achiziționarea unor plăci de peste 200 de dolari, plăci profesionale chiar cum sunt cele din seria DELTA, care pot oferi performanțele necesare.

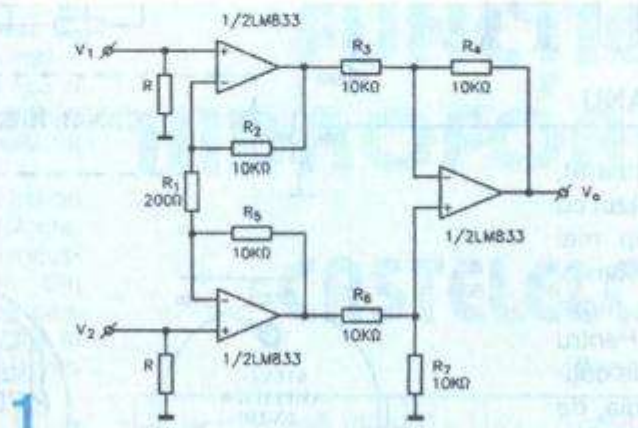
Însă mai este o posibilitate. Se știe că intrarea de linie oferă un raport semnal/zgomot mult mai bun. Cu ajutorul unui preamplificator de calitate conectat la intrarea de linie, înregistrările de microfon se vor îmbunătăți considerabil.

Schema preamplificatorului este dată în figura 1.

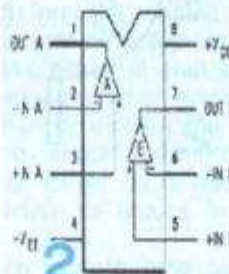
Preamplificatorul este realizat cu circuitul LM833 produs de National Semiconductor. Performanțele sale sunt foarte bune în comparație cu LM381 sau LM387, nereușind însă să le depășească pe cele ale circuitelor de la divizia Burr-Brown de la Texas Instruments (OPA2604, 285). Pentru o bună rejetie se vor lua valorile $R_2=R_5$, $R_3=R_6$, $R_4=R_7$. Valoarea rezistenței R se va lua de $10k\Omega$. Cu $R_1=200\Omega$, amplificarea este de circa 100. Se vor utiliza 3 operaționale pentru realizarea montajului stereo. Se vor utiliza câte două capacitive de decuplaj, montate pe fiecare ramură

ADAPTOR pentru PLACA AUDIO

Elev Florin GOGIANU



1



2

a alimentării ($\pm 15V$), unul nepolarizat de 100 nF și unul electrolitic de $47\text{ }\mu\text{F}$, ambele la 63V .

Capsula circuitului LM833 este prezentată în figura 2.

Performanțele montajului sunt date aproape în exclusivitate de operational. Acesta are distorsiuni reduse (0,002%), banda de frecvență de 10MHz, viteza de variație a tensiunii $7\text{V}/\mu\text{s}$, zgomot redus.

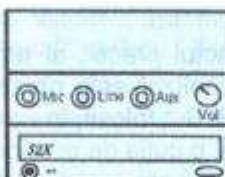
Pentru alimentare se va utiliza un transformator de $2 \times 16\text{V}$, 500mA , două stabilizatoare de 15V (pozitiv și negativ) și două celule

de filtraj de minimum $3300\text{ }\mu\text{F}/25\text{V}$.

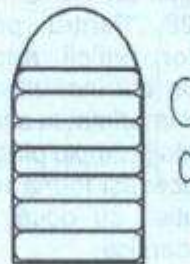
Se poate realiza și un adaptor care să transforme tensiunea de 12V a sursei computerului în tensiune diferențială, astfel întreg montajul va putea fi amplasat în carcasa calculatorului, însă cu ecranare corespunzătoare a cablajului și a conductoarelor de semnal mic.

În continuare este prezentată o variantă de plasare a mufelor pe carcasa calculatorului (fig. 3). Pentru aceasta se pot utiliza lăcașele de 5,25 inch destinate CD-ROM-ului sau DVD Player-ului. În acest spațiu se va așeza de fapt întreg montajul. Mufele se vor așeza în funcție de nevoie utilizatorului, astfel improvizându-se un "drive-by" extern care însordește plăcile audio performante, dar care sunt și foarte scumpe. Avantajul plasării mufelor pe carcasa este evident pentru cei care fac diferite înregistrări pe calculator și care trebuie să umble tot timpul în spate, la mufele plăcii audio. Caburile ecranate se vor scoate în spate, prin spațiul care ar trebui folosit de un card de extensie, sau se va face o gaură în carcăsa.

ATENȚIE! Montajul nu poate fi realizat de cei care au calculatorul în garanție deoarece orice schimbare în carcăsa duce la pierderea garanției.



3



AMPLIFICATOR DE SUNET STEREO PENTRU PC

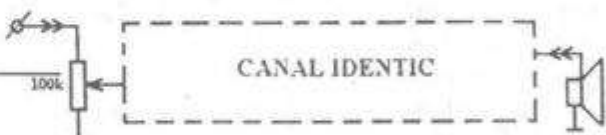
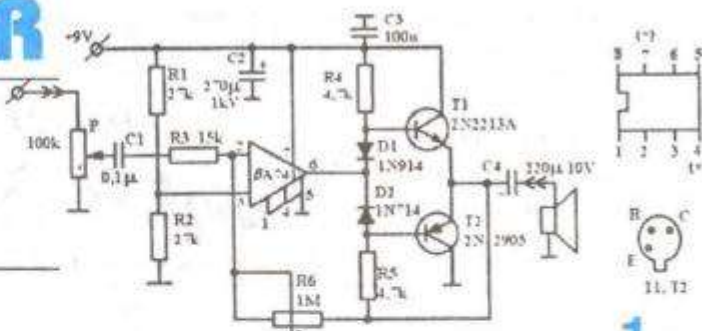
Elev Radu UNGUREANU

PC-ul pe care l-am cumpărat, "Second Hand", este prevăzut cu o placă de sunet (de tip mai vechi, evident) cu ieșire stereo, dar numai în căști de mare impedanță și mică putere. Pentru a putea folosi două boxe de către wați, în care să pot audia, de pe CD-uri, muzica preferată, am realizat un amplificator de putere de AF cu două canale.

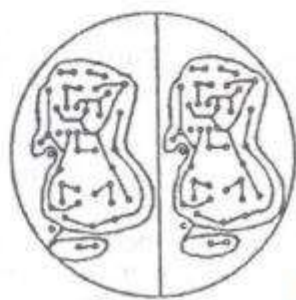
Schema de principiu este prezentată în figura 1. Este vorba de două canale de amplificare clasice, fiecare format din câte un CI tip β A741N și o pereche de tranzistoare complementare finale de tip 2N2219A și 2N2905.

Semnalul AF stereo de la placa de sunet este adus prin intermediul unui conector coaxial stereo tată, prin trei conductoare, la cele două potențiometre (P) de intrare, cu ajutorul cărora se realizează balansul sunetului în cele două boxe (stânga-dreapta). Ieșirile din amplificatoarele finale se realizează prin condensatoarele C4 și două perechi de conexoare mono, mamă și tată, de cablu (ale boxelor).

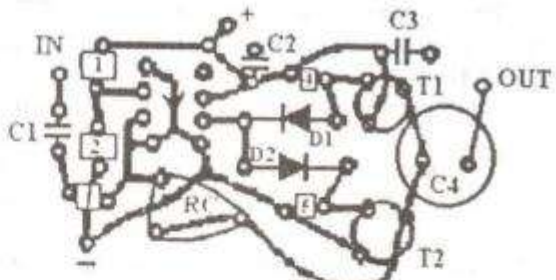
Amplificatorul se alimentează cu +9V (tot prin intermediul unei perechi de conexoare mono) de la un alimentator universal portabil, folosit pentru radioreceptoare și casetofoane.



2



3



4

Aspectul practic al amplificatorului realizat este prezentat în figura 2. S-a folosit, în calitate de carcăsă, o cutie de medicamente din polistiren cu dimensiunile $\varnothing 78 \times h28$. Pentru practicarea diferitelor orificii rotunde s-a folosit un cui încălzit la aragaz. Circuitul imprimat la scara 1:1 pe sticlotextolit simplu placat (figura 3) are aceeași formă rotundă ca și a cutiei, cu două grupe de trasee identice.

În figura 4 se prezintă modul de echipare a unui canal de amplificare (celălalt fiind identic).

Pentru reglajul amplificatorului este nevoie de un generator de AF și un osciloscop catodic, dar cum se întâmplă în cadrul construcțiilor de amatori, nu neapărat. Reglajul cu ajutorul potențiometrului trimer R6 este hotărât.

S-a spus în repetate rânduri și cu diferite ocazii că agricultura și industria alimentară din țară sunt energofoage. În simpozioane și sesiuni de comunicări științifice organizate de ASAS sau de institute de cercetare, precum și în mass-media, specialiști din domeniu au arătat că pe unitatea de produs se consumă de 2,5-3 ori mai multă energie electrică decât în unele țări dezvoltate.

Un exemplu de consum nejustificat, iar în unele cazuri chiar irațional, îl constituie castelele de apă și hidrofoarele din fermele și unitățile cu profil agricol, zootehnic sau de industrie alimentară.

Și în prezent sunt în țară mii de castele de apă și sute de hidrofoare, care alimentează unități agroindustriale, fermec, sate și comune. Din zecile de castele de apă pe care autorul a avut ocazia să le vadă în cei peste 40 de ani de activitate, nici unul nu era automatizat.

În unele cazuri, din păcate și cele mai puține, conducerea unității numea un salariat (de regulă pe electrician sau un paznic) să se ocupe de funcționarea castelului de apă sau a hidroforului. Acesta pornea pompa electrică de alimentare cu apă și în momentul când apa începea să curgă din castel pe la "prea plin" o oprea. Atunci când apa din bazinul castelului era pe termenite se repornea tot manual elec-tropompa. Teoretic acest mod de procedură era corect, dar în practică el nu se respecta. De cele mai multe ori, surplusul de apă, timp de ore, uneori chiar zile, era deversat la canalizare. La cele mai multe, o dată pornită pompa de apă, aceasta nu se mai oprea decât în cazul defec-tării sau când se curăță bazinul de impurități. Cum o astfel de pompă (de regulă de tip HEBE) are o putere de 7 kW, în 24 de ore consumă 168

ECHIPAMENT pentru AUTOMATIZAREA FUNCȚIONĂRII HIDROFOARELOR și CASTELELOR de APĂ

Prof. dr. ing. Sorin PISCATI

kWh, iar într-o lună $168 \times 30 = 5140$ kWh. Dacă înmulțim această cifră cu miiile de castele de apă și hidrofoare și cu costul actual al unui kWh se obțin niște consumuri enorme de sute de miliarde de lei anual.

Printr-o simplă automatizare, care costă în jur de 1 milion lei, acest consum se reduce în medie de 24 de ori.

Cu alte cuvinte este suficient, chiar și în cele mai deficitare situații, ca pompa electrică să funcționeze numai o oră, pentru a acoperi consumul de apă al unității pe 24 de ore.

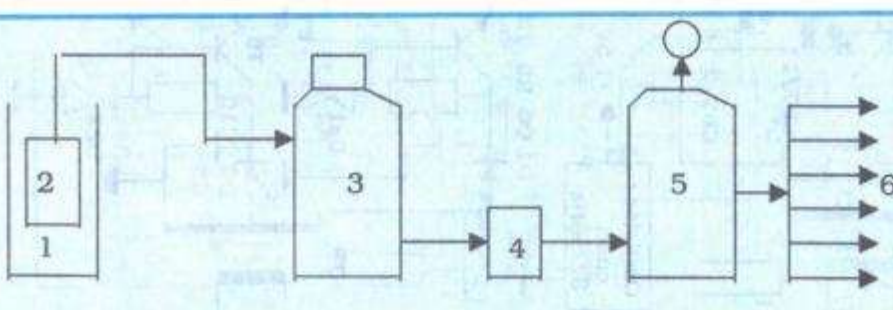
Este adevărat că în documentația de fabricație este prevăzut un dispozitiv cu plutitor și cabluri, destinație să opreasă și să pornească pompa castelului de apă atunci când este necesar. Acest dispozitiv este însă nepractic, uzat moral și nu funcționează nicăieri. Dacă este

montat, în scurt timp ruginește și se blochează. Din această cauză, la montarea majorității castelelor de apă nici nu a fost luat în considerare.

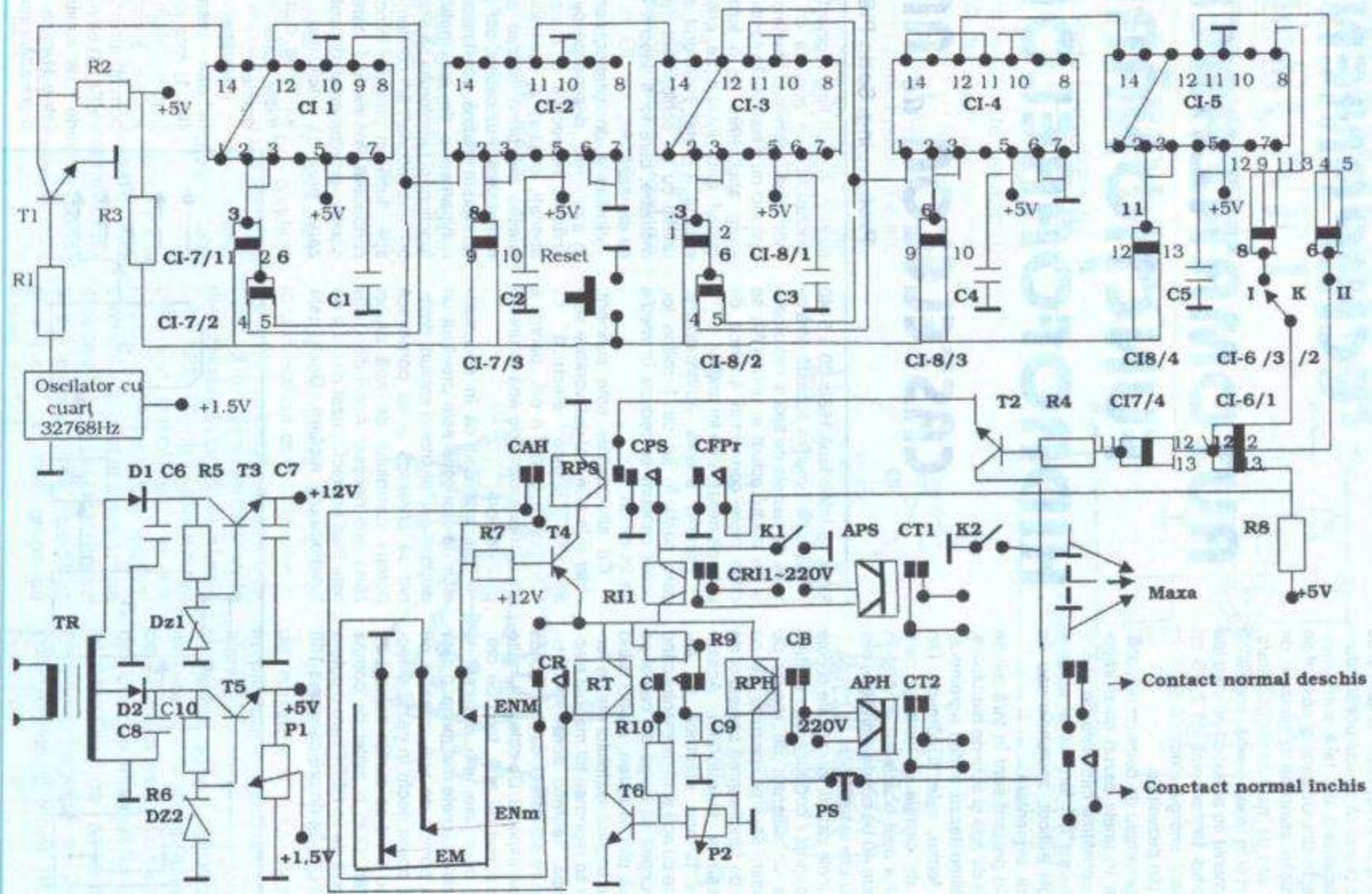
În anul 1999, la o fermă din cadrul unui institut de cercetare, autorul a dotat hidroforul acestei unități cu un echipament de automatizare, care va fi descris în cele ce urmează.

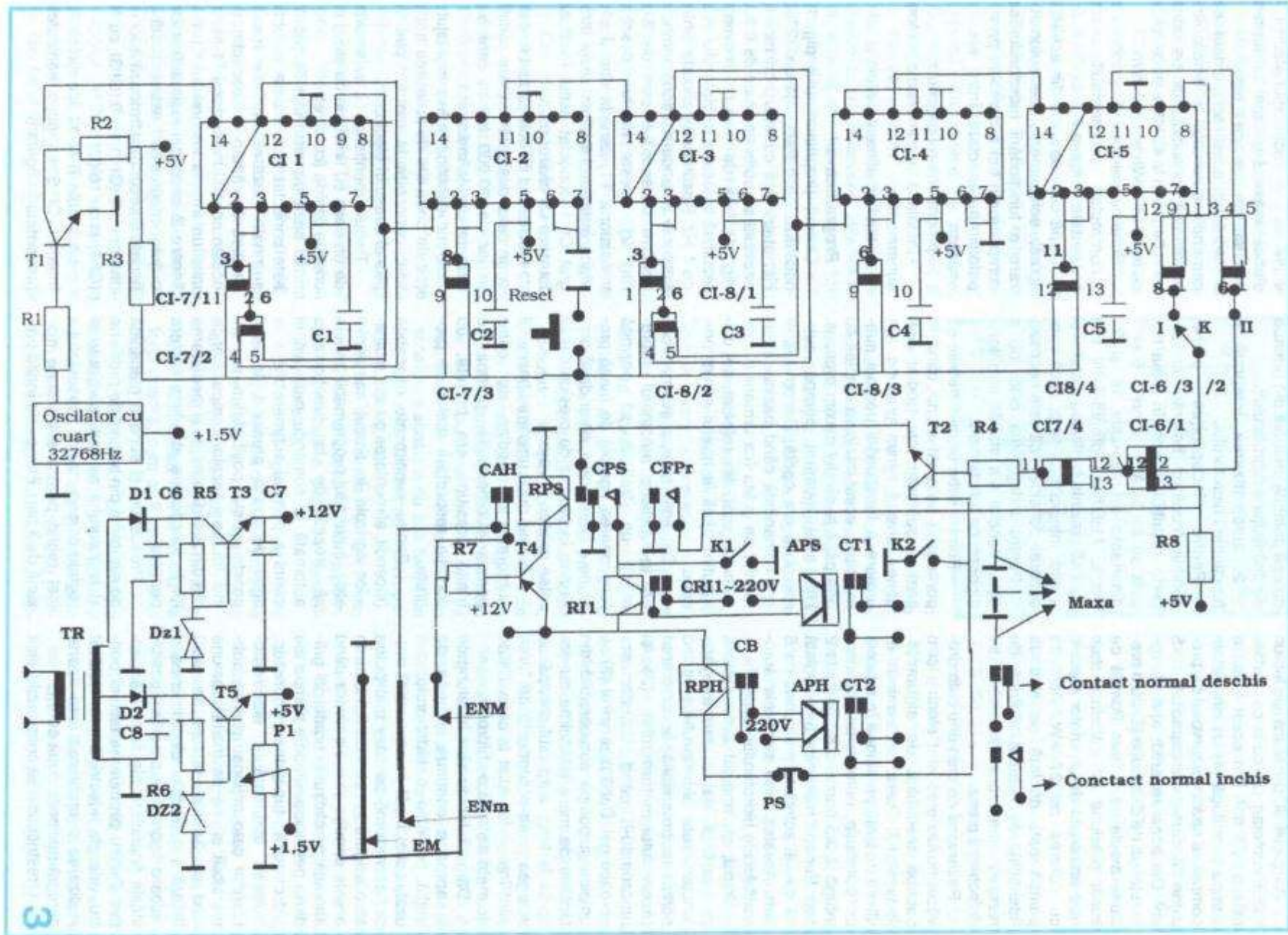
Instalația de hidrofor, construită în anul 1948, deservește pe lângă unitatea respectivă și o serie de abonați, angajați ai acesteia. Cum aceștia din urmă utilizau apă nu numai pentru uz casnic, dar și pentru udat în grădină, a fost necesar ca echipamentul de automatizare a funcționării hidroforului să aibă posibilitatea rationalizării consumului de apă, după un program întocmit de conducere. Prin modul în care a fost gândit, echipamentul de automatizare prezintă facilitatea de a funcționa după mai multe astfel de programe.

Instalația de hidrofor respectivă (fig. 1) este alcătuită în principal din următoarele ansambluri: pompă electrică tip HEBE (1) cu o putere de 7 kW, submersată într-o fântână (2) de mare adâncime.



1





Pompa HEBE debitează apa într-un bazin subteran (3) cu o capacitate utilă de 25 m³. Din acest bazin o pompă centrifugă (4) cu cinci etaje pompează apa în rezervorul de presiune (5), care are o capacitate de 5 m³. Din acest rezervor apa ajunge în rețeaua de distribuție (6) cu o presiune medie de 3 barr. Pompa de înaltă presiune (4) cu cinci etaje este antrenată de un motor electric cu puterea de 27 kW. Această pompă este dublată de a doua (identică), de rezervă. Pompa de rezervă lucrează numai când se defectează prima.

Rezervorul de presiune este prevăzut cu un presostat electric și o supapă mecanică de siguranță. Presostatul, care determină în ultimă instanță presiunea în rețeaua de distribuție, oprește pompa centrifugă la 3,5 barr și o pornește la 2 barr. Supapa mecanică este reglată să devină activă la presiunea de 5 barr. Acestea erau singurele automatizări ale hidroforului respectiv.

Înțial, un angajat avea sarcina permanentă de a supraveghea funcționarea hidroforului, oprind pompa submersibilă la umplerea rezervorului intermediar (3) și repornindu-l când acesta era aproape gol. Dacă rezervorul (3) se umplea și pompa submersibilă din fântâna de mare adâncime nu era opriță la timp, surplusul de apă se scurgea printr-o conductă de "prea plin" într-un lac aflat la câteva sute de metri distanță de hidrofor.

Datorită funcționării îndelungate și aproape continue, pompa de înaltă presiune a hidroforului s-a uzat, astfel încât în anul 1999 presiunea maximă pe care mai putea să o asigure era de cca 2,5 barr. În aceste condiții, mai ales vara când abonații practicau și udatul în grădinile personale, ambele pompe ale hidroforului funcționau nonstop. Puterea însumată a electromotorilor care acționau pompa submersibilă și cea de înaltă presiune fiind de 34 kW, factura de plată lunară a curentului electric avea o valoare enormă în raport cu posibilitățile financiare ale firmei respective. Pentru diminuarea facturii pentru energia electrică s-a hotărât realizarea și montarea unui aparat care să realizeze două cerințe:

1. restricționarea consumului ilicit

de apă potabilă preluată din rețeaua de distribuție a hidroforului;

2. automatizarea integrală a funcționării hidroforului.

Pentru îndeplinirea primei condiții (conform hotărârii conducerii), distribuirea apei în rețea trebuia să se facă între orele 6 și 9 dimineață și respectiv 18 și 21 seara. Automatul programabil trebuia să prezinte facilitatea stabilirii și a altor intervale de timp, dacă conducederea consideră că este necesar.

Pentru îndeplinirea celei de a doua condiții s-a stabilit următorul algoritm de funcționare:

- Pompa submersibilă trebuie să pornească automat atunci când în bazinul subteran intermediar apa atinge nivelul minim prescris. Ca urmare a funcționării pompei submersibile, acest bazin se umplea cu apă până la nivelul maxim prescris. Din acel moment pompa submersibilă era opriță. Repornirea ei era comandată când bazinul intermediar se golea (ca urmare a consumului apei din rețeaua de distribuție) până la nivelul minim prescris.

- Cât timp pompa submersibilă era în funcțiune, automatul programabil nu trebuia să permită funcționarea pompei de înaltă presiune a hidroforului, chiar dacă presiunea în bazinul de presiune și în rețea scădea la zero.

- Numai după umplerea bazinului subteran intermediar de către pompa submersibilă, pompa de înaltă presiune era pornită, cu condiția respectării orelor de program.

- Pentru evenimente deosebite (incendii, alimentarea cu apă a utilajelor agricole în timpul campaniei etc.), automatul programabil trebuie să treacă de la funcționarea automată la comanda manuală și invers a pompei submersibile și a celei de înaltă presiune. În felul acesta există posibilitatea pornirii individuale a acestor pompe la orice oră din zi și din noapte și menținerea lor în funcționare atât timp cât era necesar.

Presostatul și supapa mecanică de siguranță din bazinul de presiune al hidroforului au fost menținute și reglate corespunzător. Presostatul a fost reglat pentru o presiune maximă de 3 barr. Pompa de înaltă pre-

siune a fost recondiționată, presiunea maximă a apel la ieșirea acesteia fiind de cca 6 barr.

Montând acest echipament de comandă automată a funcționării hidroforului, consumul zilnic s-a redus de la 648 kWh la 42 kWh, iar cel lunar de la 19440 kWh la 1260 kWh.

Schema electrică de principiu a automatului programabil este prezentată în figura 2.

După cum se vede din această figură, echipamentul de automatizare a funcționării hidroforului se compune din trei ansambluri principale interconectate între ele, și anume:

- programatorul propriu-zis;
- instalația de comandă a pompei submersibile;
- etajul de alimentare.

Programatorul

Ceasul programatorului (fig. 2) oscilează pe o frecvență de 32768 Hz, stabilizată cu cuarț. La ieșirea acestuia se obțin semnale de 0,9 V (fig. 4) față de masă. Frecvența rezultată la ieșirea oscillatorului este de 1 Hz. Rezultă că perioada dintre fronturile anterioare a două semnale pozitive consecutive este de 2 s (fig. 2). Aceste fronturi deschid tranzistorul T1, care la rândul său atacă intrarea 14 a circuitului integrat CI 1 conectat astfel încât să formeze un divisor cu 3.

Oscillatorul cu cuarț a fost luat de la un ceas deșteptător (care constă în jur de 30.000 lei) la care s-a defectat parte mecanică.

S-au identificat masa montajului și cele două fire de la ieșirea acestuia, conectate la motorul pas cu pas al ceasului electronic.

Trebuie menționat că este vorba de un ceas cu limbi, nu cu afișaj cu cristale lichide (cu cifre).

În baza tranzistorului T1 (fig. 2) este conectat firul la care se obțin semnale pozitive față de masă. Celălalt fir rămâne neconectat. În aceste condiții tranzistorul T1 transmite un impuls integratorului CI 1 la fiecare 2 secunde. Îeșirea 9 a circuitului integrat CI 1 este activată la fiecare 6 secunde. Urmează apoi un divisor cu 5 (CI 2), cu 9 (CI 3), cu 10 (CI 4) și cu 16 (CI 5).

La ieșirile 8 și 11 ale circuitului integrat CI 5 se obțin semnalele prezentate în figura 5.

Instalația de comandă a funcționării pompei submersibile

Montajul de automatizare este realizat în jurul tranzistorului T4 și al releeului RPS. Acesta din urmă este prevăzut cu grupurile de contacte CAH, CPS și CFPr.

Comanda montajului este determinată de nivelul apei în bazinul subteran intermediar, bazin în care sunt introdusi electrozi metalici EM, ENM și ENm. Acești electrozi sunt din sărmă de oțel cu diametrul de Ø6-Ø8 mm. Preferabil este ca aceștia să fie din inox. În nici un caz nu se va utiliza cuprul, alama, bronzul sau aliajele de aluminiu. Cuprul, alama și bronzul coclesc și pot otrăvi apa.

Cei trei electrozi vor fi prinși (cu filet și piuliță) la o bară din material plastic izolant (polietilenă, sticlotextolit, ebonită etc.) la distanță de 150 mm unul de celălalt. Suportul va fi fixat la partea superioară a bazinului, ferit de umezeală. Se va urmări ca el să nu fie stropit de apa trimisă de pompa submersibilă în bazin.

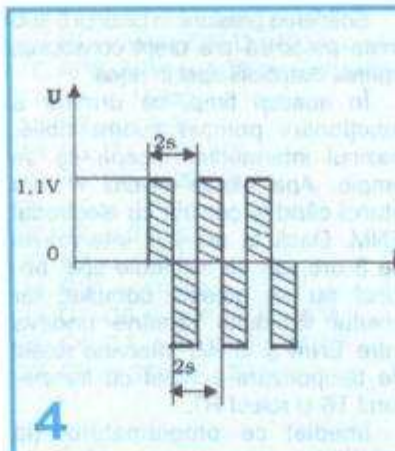
Etajul de alimentare

Elementul principal îl constituie transformatorul TR al căruia primar este conectat la rețea, 220 Vc.a., dacă aceasta este monofazică și 380 Vc.a. dacă se preferă cea trifazică.

Cel mai bine este ca primarul transformatorului TR să fie conectat între o fază a rețelei și linia de pământ a instalației. În acest caz, dacă priza de pământ este necorespunzătoare, funcționarea hidroforului nu este posibilă. Astfel este îndeplinită o condiție importantă referitoare la tehnica securității muncii.

Transformatorul TR alimentează prin secundarul său două redresoare, în compunerea cărora intră tranzistoarele T3 și T5. Redresorul stabilizator echipat cu tranzistorul T5 alimentează circuitele integrate la tensiunea de +5V. Al doilea redresor stabilizator alimentează cu o tensiune de 12 Vc.c. celelalte etaje ale montajului. În primarul transformatorului TR este bine să fie inserat un întretrerupător astfel încât funcționarea instalației să poată fi oprită manual atunci când este necesar.

Se recomandă ca la ieșirile de



4

+5V sau +12Vc.c. să fie cuplată prin intermediul unei rezistențe inseriate de $1\text{ k}\Omega/0,5\text{ W}$ o diodă electroluminiscentă (LED) de culoare verde. Această diodă electroluminiscentă, montată pe panoul frontal al carcasei instalației ca în figura 2, indică starea de funcționare a aparatului de automatizare.

Funcționarea Instalației

Să presupunem că în stare inițială bazinul intermediar și rezervorul de presiune al hidroforului sunt goale. Dacă se dorește ca distribuirea apei să se facă pe o perioadă de 3 ore, urmată de o pauză de 9 ore, se comută comutatorul K pe poziția I. Dacă acest comutator se poziionează pe II, atunci durata distribuirii apei va fi de 6 ore, urmată de o pauză egală ca durată. În ambele cazuri acest ciclu se repetă automat până la oprirea aparatului de automatizare prin scoaterea acestuia de sub tensiune sau până la acțiunea întretrerupătoarelor K1 și K2.

Prin închiderea lui K1 se comandă manual funcționarea pompei submersibile până la deschiderea acestuia.

La fel și pentru K2, care comandă pompa de înaltă presiune a hidroforului și deci distribuirea apei pe rețea abonaților.

Aceste două întretrerupătoare K1 și K2 se acționează numai în caz de fortă majoră, cum ar fi apariția unui incendiu.

Să presupunem că se dorește distribuirea apei de la ora 6 la ora 9 și de la ora 18 la ora 21. Așa cum am spus, inițial se comută K pe poziția I. Se pune apoi instalația sub ten-

siune numai la ora 6 sau 18 și se apasă imediat pe butonul RESET circa 1 secundă. Apăsându-se pe acest buton se aduce numărătorul în poziția zero (inițială), astfel încât numărătoarea impulsurilor începe la ora 6 (sau 18), oră la care a fost apăsat butonul RESET.

Imediat după punerea sub tensiune a instalației de automatizare începe să funcționeze pompa submersibilă, datorită faptului că tranzistorul T4, având baza nepolarizată direct (baza lui este "în aer") nu activează reul electromagnetic RPS (fig. 2) și în consecință contactul său RPS rămâne în poziția "normal închis". În această situație, reul intermediar R1 este activat și prin contactele sale CRT1 pune sub tensiune bobina reului APS. Ca urmare, contactele trifazate CT1 se închid și este pusă în funcționare pompa submersibilă 2, din fântâna de mare adâncime 1 (fig. 1).

Nivelul apei în bazinul intermediar începe să crească și după cca 40-50 minute, apa atinge electrodul de nivel maxim ENM (fig. 2).

În acel moment, tranzistorul T4 se deschide și activează RTS. Aceasta închide contactul normal deschis CAH și deschide contactul normal închis CFPr. În același timp, prin închiderea contactului normal deschis CPS pune la masă emitorul tranzistorului T2.

Prin deschiderea contactului CPS normal închis, reul R1 se dezactivează și scoate de sub tensiune înfășurarea automatului CT1 de comandă a pompei submersibile. În consecință, debitarea apei în bazinul intermediar 3 (fig. 1) încetează.

Din acest moment se deschide tranzistorul T2, a căruia bază este polarizată direct de către programator (fig. 2) prin portile integratorelor CI 6/1 și CI 7/4. Reul RPH devine activ și prin închiderea contactului său CB pune sub tensiune înfășurarea automatului ATS de comandă a pompei de înaltă presiune 4 (fig. 1), care începe să tragă apa din bazinul intermediar 3 și să o introducă în rezervorul de înaltă presiune 5.

Din acest moment începe distribuirea apei pe rețea. Presiunea în rezervorul 5 crește până la valoarea de 3,5 barr, când presostatul oprește pompa 4 (fig. 1) prin

deschiderea contactului său PS (fig. 2). Apa continuă să fie împinsă pe rețea datorită presiunii aerului din partea superioară a rezervorului 5 (fig. 1).

Când presiunea scade la 2 barr, presostatul repornește pompa și ciclul se repetă pe toată durata (3 ore) cât temporizatorul permite distribuirea apei.

Se menționează că la prima pornire (prin punerea sub tensiune a instalației de automatizare) durata de distribuire de 3 ore este mai scurtă cu 45-50 minute. Ulterior ciclul de 3 ore distribuție, 9 ore pauză se respectă.

Ca urmare a funcționării pompei de înaltă presiune, bazinul intermediu începe să se golească și la un

scădere presiunii în bazinul 5 sub limita prescrisă are drept consecință oprirea distribuirii apei în rețea.

În același timp, ca urmare a funcționării pompei submersibile, bazinul intermediu începe să se umple. Apa atinge nivelul maxim atunci când ia contact cu electrodul ENM. Dacă la sfârșitul intervalului de 3 ore, cât se distribuie apa, bazinul nu se golește complet, iar nivelul lichidului rămâne undeva între ENM și ENm, intervine releul de temporizare echipat cu tranzistorul T6 și releul RT.

Imediat ce programatorul (la sfârșitul celor trei ore de funcționare) dezactivează releele RPH și APH oprind pompa de înaltă

La umplerea rezervorului intermediu, prin intrarea în imersie a electrodului de nivel maxim ENM, tranzistorul T4 se deschide, oprind funcționarea pompei submersibile.

În rezumat, ciclul de funcționare a schemei electrice prezentate în figura 2 este următorul:

1. Distribuirea apei în rețea se face timp de 3 ore, urmată de o pauză de 9 ore, cu condiția ca bazinul intermediu, la întreruperea ciclului de funcționare, să fie plin până la atingerea nivelului maxim prescris (electrodul ENM în contact cu apa din bazin);

2. Urmează o perioadă de distribuire a apei în rețea abonaților, timp de 3 ore;

3. În această perioadă pompa de înaltă presiune 4 (fig. 1) a hidroforului poate fi oprită și respectiv pornită de presostatul din dotare, atunci când presiunea în bazinul 5 variază între 3,5 și 2 barr;

4. După trei ore de funcționare, pompa 4 (fig. 1) este oprită, iar cea submersibilă 2 pornită, indiferent de nivelul apei din bazin;

5. La umplerea bazinului, pompa submersibilă este oprită;

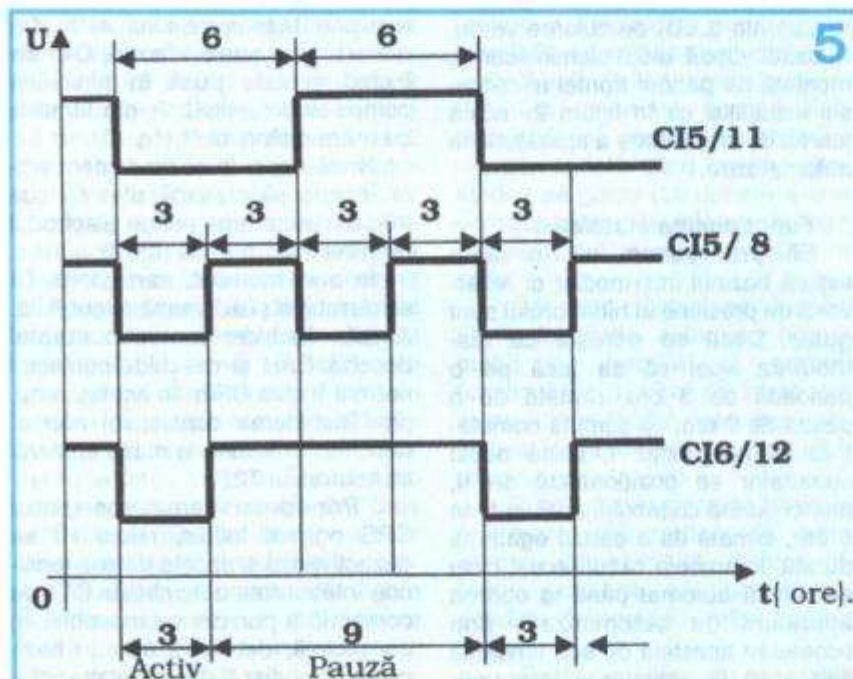
6. Urmează o pauză între două distribuiri consecutive de 9 ore, după care ciclul se repetă;

7. Pompa submersibilă și cea de înaltă presiune pot fi pornite independent, în orice moment, prin închiderea manuală a întrerupătoarelor K1 și K2 (fig. 2);

8. Prin poziționarea comutatorului K pe contactul II, ciclul de funcționare cuprinde 6 ore de distribuire a apei pe rețea, urmate de 6 ore pauză.

În figura 3 este prezentată o variantă a instalației. Funcționarea este asemănătoare, singura deosebire constând în faptul că schema electrică (din figura 3) permite reluarea funcționării pompei submersibile 2 (fig. 1) numai după golirea completă a bazinului intermediu 3, atunci când electrodul de nivel minim ENmiese complet din imersie. Schema prezintă avantajul că toată apa din bazinul intermediu este primenită periodic, dar are dezavantajul că, în anumite cazuri de urgență, bazinul poate să fie numai parțial umplut.

Aceste scheme, prezentate în figurile 2 și 3, pot fi utilizate fără nici o rezervă și la automatizarea



moment dat electrodul de nivel maxim ENM ieșe din imersiune. Tranzistorul T4 continuă să rămână deschis și releul RPS (fig. 2) activat deoarece contactul CAH de automenținere este închis. Acest contact care cuplează electric electrodul de nivel maxim ENM cu cel de nivel minim ENm continuă să rămână închis până când apa din bazin atinge nivelul minim admis și electrodul ENm ieșe complet din imersie. În acel moment, tranzistorul T4 se închide și prin activarea în final a releului RT 1, pornește pompa submersibilă 2 și o oprește pe cea de înaltă presiune 4 (fig. 1).

presiune, contactul C trece pe poziția normal închis. Datorită condensatorului C9, tranzistorul T6 se deschide timp de 1-2 secunde, activând releul RT. Contactele CR se deschid și pentru perioada de timp amintită (1-2 secunde) întrerup legătura între ENM și ENm. Tranzistorul T4 nemaiînă polarizat direct în bază se închide, dezactivând releul RTS. Drept urmare contactul de automenținere se deschide, iar CPS și CEPr se închid. CPS pornește pompa submersibilă, iar CEPr blochează accesul semnalelor programatorului spre tranzistorul T2.

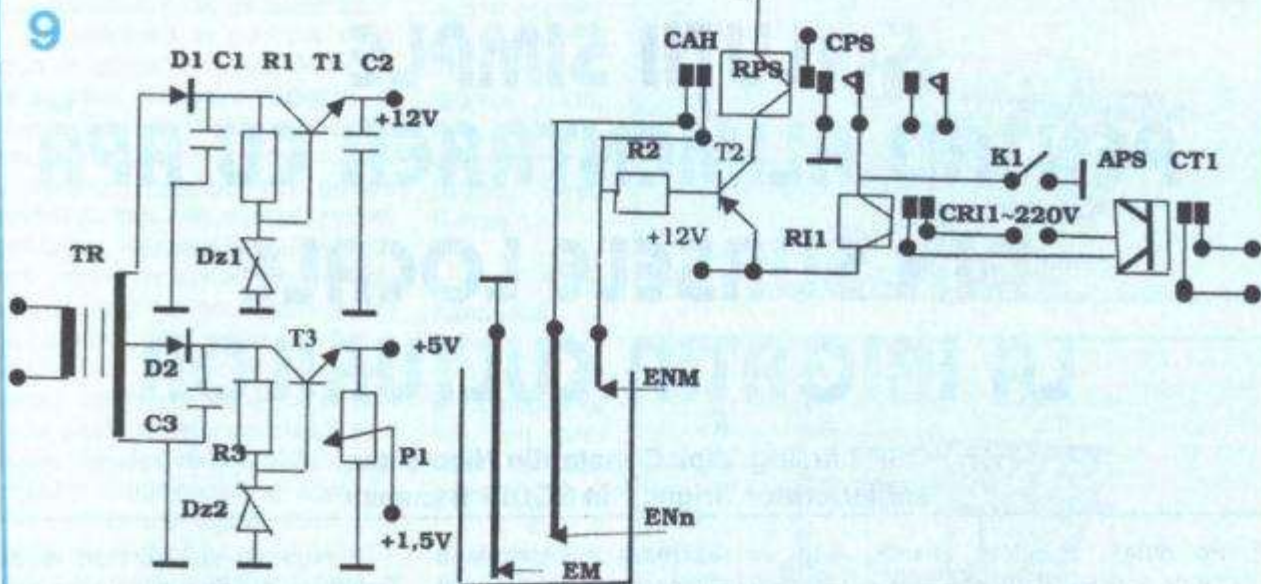
funcționării instalațiilor electrice ale castelelor de apă. Pentru cazurile în care distribuirea apei nu reprezintă o problemă, se poate utiliza schema electrică de principiu a instalației de automatizare prezentată în figura 6. Fiind o parte din schemele prezentate în figurile 2 și 3, nu mai este necesar să îl fie descrisă funcționarea. Cu această aparatură (fig. 6) se poate comanda numai pompa submersibilă. În cazul majorității castelelor de apă este suficientă numai această aparatură întrucât apa ajunge gravitațional în rețeaua de distribuție, nemaifiind necesară o altă pompă, în afara celei submersibile.

15. RI → relee REED / 12 Vc.c.
16. APS; APH → AC3 sau echivalent
17. R1 → 15 kΩ
18. R2 → 1 kΩ
19. R3; R4 → 200 Ω
20. R5; R6 → 220 Ω
21. R7 → 47 kΩ
22. R8 → 330 Ω
23. R9 → 100 Ω
24. R10 → 10 kΩ
25. C1+C5 → 100 nF / 100 V
26. C6; C7 → 1000 μF / 25 V
27. C8 → 220 μF / 25 V
5. CI 7; CI 8 → CDB 400
6. T1 → BC 107 B
7. T2; T3; T5; T6 → BD 139
8. T4 → BD 138
9. RPS; RT; RPH → RT 13/12V
10. APS; APH → AC 3 sau echivalent
11. D1; D2 → 1N 4001+1N 4007
12. DZ 1 → PL 12 Z
13. DZ 2 → PL 5 V 6 Z
14. C1; C2; C3; C4; C5 → 100 nF / 100V
15. C6; C7 → 1000 μF/25V
16. C8 → 2200 μF/25V
17. P1 → 10 kΩ (liniar)
18. R1 → 15 kΩ
19. R2; R4 → 1kΩ
20. R3; R5; R6 → 220Ω
21. R7 → 47 kΩ
22. R8 → 330 Ω

Notă

1. Toate rezistoarele sunt chimice, de 0,5 W

9



**Lista de piese
(figura 2)**

1. CI; CI 3; CI 5 → CDB 493
2. CI 2; CI 4 → CDB 490
3. CI 6 → CDB 410
4. CI 7; CI 8 → CDB 400
5. T1 → BC 107 B
6. T2; T3; T5; T6 → BD 139
7. T4 → BD 138
8. D1; D2 → 1N 4001+1N 4007
9. DZ 1 → PL 13Z+PL 15Z
10. DZ 2 → PL 5 V6Z
11. P1 → 10 kΩ (liniar)
12. P2 → 100 kΩ (liniar)
13. TR → trafo rețea (P = 15÷20 VA)
14. RPS; RI 1; RPH → RI 13/12 Vc.c.

2. Condensatoarele electrolitice vor fi legate cu borna de minus la masă

3. Puterea diodelor Zenner va fi de 1 W
4. Se pot utiliza și relee RI 13/24 Vc.c. (sau echivalente), cărora li se va slăbi arcul de readucere a armăturii mobile

**Lista de piese
(figura 3)**

1. TR → trafo rețea
2. CI 1; CI 3; CI 5 → CDB 493
3. CI 2; CI 4 → CDB 490
4. CI 6 → CDB 410

**Lista de piese
(figura 6)**

1. TR → trafo rețea 15 VA / 220 V / 5 V / 12 V
2. T1; T3 → BD 139
3. T2 → BD 138
4. D1; D2 → 1N 4002+4007
5. DZ 1 → PL 12 Z
6. DZ 2 → PL 5 V 6 Z
7. C1; C2 → 1000 μF/25V
8. C3 → 2200 μF/25V
9. R1; R3 → 220 Ω
10. R2 → 47 kΩ
11. P1 → 10 kΩ
12. APS ⇒ AC 3 sau echivalent

1) Considerații privind tehnica irigației

Irigația reprezintă măsura tehnică de atenuare a variabilității și diminuării nivelului de producție specific potențialului genetic al solului, generat de deficitul hidric din sol (secete pedologice), printr-un aport controlat și dirijat de apă, complementar precipitațiilor.

Irigația este o verigă tehnologică în agrotehnologia plantelor, care se aplică de regulă într-un interval denumit sezonul de irigație (mai-august), care la rândul său este inclus în perioada de vegetație a plantelor sau plantelor cultivate. Perioada de vegetație a unei plante de cultură reprezintă intervalul dintre datele semănăturii și recoltă-

În acest scop, trebuie să se cunoască cerințele de apă (consumul total lunar de apă din sol al plantei) și sursele de acoperire [precipitațiile lunare, rezerva inițială de apă a solului - în momentul semănăturii - și, eventual, aportul freatic (exprimat ca volum specific în m^3/ha) pentru terenurile situate în luncă și cu apă freatică la distanță redusă - de maxim 1,20 m - de cota terenului].

2) Interrelația utilaj de alimentare - sursă locală de irigație

Soluțiile tehnice care se prezintă tratează alimentarea cu apă în scop de irigație printr-o familie de dispozitive de tip fix, semifix (fix pe sezonul de irigație) sau mobil, prin

în aceste situații, suprafețele posibil de irigat sunt mici, în funcție de cerințele de apă ale plantei, caracteristicile sursei, performanțele utilajului de alimentare și ale instalației de udare. Dacă în luna cu consum maxim de apă de irigație, acestea suprafete sunt mici (circa 1-3 ha), acestea pot crește (până la triplare) în sezonul de irigat, pentru o structură și/sau o succesiune de culturi favorabilă utilizării [de exemplu, pentru udarea culturilor în următoarea ordine: legume (septembrie, mai), lucernă (aprilie, mai) porumb, soia (iunie, iulie, august)]. Se face ipoteza că terenurile care se dorește să fie irrigate în acest mod nu sunt amenajate și pentru irigația clasică (sisteme mici sau mari).

SOLUȚII SIMPLE PENTRU ALIMENTAREA CU APĂ DIN SURSELE LOCALE LA IRIGAȚIA CULTURILOR

CSP I dr. ing. dipl. Constantin Nicolescu,
șef laborator "Irigații" în SC DID Băneasa

lui. Pe durata acesteia, planta (funcție de specie), consumă zilnic, în medie, o cantitate de apă din sol de 0,5-5 mm (5-50 m^3/ha), în medie continuu crescătoare până la recoltare, dar cu maxime în anumite fenofaze (intervale critice).

Indiferent de soluția de alimentare cu apă a terenului cultivat, aceasta trebuie să satisfacă cerințele **irigației rationale** [asigurarea decadală a cerințelor de apă ale plantei, umectarea numai a stratului de sol cu adâncimea egală cu a profilului radicular, pierderi minime pe traseul de la sursă la plantă, folosirea eficientă a apei (sporul de producție generat de irigație, raportat la 1 m^3 de apă de irigație), menținerea insușirilor solului, efect economic pozitiv].

Care se realizează ridicarea la o anumită înălțime a unui debit de apă dintr-o sursă locală, pentru udarea culturilor din parcelele limitrofe. În acest scop se folosesc patru categorii de dispozitive: roata hidraulică cu cupe, elevatoarele, transformatorul hidraulic și pompele cu acționare manuală (forță umană).

Cota la care este ridicată apa asigură distribuirea pe teren numai cu instalații de udare care funcționează la presiune redusă în punctul de branșare ($2-4 \text{ m H}_2\text{O}$). Astfel de instalații de udare sunt în special cele destinate brazdelor, iar culturile fezabile sunt din categoria prășitoarelor. Dacă se dorește creșterea presiunii, este necesară o sursă de presiune, diferită de cea folosită de utilaj.

Sursele de apă sunt de regulă "locale" și pot fi de suprafață sau subterane (apa freatică cu nivelul situat la mică distanță de cota terenului). Indiferent de categoria sursei, aceasta trebuie să satisfacă în primul rând cerințele standardului național de calitate (STAS 9450-88), referitor la pretilibilitatea resursei de apă pentru irigație (clase de mineralizare și de alcalizare). Sursele locale la care se face referire sunt situate în terenurile fără amenajări de irigație din interviile sau extravilan.

Principalele tipuri de surse din fiecare categorie sunt următoarele:

- **surse de suprafață:** lacuri colective, retenții (barări) mici de pe cursuri naturale, iazuri, canale de desecare de colectare sau de evacuare de diferite ordine (secundare,

principale), canale cu funcție mixtă [alimentare (irigație) - evacuare (desecare), alimentare - stocare - evacuare];

- **surse subterane:** captări (puț forat sau săpat), izvoare de coastă cu/fără bazine de stocaj, canale de coastă pentru evacuarea apei.

Pentru alimentarea cu apă a sistemelor de irigație moderne se folosesc în principal agregate de pompare acționate electric sau cu motoare termice (agregate mobile tractate sau portabile).

3) Roți hidraulice cu cupe

Aceste soluții tehnice realizează transvazarea apei cu ajutorul unor cupe cu același volum, antrenate cu sursă energetică din exterior sau cu forța apei unei surse de suprafață.

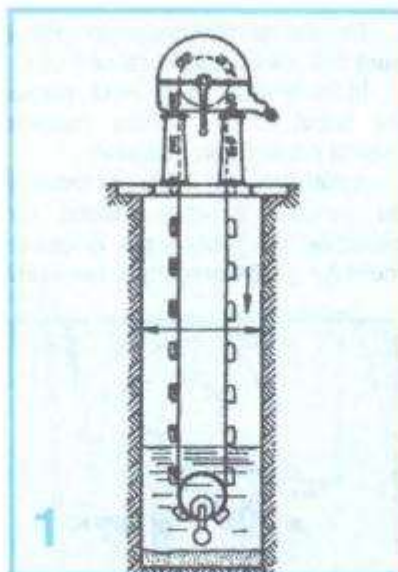
Se utilizează în principal două tipuri de utilaje, în funcție de modul de prindere a vaselor (cupelor), și anume: cu cupe mobile (prinse pe lanțul de antrenare) sau fixe.

Alegerea tipului de soluție tehnică se face prin analiza următorilor factori: mărimea suprafeței cultivate, tipurile de plante, consumul de apă de irigat pentru fiecare plantă de cultură, altitudinea medie a perimetrelui irigat, debitul necesar pentru udare, coroborat cu debitul ce se poate preleva din sursă, tipul sursei - freatică, de suprafață -, cota nivelului hidrodinamic al apei din sursă și diferența față de altitudinea medie a perimetrelui, natura sursei [calitatea apei, variația lunară a nivelului și debitului, în special în lunile critice pentru irigat (iulie-august)], aspecte economice (costul soluției tehnice - achiziție, transport, montaj -, al întreținerii și pazei, prețul producției realizate), condițiile naturale ale amplasamentului.

Din aceste cerințe rezultă principalele caracteristici funktionale ale utilajului: debitul prelevat din sursă (Q , în litri/secundă - l/s -) și înălțimea de ridicare necesară (H , în metri H_2O).

Debitul este dependent de numărul cupelor, de echidistanța dintre acestea și de viteza lor de antrenare.

Sub diferite variante construc-



1

tive, aceste roți au fost frecvent utilizate în timp, în luncile râurilor Olt, Arges, Dâmbovița, Buzău, Siret, Someș și.a.

3.1.) Roata hidraulică cu cupe pe lanț

Utilajul are în componență un lanț prevăzut cu cupe echidistantă, fixat și demontabil, pus în mișcare de o roată situată la cota unde trebuie ridicată apa, acționată de forță umană (manivelă

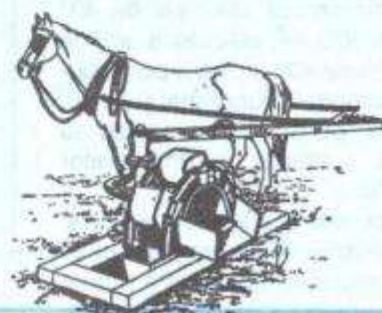
cu/fără mecanism de demultiplicare), de forță animală (maneu) și de motor termic (figurile 1, 2, 3). Partea inferioară a lanțului este imersată (scufundată) în apă, în aşa fel încât să se poată realiza umplerea corespunzătoare a cupelor, la viteza de antrenare a roții.

Lungimea lanțului este dată de distanța dintre cota la care trebuie ridicată apa și cea a nivelului apei în

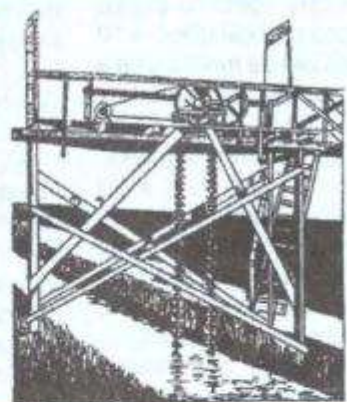
sursă, majorată cu adâncimea de imersare a părții inferioare. În partea superioară, în punctul de evacuare, dispozitivul este prevăzut cu un igheab care transportă apa către un canal sau rezervor de stocaj.

Roata hidraulică în varianta descrisă are randament mic (0,20-0,40) și realizează debitul de 2-15 l/s și înălțimea maximă de ridicare de 20 m H_2O (2 bar).

Întrucât înălțimea maximă de ridicare a apei rezultă din condițiile topografice ale amplasamentului și din presiunea necesară în punctul de evacuare, singurul element principal funcțional care se calculează este debitul, conform relației următoare:



2



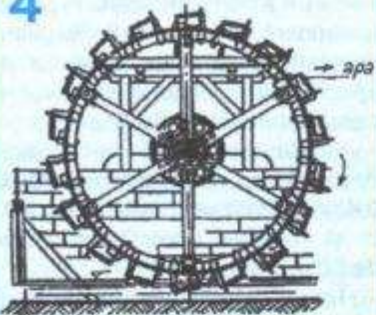
3

$$Q = \frac{0,8 \cdot n \cdot q \cdot V}{L} \quad [\text{m}^3/\text{s}] \quad (1)$$

unde: n - numărul cupelor; q - volumul cupelui, în m^3 ; V - viteza de antrenare a lanțului, în m/s ; 0,8 - coeficient ce ia în considerare gradul de umplere al cupelor; L - lungimea totală a lanțului, în m .

În cazul acționării cu animale, viteza de antrenare a lanțului este în medie de 0,15 m/s .

4



Pentru a da o imagine a potențialului acestei soluții, se prezintă un studiu de caz pentru tipodimensiunea caracterizată de parametrii funcționali $Q = 2,8-6 \text{ l/s}$ și $H = 1,5-2 \text{ m H}_2\text{O}$, care pentru timpul de funcționare de 40 ore (2 zile x 20 ore/zi) furnizează volumele de 400 m^3 și de 870 m^3 , utilizate la udarea cu norma de $400 \text{ m}^3/\text{ha}$ a porumbului de consum (în lunile mai și iunie).

Astfel, pentru fiecare volum se asigură udarea următoarelor suprafețe:

a) volumul de 400 m^3 : $Q = 2,8 \text{ l/s}$; durata udării = 40 de ore (2 zile x 20 ore/zi); suprafața udată pe o poziție a echipamentului de udare = 1 ha; intervalul dintre udări = 10 zile; durata ciclului de udare egală cu durata dintre udări (lipsa precipitațiilor) = 10 zile; numărul de zile de funcționare a instalației pe poziție = 2; suprafața udată pe ciclu = 5 ha;

b) volumul de 870 m^3 : $Q = 6 \text{ l/s}$; durata udării = 20 ore (1 zi x 20 ore/zi); suprafața udată pe o poziție a echipamentului de udare = 1 ha; intervalul dintre udări = 10 zile; durata ciclului de udare = 10 zile; suprafața udată pe ciclu = 10 ha.

Se poate constata posibilitatea dublării suprafeței irrigate de o instalație de udare pe durata ciclului de 10 zile.

3.2.) Roata hidraulică cu cupe fixe

Utilajul este montat între două mini-pontoane și se compune dintr-o roată hidraulică, pe care sunt amplasate echidistant cupele (fig. 4). Antrenarea roții se face prin forța curentului apei sursei de suprafață, fiind necesar ca viteza de curgere să fie de minimum $1,0 \text{ m/s}$.

Debitul și înălțimea de ridicat sunt mai mici decât în cazul (3.1.).

În continuare se prezintă, similar cu cazul (3.1.), câteva aspecte privind proiectarea utilajului.

Astfel, întrucât înălțimea maximă de ridicare a apei rezultă din condițiile topografice ale amplasamentului și din presiunea necesară

4) Elevatoare

4.1.) Elevator cu lanț cu dopuri

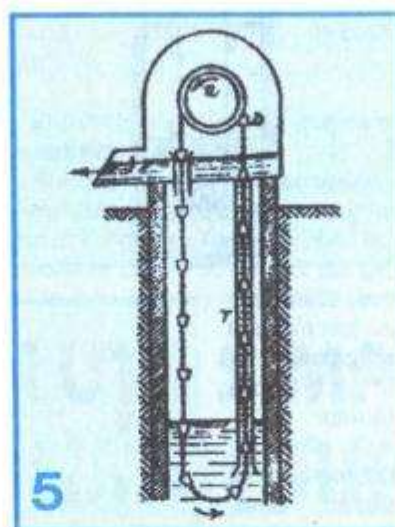
Soluția se pretează în special pentru apa freatică captată prin puțuri, asemănându-se cu cea prezentată la pct. 3.1.

Deosebirea constă în aceea că în loc de cupe se folosesc dopuri realizate din piele sau cauciuc, fixate pe un lanț (cablu). Prin urmare, acestea parcurg un tub imersat în apă la partea inferioară, cu diametrul interior puțin mai mare decât diametrul dopurilor (fig. 5).

Înălțimea maximă la care se poate ridica apa este de 30 m. Debitul este direct proporțional cu diametrul interior al tubului și cu viteza de antrenare a lanțului (cablului); acesta se poate mări prin folosirea unui grup de 2-3 lanțuri.

4.2.) Elevatorul cu bandă

Dispozitivul se aseamănă cu cel descris la pct. 4.1., bazându-se pe principiul că un element în mișcare rapidă (6-7 m/s), de tip bandă flexibilă, trecând prin apă, aderă o



în punctul de evacuare, principalul element funcțional care se calculează este debitul (Q), conform relației:

$$Q = N \cdot n \cdot q \quad [\text{l/min}] \quad (2)$$

în care: n - numărul cupelor; q - volumul unei cupe, în dm^3 ; N - turăția roții, în rotații/minut, în mod obișnuit 2-5 rot/min.

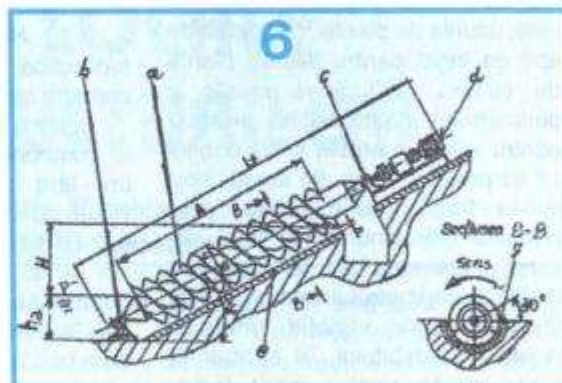
Turăția se poate calcula cu relația:

$$N = \frac{60 \cdot V}{\pi \cdot D} \quad [\text{rot/min}] \quad (3)$$

unde: D - diametrul exterior al roții, în m; V - viteza periferică a roții, calculată cu relația

$$V = 0,40 \cdot \sqrt{2gh} \quad [\text{m/s}] \quad (4)$$

în care: H - diferența dintre nivelul apei din sursă și cel existent în punctul de evacuare, în $\text{m H}_2\text{O}$.



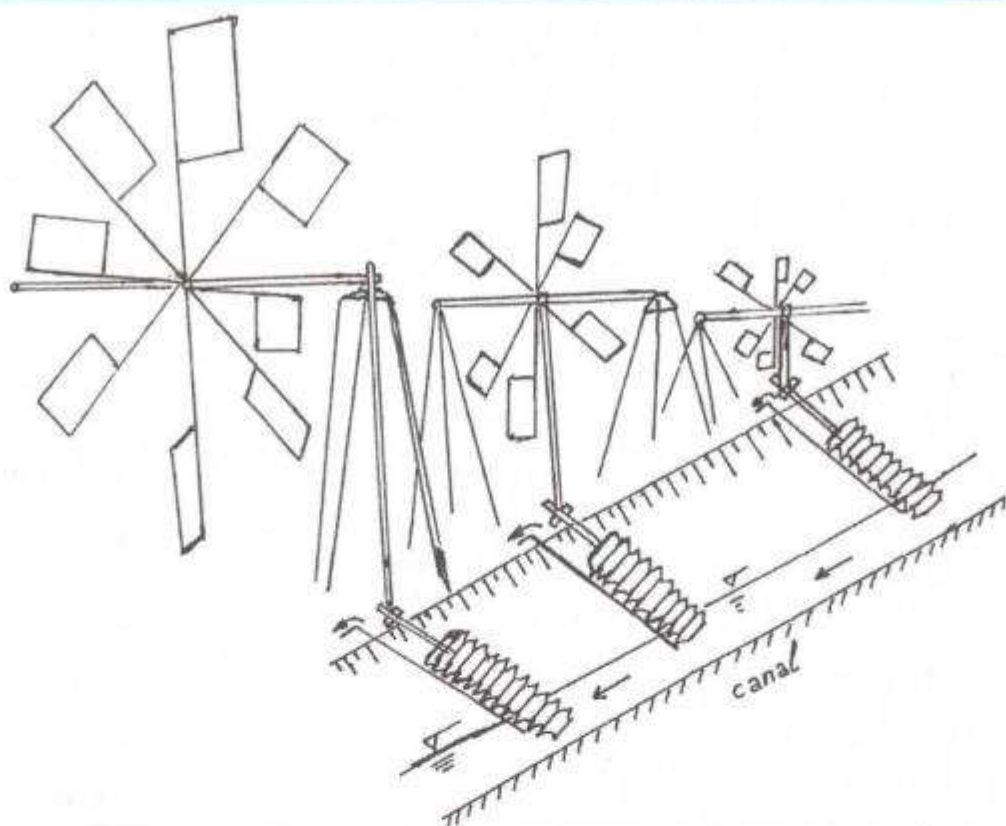
peliculă pe care o transportă până în punctul de schimbare a direcției, unde datorită forței centrifuge apa se desprinde. Se menționează următoarele particularități:

- la partea inferioară și imersată în lichid se amplasează o altă roată prevăzută cu întinzător;

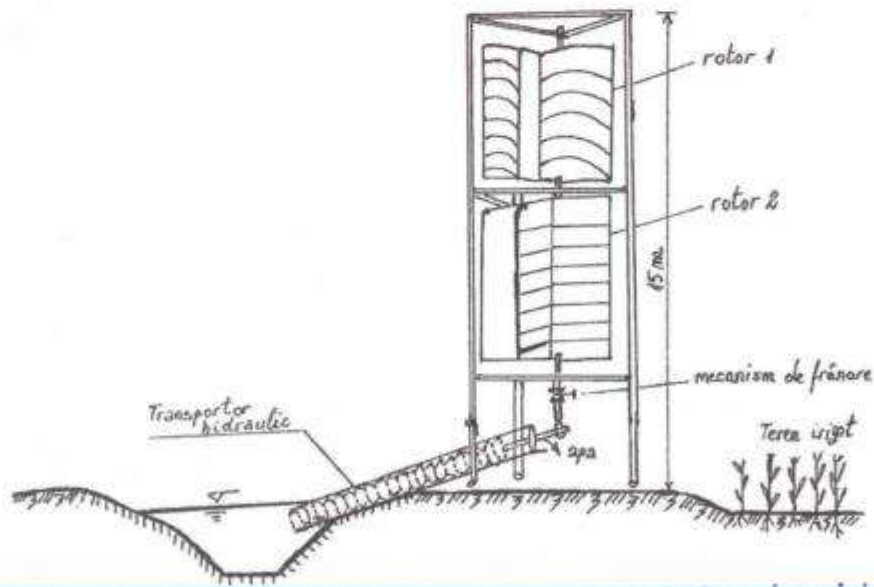
- la partea superioară (deasupra roții motrice) se realizează un capac care preia apa transportată de bandă și o dirijează către țeava de evacuare;

- antrenarea roții motrice se face cu motor electric sau termic.

Debitul depinde de înălțimea benzii, conform corelației că la fiecare 1



7



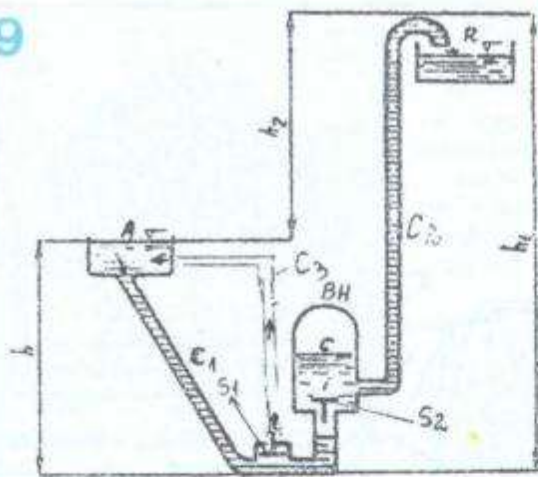
8

cm corespunde $1000 \text{ dm}^3/\text{oră}$ ($0,28 \text{ dm}^3/\text{s}$); de exemplu, banda cu lățimea de $7,2 \text{ cm}$ va transporta $7200 \text{ dm}^3/\text{oră}$ ($1,0 \text{ dm}^3/\text{s}$).

4.3.) Transportor hidraulic elicoidal
Soluția tehnică de referință este cunoscută de mult timp, bazându-se pe principiul "șurubului lui Arhimede", care constă dintr-o

pompă fără stator, reprezentată de un igheab (beton, metal), în care se montează un rotor înclinat, sub formă de șurub cu mai multe (1-3) începuturi (ax melcat). Această

9



soluție a cunoscut o extindere deosebită în Olanda (în anul 1930 funcționau circa 300 de dispozitive).

Componentele principale ale transportorului sunt următoarele (fig. 6): lagăre (inferior - *b*, superior - *c*), igheab (*e*), ax melcat cu pale (*a*), grup de acționare (*d*).

În continuare se prezintă câteva caracteristici constructive și relații de dimensionare:

i) între diametrele axului melcat, exterior (*D*) și interior (*d*, care reprezintă diametrul exterior al țevii pe care sunt montate spirele) există raportul $r = d/D$ cu valori de 0,40-0,60;

ii) pasul spirei (*p*) are valori de la $(0,80 \cdot D)$, pentru unghiul de înclinare al transportorului $\alpha > 30^\circ$ și de $(1,20 \cdot D)$ pentru $\alpha < 30^\circ$;

iii) turata (n) se calculează cu relația:

$$n = \frac{50}{D^{2/3}} \text{ [rot/min]} \quad (5)$$

iv) lungimea activă (*A*) este multiplu de $(p/2)$;

$$v) (\alpha) = 22^\circ - 40^\circ;$$

vi) nivelul la aspirație exprimat prin adâncimea apei (*h_a*) se determină dintr-o diagramă de funcționare;

vii) înălțimea de pompare (*H*) se calculează cu relația:

$$H = A \cdot \sin(\alpha) - 0,50 \cdot d \cdot \cos(\alpha) \text{ [m]} \quad (6)$$

Debitul se calculează cu relații mai complexe, folosind coeficienți în funcție de (α) și raportul (*r*), care depășesc spațiul afectat lucrării.

Există 10 tipuri de dimensiuni de transportoare care furnizează debite de 15-1400 l/s și ridică apa la înălțimea de 1-7 m. Referitor la tipul grupului de acționare, apreciem că

interesantă utilizarea energiei neconvenționale (motorul eolian).

Soluția se poate folosi atât pentru irigarea culturilor, cât și pentru evacuarea apei din incintele îndiguite și desecate. Utilizarea energiei eoliene în aceste scopuri este răspândită pe scară largă în țări ca Olanda și China (fig. 7).

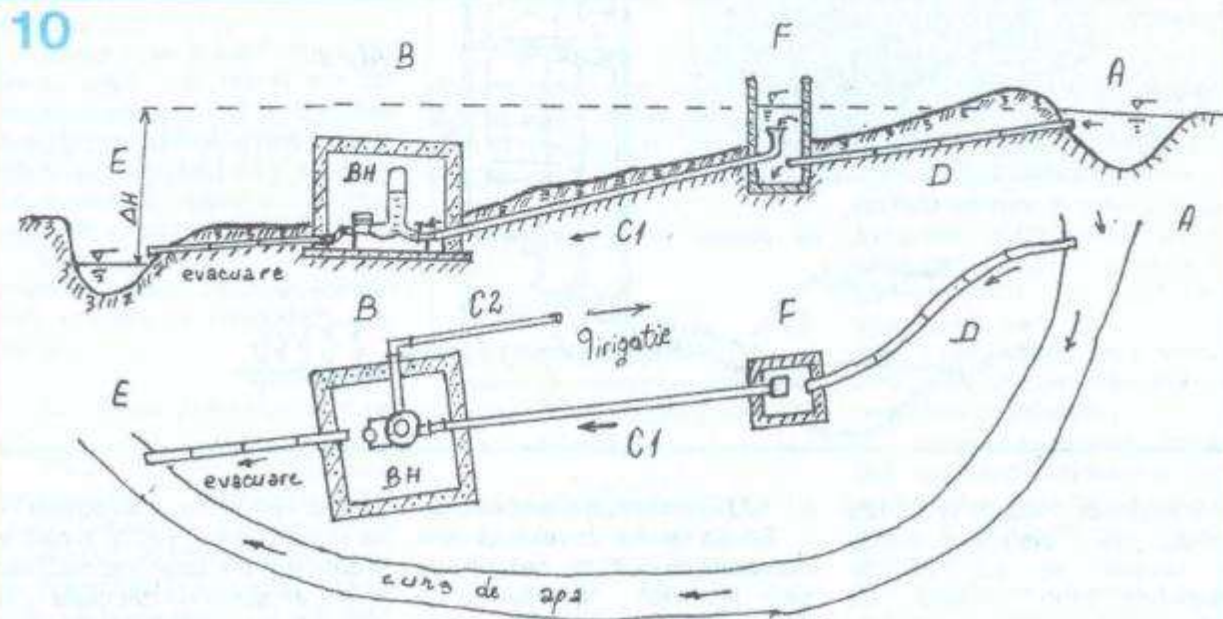
Pentru viabilitatea acestei soluții este necesar să se cunoască regimul eolian al zonei respective: direcții, frecvențe, intensități, durată.

În România sunt vizate Dobrogea, Delta Dunării și zona de sud-est, caracterizate prin viteză medie anuală de 3-10 m/s pentru durată de 6727 ore/an (73% din durata totală).

Obișnuit, o instalație folosită în acest scop include motorul eolian, transportorul hidraulic, conductă de legătură, rezervor suprateran de acumulare a apei și, uneori, motor de rezervă (termic, electric). Acumularea energiei pentru perioadele fără vânt sau asocierea cu alte forme de energie este de multe ori indispensabilă.

Volumul bazinului de înmagazinare (*V*) se alege din condiția de acoperire a normei de udare (*m_u*) din intervalul de (*t*) zile fără vânt sau cu viteză sub 3 m/s:

10



$$V = (t \cdot l) \cdot m \quad [m^3] \quad (7)$$

Viteza optimă de funcționare este de 8-14 m/s.

Stațiunea de Cercetare - Dezvoltare pentru Irigații și Drenaj (SCDID) Bâneasa - Giurgiu (fost ICI-TID) a testat această soluție, în intervalul 1985-1989, pentru ridicarea apei din desecare - drenaj cu scopul de a iriga culturile.

Amplasamentul de studiu a fost localizat în Lunca Dunării, în incinta Indiguită - desecată - irigată Gostinu - Greaca - Argeș, la subsistemul de desecare SCDID. Se menționează că apa evacuată prin rețeaua principală de desecare este pretabilă pentru irigația culturilor în tot timpul anului.

Soluția testată constă dintr-o turbină eoliană de tipul TS - 4 (cu rotor Savonius), transportor hidraulic, electromotor, reductor, dispozitiv de măsurare a debitului de tip deviator triunghiular, mecanism de frânare (fig. 8). Înălțimea totală a agregatului este de 15 m, iar masa totală este de 8000 kg (elevatorul - 1000 kg, motorul eolian - 6500 kg, celelalte componente - circa 500 kg).

Rotorul motorului se compune din două pale cu diametrul de 3 m și cu aria totală de 30,6 m². Datorită masei mari a structurii și gabaritului, construcția a necesitat o fundație masivă, realizată din beton (35 m³).

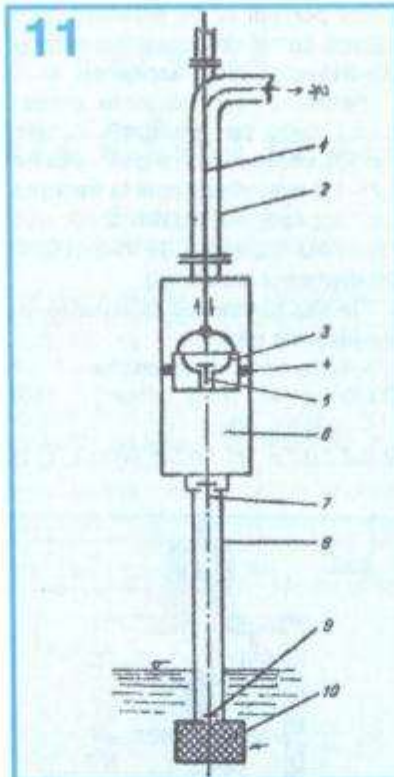
Instalația a fost amplasată pe malul unui canal principal de evacuare prevăzut cu un stâvilar pentru reglarea nivelului apei, astfel încât adâncimea minimă de imersare a elevatorului să fie asigurată, conducând la o înălțime de ridicare constantă și egală cu 3,20 m.

Testările au condus la următoarele rezultate:

i) viteza vântului necesară pentru demararea agregatului eolian a fost de 3,50 m/s;

ii) debitul maxim furnizat a fost de 25,3 l/s și s-a înregistrat la viteza vântului de 9 m/s;

iii) la viteze ale vântului mai mari de 9 m/s, viteza de rotație a elevatorului realizează o agitație puternică a apei în corpul (igheabul) acestuia, care prin împrăștiere în exterior reduce debitul;



iv) puterea maximă dezvoltată de turbină este de 4 kW și s-a înregistrat la viteza vântului de 11,8 m/s (43 km/oră).

Pentru un sezon de irigație și pentru cultura de porumb de consum udată prin brazde, soluția a asigurat volumul de 2180 m³/ha, acoperind necesarul de apă de irigație pentru un hectar cultivat.

Totuși, soluția nu rezolvă problema decât local, atât din cauza regimului eolian, cât și din punct de vedere al valorii reduse a volumului pompat, comparativ cu cel necesar (în lunile cu consum maxim, necesarul lunar de apă de irigație ajunge la 1200-1500 m³/ha, aplicabil în două udări, la interval de 12 zile).

O destinație mai favorabilă pentru această soluție tehnică este reprezentată de evacuarea apei din rețeaua deschisă de canalele de desecare într-un bazin piscicol (cu condiția satisfacerii cerințelor de calitate) sau într-un emisor sau (și mai indicat) într-un canal de irigație. În această ultimă situație, canalul de irigație este și rezervor de stocaj, iar instalația de pompă eoliană are rol complementar, substituind parțial

activitatea stațiilor de pompă, cu efect benefic asupra reducerii consumului de energie electrică.

Utilizarea energiei neconvenționale pe această linie rămâne în continuare de actualitate.

5) Berbecul hidraulic

Berbecul hidraulic este un dispozitiv hidraulic (transformator hidraulic) care ridică debite mici de apă la înălțimi mari, putând iriga de la suprafețe mici, până la câteva zeci de hectare. Această soluție necesită amplasamente favorabile (în mod natural sau prin lucrări de amenajare).

Componentele principale rezultă din descrierea principiului de funcționare (fig. 9).

Este necesar să se ridică apă din sursa de alimentare (A) într-un rezervor situat la o cotă superioară față de (A), berbecul hidraulic (BH) fiind amplasat (condiție de funcționare) la o cotă inferioară sursei (A), pentru a putea fi alimentat gravitațional. În acest scop, se montează o conductă (C1) cu rol de alimentare între (A) și (BH) și o conductă de evacuare (C2), între (BH) și rezervorul de stocare (R). Berbecul hidraulic are două supape (S1, S2) de construcție specială, realizate din membrană elastică (cauciuc) și un dispozitiv pentru realizarea unei perne de aer de tip clopot (C). La punerea în funcțiune a dispozitivului, debitul de apă (Q) care intră în (BH) întâlnește supapa (S1) care este deschisă și rămâne în această poziție până când presiunea crescătoare a apei o va închide. Apa evacuată în această fază se returnează în sursa (A) prin conducta (C3). După închiderea primei supape, apa deschide supapa (S2), pătrunde în clopotul (vas închis ermetic) (C) și comprimă aerul existent. Ca urmare a comprimării aerului, supapa (S2) se închide și apa este refuzată prin conducta (C2) cu debitul ($q < Q$), în rezervorul (R). Suprapresiunea creată prin închiderea supapei (S2) produce ceea ce în hidraulică se denumește *lovitura de berbec*, care deschide supapa (S1) și ciclul se reia. Ecuația care rezumă funcționarea este următoarea:

$$\eta \cdot O \cdot h = q \cdot h_1 \quad (8)$$

$$\eta = 1,12-0,20 \cdot (h_1/h)^{0,5} \quad (9)$$

În general, înălțimea de ridicare este de circa 20-25 de ori valoarea căderii (h), randamentul (η) este de 0,60-0,70, iar debitul ridicat (q) este de 0,03-250 l/min.

Pentru creșterea debitului pompat se pot pune în paralel doi sau mai mulți berbeci (ale căror refulări se unesc într-o singură conductă), iar pentru realizarea unei înălțimi de pompare mai mari, aceștia se înseriază. Prezentarea succintă a unei scheme de amenajare pentru irigare se face în figura 10.

Apa din cursul (A) este derivată prin conducta (D) în căminul (F), unde se realizează cădere. În continuare, prin conducta (C1), se alimentează berbecul hidraulic instalat în cabina (E), apa fiind refulată prin conducta (C2), iar cea provenind din funcționarea supapei (S1) se evacuează prin conducta (C3).

Soluția tehnică cu berbec hidraulic prezintă câteva avantaje importante: funcționare cvasiautomată, cheltuieli reduse de realizare, instalare și întreținere, fiabilitate ridicată și uzura fizică redusă, deoarece nu are piese de transmitere a mișcării.

6) Pompe cu acționare manuală

6.1.) Pompa cu piston

Reprezintă un dispozitiv simplu, realizabil în două variante constructive (figurile 11, 12): cu efect simplu, adică cu o cursă activă (când se ridică apa) la două consecutive și cu dublu efect, când fiecare cursă este activă. Se utilizează pentru pomparea apei freatici din puțuri.

Modul de funcționare este următorul: la deplasarea pistonului (3) în cilindrul pompei, se produce o variație de volum, care generează o depresiune (aspirație), când cursa pistonului se depărtează de partea inferioară a cilindrului și o creștere de presiune (refulare), când pistonul se apropie de fundul cilindrului. Supapele pistonului și cilindrului opresc sau permit trecerea apei la fiecare cursă. Pentru funcționarea pompei este necesar ca aceasta să fie amorsată (umplută cu apă) și

sorbul pompei să fie prevăzut cu o supapă cu rol de clapet (reținere și pătrunderea apei la aspirație).

Pentru o dimensionare corespunzătoare se enumeră câteva condiții: viteza medie a pistonului de 0,75-1,0 m/s; viteza apei la trecerea prin supape de maxim 2,50 m/s (diametrul supapei de maxim 0,70 din diametrul cilindrului).

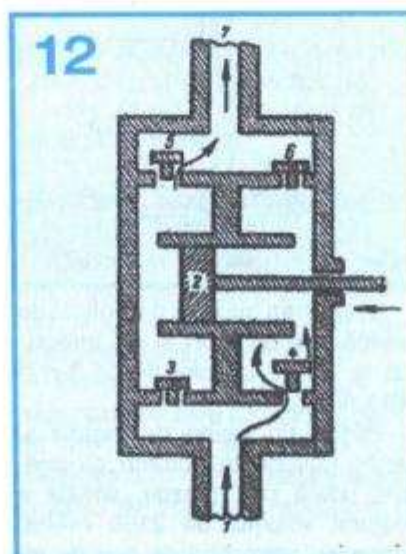
Debitul pompei se calculează cu următoarele relații:

- varianta cu efect simplu

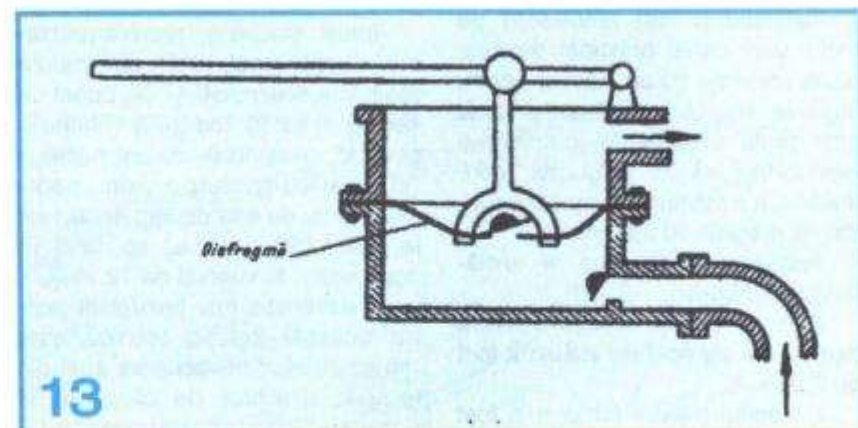
$$Q = u \cdot \pi \cdot r^2 \cdot n \cdot h \quad [l/min] \quad (10)$$

- cu dublu efect

$$Q = 2 \cdot u \cdot \pi \cdot r^2 \cdot n \cdot h \quad [l/min] \quad (11)$$



12



13

în care: u - coeficientul de umplere cu apă a cilindrului (0,90-0,95); r - raza pistonului; n - numărul curselor complete (dus-întors) pe minut; h - lungimea cursei pistonului.

Pompa se recomandă pentru înălțimi de aspirație de maxim 6,0

m; pentru niveluri situate la distanțe mai mari, se coboară corpul pompei în puț și se lungesc tija pistonului și conducta de refulare. La pompele bine întreținute, randamentul este de 0,70-0,80. În cazul pompelor neîntreținute, randamentul este foarte mic.

6.2.) Pompa cu diafragmă (membrană)

La acest tip de pompă, pistonul se înlocuiește cu o membrană (disc) circulară din cauciuc, care se fixează pe margini, prin flanșe, pe cilindru (fig. 13). Acționarea membranei se face cu o tijă prin curse de lungime mică. Pătrunderea apei se face printr-un clapet situat în centrul acesteia. Orificiul obturat de către clapet este mare, permitând obținerea unui debit de până la 25 m³/oră (7 dm³/s). Pompa este ușor de instalat, întreținut și reparat.

Dispozitivele descrise reprezintă o selecție din soluțiile tehnice existente, tratarea nefăcându-se exhaustiv.

Acstea reprezintă soluții locale pentru tehnica irigației, uzate moral dar posibil de perfecționat. Prin simplitatea lor, ca și prin costul redus, acestea reprezintă soluții imediate până la

procurearea celor perfecționate.

Se recomandă, de asemenea, pentru terenurile din intravilan, însăciat acestea nu sunt incluse în sistemele de irigație clasice, ca și pentru terenurile extravilane neamenajate pentru irigații.

Redresor auto cu deconectare automată

Sorin PISCATI

Aparatul a cărui schemă de principiu este prezentată în figura alăturată încarcă numai acumulatori auto cu plumb a căror capacitate este de 30-100 Ah. Se pot încărca și cei de capacitate mai mare, dar durata încărcării crește semnificativ.

Din practică și din literatura de specialitate se știe că încărcarea optimă a unei baterii de acumulatori se face sub un curent a cărui valoare reprezintă a zecea parte din capacitatea bateriei. De exemplu, o baterie cu capacitatea de 44 Ah poate fi încărcată cu un curent de aproximativ 4,4 A. Sigur că un curent mai mic de încărcare nu dăunează. Din contră, este cu atât mai favorabil. Trebuie să se țină cont însă și de durata de încărcare. Dacă această durată depășește 24 de ore, în cele mai multe cazuri devine inaceptabilă deoarece proprietarul are de regulă zilnic nevoie de mașină. Din aceste considerente, pentru schema prezentată în figură am ales un curent de încărcare de cca 3 A. Această valoare reprezintă un compromis rezonabil între calitatea încărcării bateriei și durata de încărcare.

O două problemă care se pune, în cazul majorității conducerilor auto atunci când aceștia folosesc un redresor obișnuit, este durata încărcării. Fiecare își pune întrebarea: Cât o țin la încărcat? Trei ore, zece ore, mai mult? O recomandare precizează că încărcarea bateriei trebuie opriță atunci când din electrolitul acesta se degajă intens bule de gaz. Dar cât de intens? Bule de gaz se degajă și în timpul procesului normal de încărcare, când bateria nu este complet încărcată. A montat un voltmetru în paralel cu bornele bateriei și a întrerupt încărcarea atunci când acesta indică cca 14,4 V, de asemenea este nepractic. Ar trebui ca fiecare conductor auto să aibă cunoștințe de electricitate și să disponă de un astfel de voltmetru.

Montajul prezentat în figură înălță aceste dezavantaje. El încarcă bateria cu cca 3 A și atunci când tensiunea la bornele acesta atinge 14,4 V întrerupe încărcarea. Când tensiunea la bornele acumulatorului scade sub 14 V începe reincărcarea. În felul acesta, aparatul permite ca acumulatorul să fie conectat oricără fără ca acesta să se supraîncarce sau să se descarce.

Funcționarea

Când tensiunea la bornele bateriei este sub 14,4 V, dioda Zenner Dz este blocată. Tranzistorul T2 este blocat și el întrucăt baza sa este practic la minus, datorită diodei Zenner Dz care nu conduce.

Tranzistorul T1 conduce deoarece baza sa este polarizată în sens direct prin rezistența R1. La rândul său, tranzistorul T1, prin dioda D4 deschide tiristorul Th, care permite să treacă spre baterie un curent de cca 3A.

Acumulatorul se încarcă și ca urmare tensiunea la bornele lui crește până atinge valoarea de 14,4 V, pragul de deschidere a diodei Zenner Dz. Aceasta la rândul său determină deschiderea tranzistorului T2, blocarea lui T1 și în ultimă instanță a tiristorului Th.

Încărcarea bateriei incetează și ca urmare, în timp, tensiunea la bornele acesta începe să scadă până se atinge pragul de cca 14 V, când dioda Zenner se blochează și procesul de încărcare reîncepe.

De mentionat că acest interval de 0,4 V se datorează histerezisului normal al diodei Zenner.

Transformatorul de rețea va avea o putere de 60-100 VA. Tensiunea la bornele primarului va fi de 220 Vc.a., iar secundarul cu priză mediană (pentru redresarea ambelor alternante) va debita 2 x 16 Vc.a.

Este indicat ca înfășurarea primară să fie izolată de cea secundară printr-un perete vertical, astfel încât să fie eliminată orice posibilitate de electrocutare accidentală.

Montajul, realizat pe o placă de circuit imprimat, va fi introdus într-o carcăsă din lemn sau material plastic, prevăzută pe părțile laterale cu orificii de aerisire.

În primar se va utiliza sârmă CuEm Ø 0,2-0,25 mm, iar în secundar CuEm Ø 1-1,2 mm.

Numărul de spire în primar se calculează cu relația:

$$N_p = 220 \times 50/s$$

iar în secundar: $N_s = 2 \times 1,2 \times 16 \times 50/s$

în care s este secțiunea centrală a miezului exprimată în cm^2 .

Lista de piese

1. T1;T2 → BC107 sau BC171
2. D1;D2 → 6SI6
3. D3;D4 → 1N4001...1N4007
4. Th → 3T3N
5. Dz → PL14V4Z
6. R1 → 1,8kΩ
7. R2 → 470Ω
8. R3 → 1kΩ
9. R4 → 47kΩ
10. R5 → 39Ω

Pagini realizate în colaborare cu Federația Română de Radioamatorism

STABILIZATOR

de TENSIUNE

Prezentăm un stabilizator propus de F1OCJ cu anii în urmă în revista Radio REF. Acesta poate asigura la ieșire o tensiune de 3-15V la un curent maxim de 3A.

Transformatorul trebuie să asigure în secundar cca 21 Vef și folosește pentru bobinaj conductor CuEm de 1,5 mm. S-a folosit un transformator de la un TV vechi (miez 130 x 110 mm), la care s-a refăcut secundarul. Puntea redresoare va rezista la 5 A și va fi urmată de un condensator electric C1 = 10.000 μ F/40V.

Schela este clasică. Reglajul tensiunii se face prin P1, iar protecția este asigurată de căderea de tensiune de pe R1.

T1 - 2N1711, T2 - BC177, T3 - 2N2197; T4 - 2x 2N3055 montate în paralel pe un radiator fixat pe carcasa metalică și având fiecare în serie cu emitorul căte o rezistență de 0,2-0,4 Ω la 5W.

D1 - 6,2V; D2 - BZY C10; D3 - BZY C18.

S-a folosit un μ A741 cu capsulă metalică. R1 - 0,18-0,2 Ω la 3 W, bobinată; R2 = R7 = R5 = 4,7 k Ω ; R3 = Rp = 1k Ω ; R4 = 1,5 k Ω ; R6 = 10 k Ω ;

C2 = 50 μ F/25V;

C3 = 22nF/125V;

C4 = 100 μ F/25V.

C1, P1 și R1 sunt montate în afara cablajului imprimat arătat în figura 2.

Dispunerea componentelor este redată în figura 3, iar caracteristica tensiune-curent în figura 4.

Dacă tensiunea asigurată în secundar de transformatorul de rețea este mai mare, de exemplu 24Vef, R2 - 5,6k Ω , R4 = 1k Ω , D2 = BZY C15, iar D3 = BZY C20. De asemenea, se va mări și suprafața radiatorului.

RO-71 100 București, C.P. 22-50

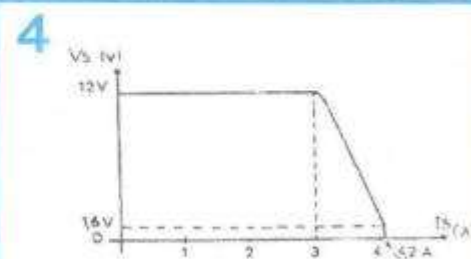
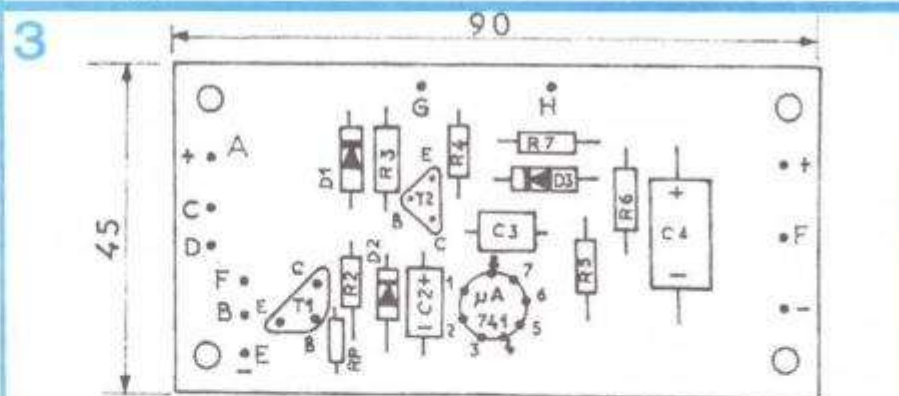
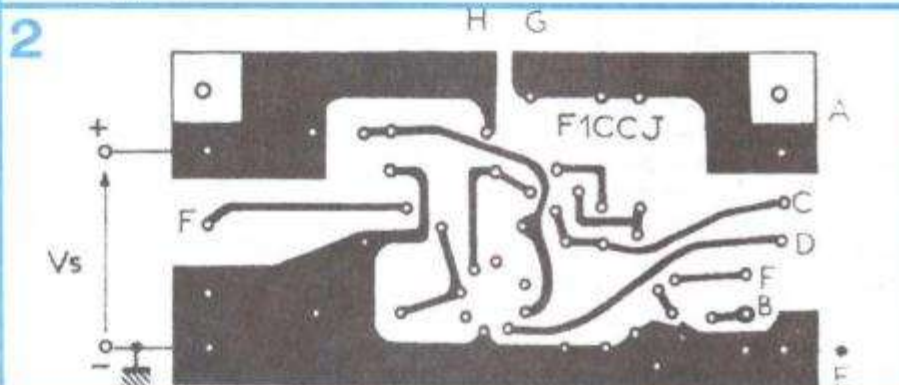
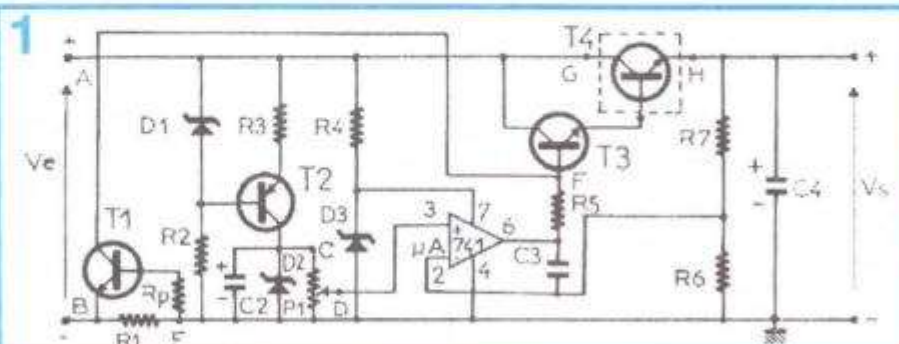
Tel./Fax: 01-315.55.75

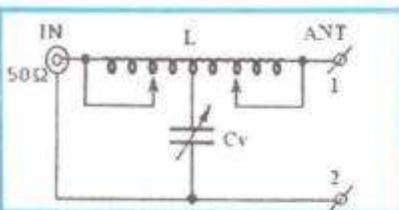
E-mail:

yo3kaa@pcnet.pcnet.ro

yo3kaa@allnet.ro

WEB: www.qsl.net/yo3kaa





Acest transmatch este realizat cu pieise putine, fiind practic format dintr-o bobină și un singur condensator. Transmatch-ul poate adapta practic aproape orice antenă. Dacă fiderul este coaxial, borba 2 se leagă la pământ. Dacă fiderul este simetric, el se conectează la transmatch prin intermediul unui balun.

Circuitele stabilizatoare cu trei terminale pot fi influențate și chiar distruse de tensiunile puternice de RF sau de scurtcircuitarea în timpul funcționării a bornelor de intrare. De exemplu, un condensator de 10mF la ieșire poate distruge circuitul dacă intrarea acestuia este scurtcircuitată accidental. Diodele montate după cum se arată în figura elimină acest pericol. Condensatoarele de decuplare vor fi de calitate, cu inductanțe parazite minime și se vor monta cât mai aproape de terminale.

Pentru măsurarea condensatoarelor și rezistențelor se poate utiliza cu succes o mică punte RC a cărei schemă de principiu se arată în figura alăturată. Circuitul U1-A

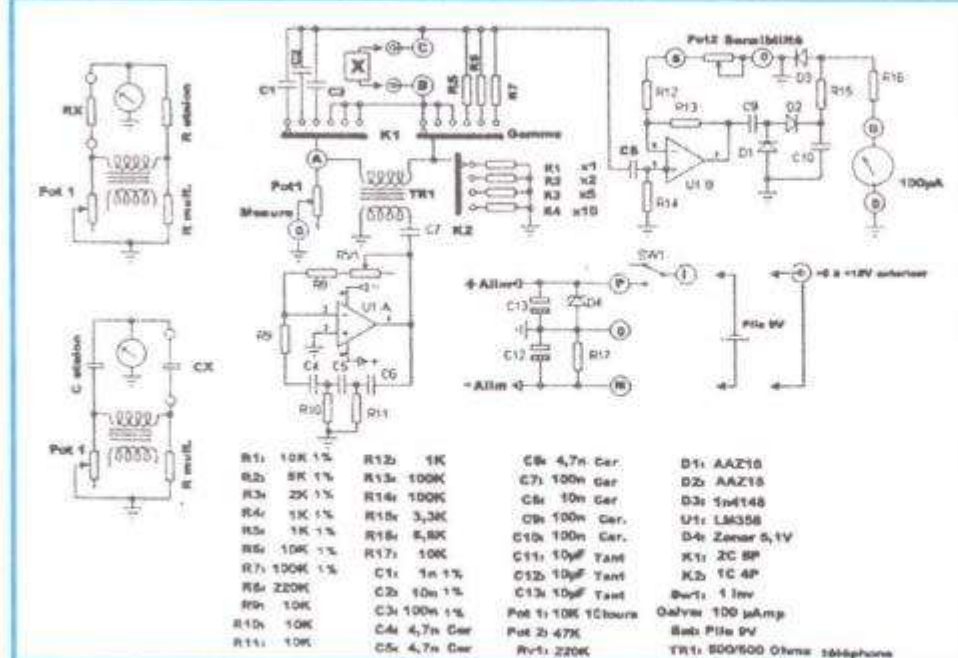
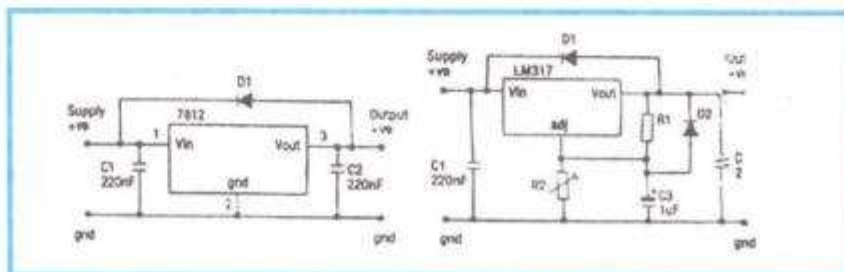
ADAPTOR de ANTENE

iar borna 2 nu se leagă la pământ. Condensatorul variabil este de $2 \times 500\text{pF}$. În banda de 80 m, ambele statoare se conectează în paralel. Bobina are diametrul de 50 mm și cca 40 spire distanțate la 6 mm. Se folosește conductor de 2 mm. Spirele se scurcircuită cu crocodili, căutând poziția care dă

SWR minim, sau recepție maximă, cu Cv în poziția de mijloc. Pentru lucru în staționar, crocodili se pot înlocui cu comutatoare. Am folosit acest transmatch pentru antene dipol și LW și verticale de lungimi diferite.

Bibliografie: QST nr. 4/1996

PROTECȚIE



asigură semnale de JF cu frecvență de cca 1 kHz, care prin intermediul

unei transformatoare cu raport 1:1 se aplică în diagonala unei punți.

Echilibrul punții este arătat de un instrument cu acce primește tensiuni de eroare amplificate și redresate de către U1-B și, respectiv, diodele D1-D2. Puntea permite măsurarea rezistențelor și condensatoarelor având valori cuprinse între 100Ω și $1M\Omega$, respectiv 100 pF - $1\mu\text{F}$.

Desenele alăturate arată principiul de măsură pentru R și C. Alegerea montajului respectiv este asigurată de către K1, K2 determină factorul de multiplicare. În revista Radio REF nr. 7/2003, de unde este preluat montajul, se arată că acesta poate măsura componente SMD care se conectează între două arcuri spirale răcoridate la intrarea "Measure".

SELECTOR de CANALE

Cornel STEFĂNESCU

În țara noastră există în funcționare un număr foarte mare de televizoare din producția internă de tip TELECOLOR, TOPCOLOR, CROMATIC care, datorită selectorului de canale, nu pot recepta și programele transmise în benzile alocate televiziunii prin cablu CATV (fig. 1).

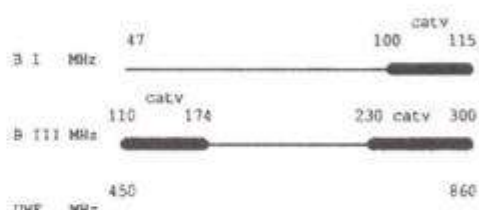
Propunem înlocuirea acestor selectoare standard cu cele moderne prevăzute pentru CATV, care acoperă întotdeauna integral intervalul 47MHz - 300MHz. Există selectoare care acoperă și banda de frecvențe 300-470 MHz - HIPERBANDĂ. La aceste selectoare de canale, numerotarea pinilor se face începând din partea opusă bornei de antenă (fig. 2). Se remarcă lipsa pinului 2 (unele tipuri au și acest pin).

Notăile sunt consacrate, provenind din limba engleză, și au următoarele semnificații:

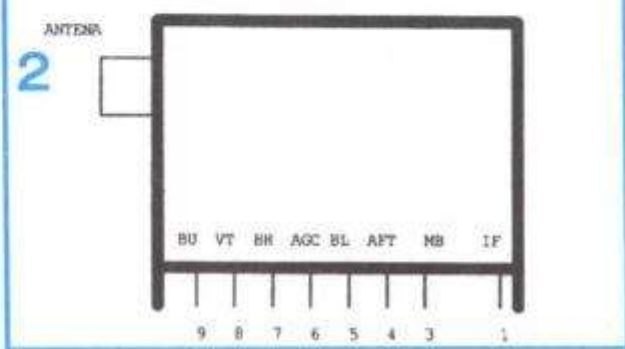
- 1 - IF/FI - frecvență intermediară
- 3 - MB - tensiunea de alimentare a selectorului (+12V)
- 4 - AFT / AFC / CAF - tensiunea pentru controlul automat al frecvenței (6,5V+/-6V)

5 - LB / BL - tensiunea pentru comutarea în banda VHF1 / FIF1 / VHF-L/BI (+12V)
 6 - AGC / RAA - tensiunea de reglaj automat al amplificării (7V-0V)

1

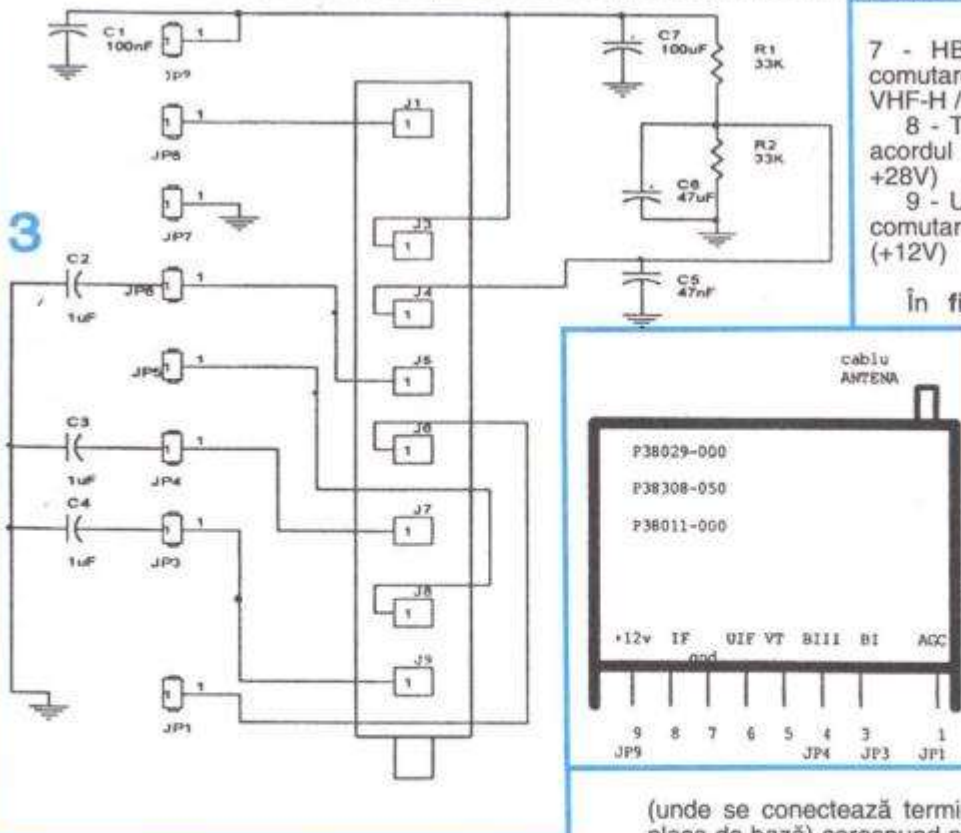


2



3

TELECOLOR 5601,5602 și TOPCOLOR 5101 cu codul P3808-050 , P38011-000, P38029-000.



7 - HB/BH - tensiunea pentru comutarea în banda VHF3/FIF3 / VHF-H / B III (+12V)

8 - TU / VT - tensiunea pentru acord diodelor varicap (+0,5V - +28V)

9 - UB / BU - tensiunea pentru comutarea în banda UHF / UIF (+12V)

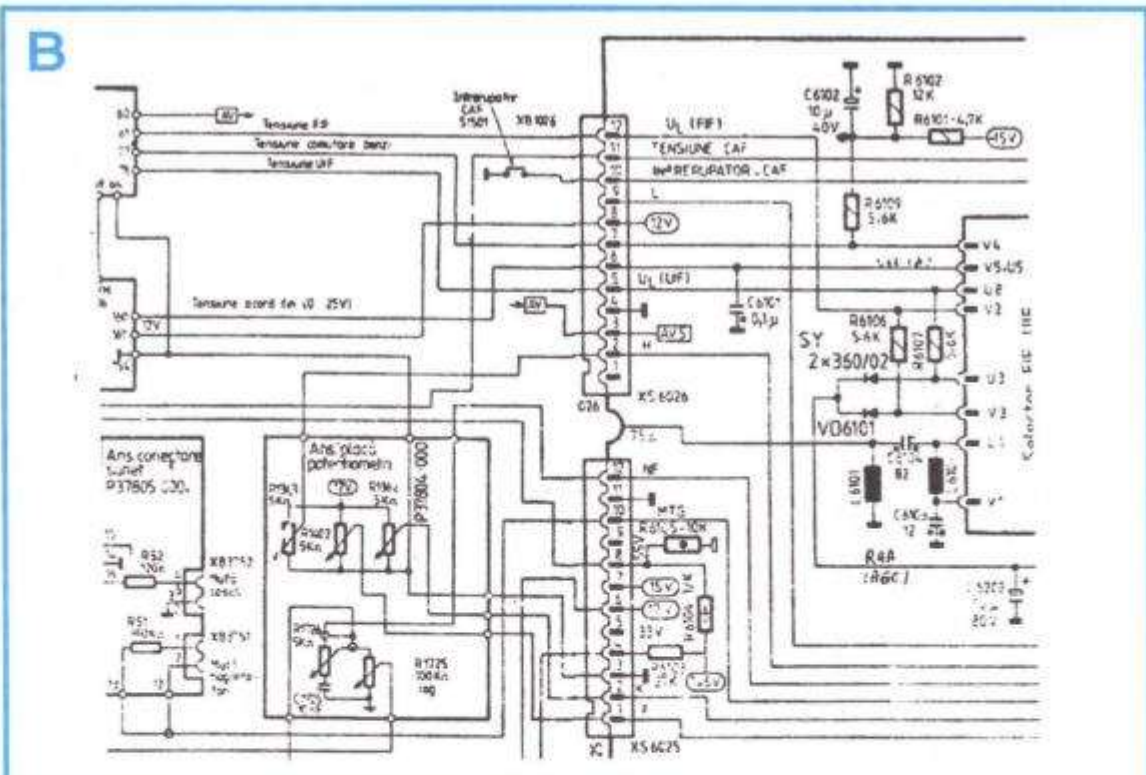
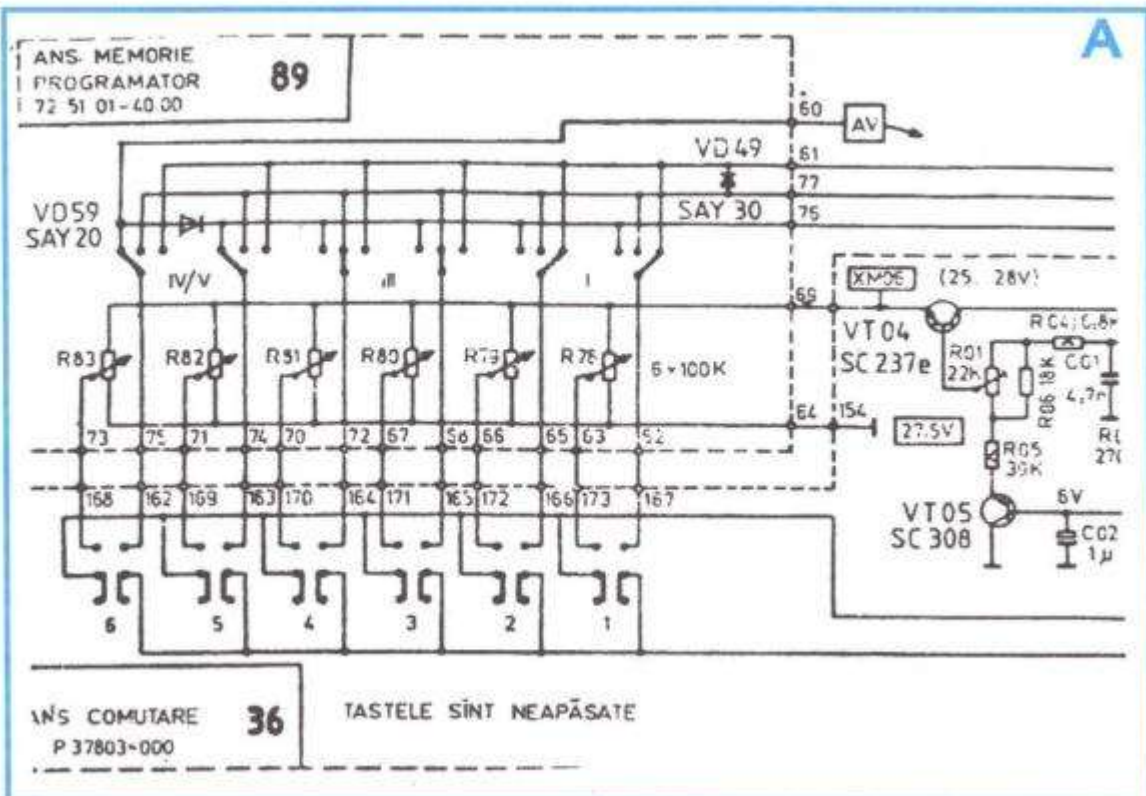
În figura 3 este prezentată schema electrică de înlocuire a selectorului FIF-UIF din televizoarele TELECOLOR 5601, 5602 și TOPCOLOR 5101 cu codul P3808-050, P38011-000, P38029-000.

La aceste selectoare numerotarea pinilor se realizează din spate borna de antenă. Înlocuirea se realizează ușor prin scoaterea de pe cablaj a vechiului selector și introducerea montajului propus. Pinii notați în schemă cu JP1-JP9

(unde se conectează terminalele pentru conexiunea cu placă de bază) corespund pinilor selectorului 1-9.

La montajul realizat, pinul 4 (AFT) al noului selector nu este utilizat; el este menținut la o tensiune continuă de 6V-6,5V prin divizorul rezistiv R1, R2 (10kΩ-100kΩ) și filtrată cu C5 (10 μF - 47μF), C6 (10 nF - 100nF). Condensatoarele C1 (4,7 μF - 100μF) și C7 (10 nF - 100nF) filtrează tensiunea de alimentare a selectorului. La acest montaj, pentru a nu complica inutil cablajul, benzile BI și UIF sunt inverseate între ele. În figurele 4, 4a este prezentat cablajul simplu străt vede prin transparentă.

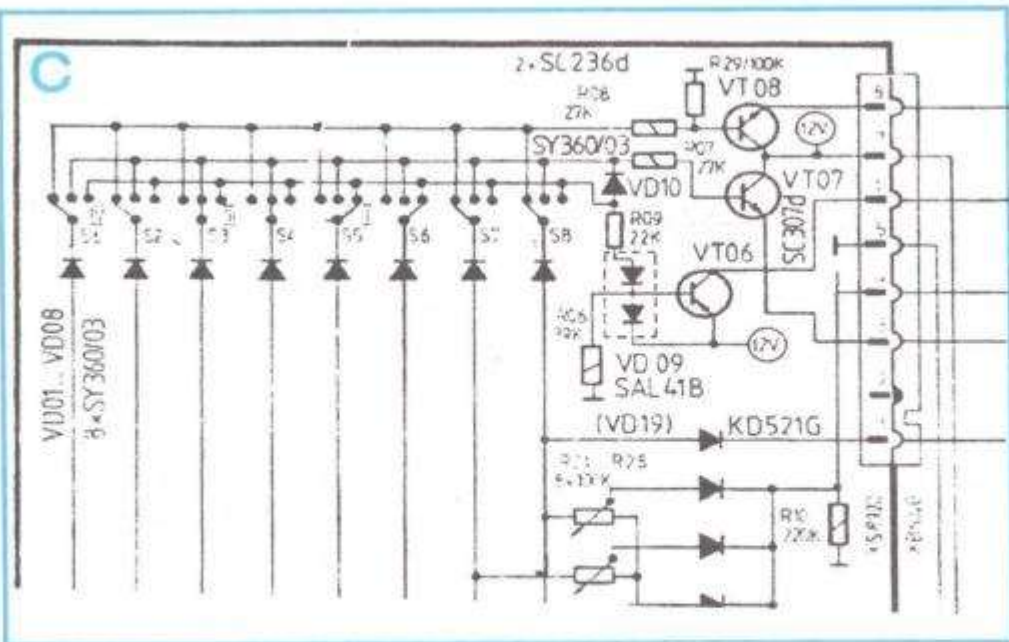
Pentru televizoarele TELECOLOR 4507, MONITOR COLOR 003, CROMATIC 002 și alte tipuri care au montate selectoare FIF-UIF de tipul 450120-00 00 înlocuirea trebue urmată și de unele modificări în schema electrică a televizorului pentru că la comutarea pentru BIII apare tensiune și pentru BI, ceea ce în funcționarea noului selector nu este permisă. Astfel, pentru TELECOLOR 4507 și MONITOR COLOR 003:



- Se identifică pe ansamblul programator dioda VD49, de tip SAY30, și se elimină;

- Se deconectează capătul rezistorului R6109(5k6) dinspre divizorul rezistiv conectat la -15V (R6101, R6102, C6102);

- Dioda recuperată (VD49) se conectează cu anodul în capătul rămas liber al rezistorului R6109 și cu catodul



în punctul comun al diodelor VD6101 cu C6202. Punct în care apare tensiunea RAA și care se conectează printr-un fir la montaj;

- De pe pinul 8 al conectorului XS6026 se conectează tot printr-un fir tensiunea de +12V la montaj.

Pentru televizorul CROMATIC 02, care are programatorul diferit (cu semnalizare cu LED) se modifică:

- Se identifică și se elimină tranzistorul pnp VT06 și dioda VD10;
 - Se identifică și se elimină dioda dublă VD 09;
 - R09 se înlocuiește cu valoarea de $27\text{ k}\Omega$ conectată în baza tranzistorului VT06, iar R06 se înlocuiește cu o rezistență de $100\text{ k}\Omega$. Tot o rezistență de $100\text{ k}\Omega$ se montează între baza lui VT07 și masă.

- În locul tranzistorului VT06 se montează un tranzistor npn BC174, dar cu colectorul la +12V;

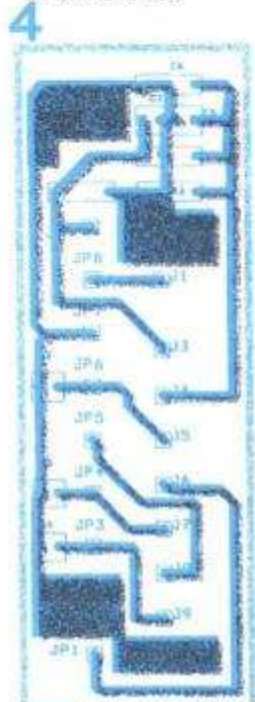
- Se deconectează capătul rezistorului R6109(5k6) dinspre divizorul rezistiv conectat la -15V (R6101, R6102, C6102);

- Dioda recuperată (VD10) se conectează cu anodul în capătul rămas liber al rezistorului R6109 și cu catodul în punctul comun al diodelor VD6101 cu C6202. Punct în care apare tensiunea RAA și care se conectează printr-un fir la montaj.

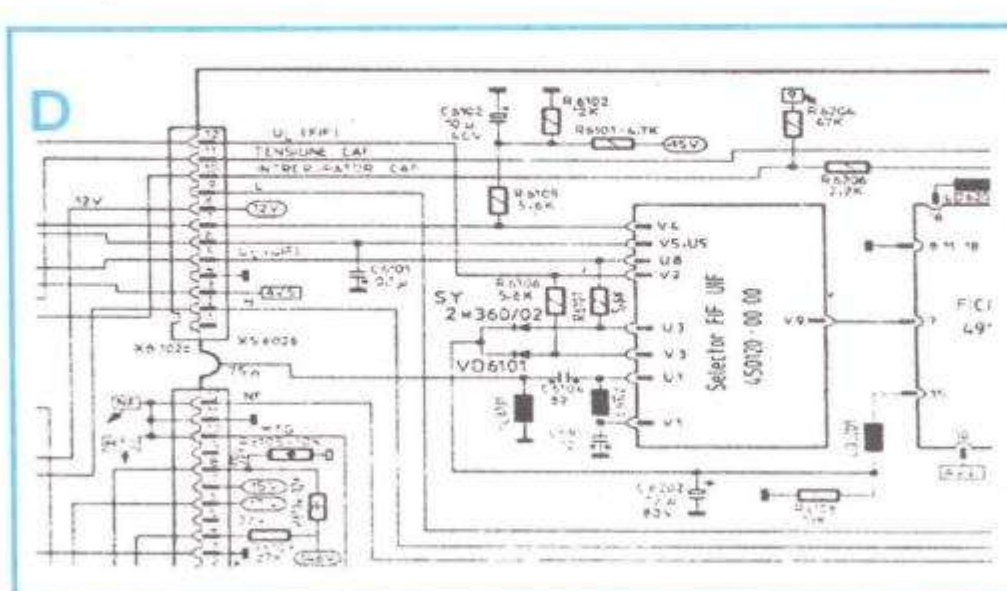
- De pe pinul 8 al conectorului XS6026 se conectează tot printr-un fir tensiunea de +12V la montaj.

la montaña.

Se pot utiliza diverse tipuri de selectoare cum sunt: 113-118C sau 113-238H utilizate in GOLDSTAR, 2900KKC (DAEWOO), TEKE4-073A(ALPS), VTSS 7SZ3 (SHARP) utilizate in DAEWOO si MEGAVISION, VTSA1SZV utilizat in ORION etc.



4a



Aparat pentru încercarea și reglarea servomecanismelor

Pentru cei care utilizează stații de radiotelecomandă digital-proportionale, un astfel de aparat este deosebit de util.

Când achiziționează servomecanisme, fie că acestea sunt noi, fie că provin de la diferite persoane cărora nu le mai fac trebuință, cel care le-a procurat trebuie să le încerce și în mai multe cazuri să le regleze. Sigur că aceste servomecanisme pot fi încercate utilizând propria stație de telecomandă. Operația este mai complicată, necesitând punerea repetată în funcționare a emițătorului și a receptorului. Dar dacă unul din aceste servomecanisme este defect, prezentând de exemplu scurtcircuit la intrare? În acest caz există riscul major al defectării receptorului stației. Dar dacă cupla de la intrarea servoului nu se potrivește cu cea de la ieșirea receptorului, fiind de alt tip și altă fabricație? Dacă se tăie cupla servomecanismului și se atașează una care se potrivește la receptor, servoul nu mai poate fi înapoiat în cazul în care se constată că este defect.

Cei care posedă și utilizează stații de telecomandă cunosc importanța acestor argumente.

În cele ce urmează vor fi prezentate două scheme electrice ale unor astfel de aparate pentru încercarea și reglarea servomecanismelor.

Prima schemă utilizează tranzistoare iar a doua un circuit integrat. Ambele sunt simple, ușor de realizat și dacă sunt corect construite funcționează de la prima încercare.

Reglajul lor este de asemenea foarte simplu, necesitând după cum vom vedea în cele ce urmează fie un servomecanism martor, în perfectă stare de funcționare (pentru cei mai puțin pretențioși, pe care îi interesează numai stația lor de telecomandă), fie un osciloscop cu scara gradată.

În figura 1 este prezentată schema electrică de principiu a unui astfel de aparat în construcția căruia intră, numai tranzistoare cu siliciu; pot fi înlocuite cu orice alte tranzistoare, cu condiția să fie de tip "npn" și să aibă factorul β cuprins între 75 și 250. Este preferabil totuși ca tranzistoarele T1 și T2 să aibă factori de amplificare β cât mai apropiati.

Împreună cu piesele aferente,

cele două tranzistoare formează un circuit basculant astabil. Frevenția de oscilație se stabilește la 50-55 Hz cu potențiometrul semireglabil SR1. În timpul reglajului, acesta nu trebuie adus în poziția de scurtcircuit, când baza tranzistorului T2 este adusă la tensiunea sursei de alimentare (4,8 V). În acest caz, tranzistorul se defectează. Semnalul de la ieșirea circuitului basculant astabil atacă (prin condensatorul C3 și dioda D2) intrarea unui monostabil în componența căruia intră tranzistoarele T3, T4 și piesele aferente.

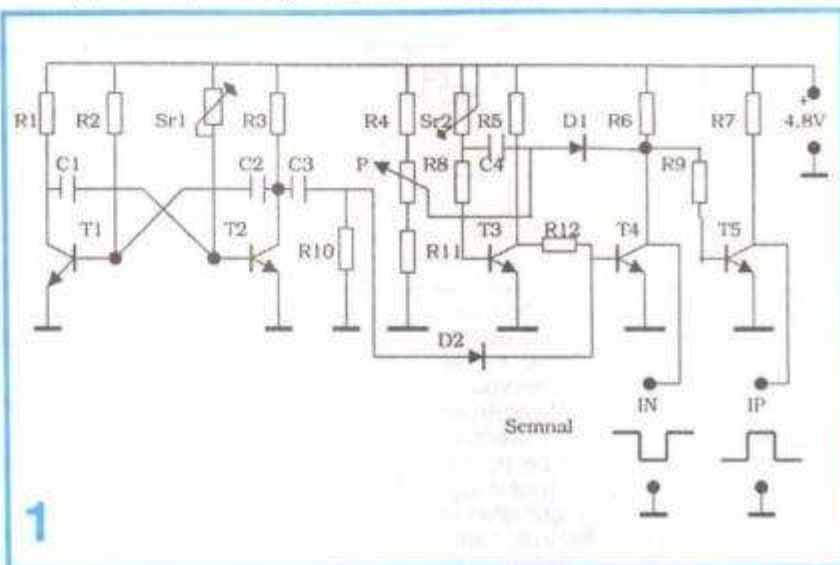
Lungimea impulsului generat de

să existe posibilitatea de a verifica și regla cât mai multe tipuri de servomecanisme (servouri).

Notă. În caz de nefuncționare a montajului, valoarea rezistenței R5 din colectorul tranzistorului T3 se va majora treptat de la 2,2 k Ω până la 15 k Ω .

Reglarea aparatului

Se poate face în cel mai bun caz cu ajutorul unui osciloskop etalonat, cu scara gradată. După ce montajul electronic a fost încasetat într-o cutie din material plastic, se fixează potențiometrul P de partea frontală a carcasei.



1

monostabil (semnalul util) se reglează cu potențiometrul P. Ca și semireglabilul SR1, potențiometrul P trebuie să aibă scăa liniară (variație liniară a rezistenței proporțională cu deplasarea cursorului). Se poate utiliza și un potențiometru logarithmic, dar nu este indicat, deoarece în acest ultim caz scara aparatului nu va mai avea diviziunile egale pentru perioade de timp egale.

Aparatul permite verificarea și reglarea atât a servourilor care lucrează cu impulsuri negative, cât și a celor comandate cu impulsuri pozitive. Impulsurile negative se obțin în colectorul tranzistorului T4, iar cele pozitive în colectorul inversorului T5. La fiecare ieșire este recomandabil să se lege în paralel mai multe feluri de cuple, astfel încât

pe axul potențiometrului se montează un buton (de radio sau TV) cu indicator, iar pe perete se lipescă o hârtie pe care se va desena scăa, gradată în ms (milisecunde). Una din cele două ieșiri (indiferent care), se leagă la intrarea osciloscopului. Bornă de masă a montajului se leagă și ea la masa osciloscopului. Se rotește axul potențiometrului P astfel încât pe ecranul osciloscopului să se citească 0,3 ms. Se rotește (de preferință în sensul acelor de ceasornic) butonul cu indicator al potențiometrului, marcându-se pe scăa din ms în ms până la 2,5 ms.

Se trage "pe curat" scăa și se lipescă pe peretele frontal al cutiei exact în aceeași poziție.

De regulă, intervalul cel mai utilizat este cuprins între 1,1 și 2,5 ms,

mijlocul fiind la 1,7 ms. Majoritatea stațiilor industriale de telecomandă digital proporțională lucrează în acest interval, dar sunt și unele care fac excepție. De exemplu, stațiile Kraft generează impulsuri cuprinse (în funcție de poziția manetei de comandă a emițătorului) între 1 și 2 ms, cu mediana de 1,5 ms.

Pentru poziția de mijloc a manetei emițătorului de teleco-

4. Felul impulsurilor necesare la intrarea servomecanismului: pozitive sau negative.

În aceste condiții, o verificare a unui servou cu utilizarea acestui aparat decurge în felul următor:

- Se cuplază mușa servoului la mușa corespunzătoare a aparatului;
- Se fixează indicatorul butonului de pe axul potențiometrului P, pe poziția mediană caracteristică stației de telecomandă respective: 1,5; 1,7 etc.;
- Se cuplază sursa de alimentare a ansamblului aparat de verificare-servo;
- Dacă servoul este în stare de funcționare, va roti echea într-un sens sau altul și se va opri. În acest caz servomecanismul (servoul) nu este defect;

- Dacă echea nu se poziționează pe mijloc, se demonstrează de pe axul final al servoului și se fixează pe poziția de mijloc. Rotind butonul potențiometrului P între cele două limite ale domeniului (de exemplu, între 1,1 și 2,3 ms), echea servoului trebuie să efectueze deplasări egale față de poziția de mijloc. Dacă acest lucru nu se întâmplă, se regleză servoul așa cum am arătat mai sus, fie din exterior, fie prin demontarea și reașezarea corectă a reductorului cu pinioane al acestuia;

- Dacă servoul nu se rotește, indiferent de poziționarea butonului de scală al aparatului, rezultă că este defect;

- Dacă, în aceleași condiții, se rotește numai într-un sens (în mod continuu sau nu), este de asemenea defect, fie la partea electronică, fie la partea mecanică și mai ales la cea de poziționare a potențiometrului de reacție.

Reglarea aparatului cu ajutorul unui servomecanism etalonat

Pentru realizarea scalei aparatului este necesar să se dispună de un servo etalonat în prealabil. În acest sens, scara servoului trebuie să fie marcată din ms în ms în intervalul 0,4+2,5 ms. Cuplând aparatul la acest servo, i se poate desena scara butonului potențiometrului P, după indicațiile echei servoului etalon. Metoda este mai simplă, dar este necesar un servo etalonat în prealabil.

Notă. Aparatul de verificare și reglare a servomecanismelor prezentat în figura 1 poate fi alimentat fără probleme și la tensiunea de 6 Vc.c. Sunt servouri (de exemplu, trolile velierelor din clasele F5 M și F5 10) care necesită să fie alimentate sub tensiunea de 6 Vc.c.

Aparat de verificare cu circuit integrat

Schema de principiu a aparatului este prezentată în figura 2.

Montajul este în esență un oscilator în componenta căruia intră circuitul integrat specializat CDB 4121.

Alimentarea montajului se face de la o sursă de acumulatori cu tensiunea de 4,8 Vc.c. ca și cel precedent.

Semnalele negative se obțin la ieșirea (pinul) 1 a integratului, iar cele pozitive la ieșirea 6.

Se poate întâmpla ca în unele situații aparatul să nu genereze impulsuri. Aceasta se întâmplă în cazul unor anumite defecțiuni la servomecanismul ce trebuie probat. Cuplând în locul acestuia un alt servo care știm precis că este bun, observăm că nici acesta nu funcționează. Este suficient să decuplăm și apoi să cuplăm bateria de alimentare pentru ca totul să fie în ordine.

La montajul prezentat în figura 1 acest lucru nu se întâmplă.

Pe schemele prezentate în figurile 1 și 2 s-au notat cu IP impulsurile cu polaritate pozitivă și cu IN cele cu polaritate negativă.

Lista de piese (figura 1)

1. T1T5 \Rightarrow BC 107 B
2. C1; C2 \Rightarrow 100 nF
3. C3; C4 \Rightarrow 47 nF
4. P \Rightarrow 1 k Ω
5. SR 1 \Rightarrow 100 k Ω
6. SR 2 \Rightarrow 2,2 k Ω
7. R1; R3; R7 \Rightarrow 4,7 k Ω
8. R2 \Rightarrow 100 k Ω
9. R4; R11 \Rightarrow 470 Ω
10. R5 \Rightarrow 2,2 k Ω
11. R6 \Rightarrow 1 k Ω
12. R8 \Rightarrow 510 Ω
13. R9 \Rightarrow 10 k Ω
14. R10 \Rightarrow 47 k Ω
15. R12 \Rightarrow 22 k Ω
16. D1; D2 \Rightarrow EFD 108

Lista de piese figura 2

1. CI \Rightarrow CDB 4121
2. P \Rightarrow 10 k Ω
3. T \Rightarrow BC 107 B
4. R1; R2 \Rightarrow 10 k Ω
5. C1 \Rightarrow 150 nF
6. C2; C3 \Rightarrow 10 μ F/10 V

mandă (1,5 sau 1,7 ms) echea servoului trebuie să fie și ea pe poziție mediană. Dacă acest lucru nu se întâmplă, se demontează servoul și se rotește cursorul potențiometrului acestuia (indicatorul butonului aparatului de reglat fiind pe poziția mediană) până când motorul electric al acestuia se oprește. În această poziție se fixează roata dințată care antrenează potențiometrul și totodată echea servoului, astfel încât acesta din urmă să fie pe poziție mediană. Sunt multe servouri care au posibilitatea de a fi reglate din exterior, fără a mai fi necesară demontarea lor. De exemplu: Graupner CLC, Multiplex, Piko etc.

În rezumat, utilizatorul unui astfel de aparat trebuie să cunoască următoarele:

1. Domeniul variației semnalelor de comandă ale stației cu care va lucra servoul supus verificării și reglării. De exemplu, 1,1 + 2,3 ms;

2. Intervalul de mijloc al domeniului (ex. 1,7 ms), când maneta emițătorului de telecomandă este în poziția de mijloc;

3. Felul semnalelor (impulsurilor) la ieșirea receptorului: pozitive sau negative;

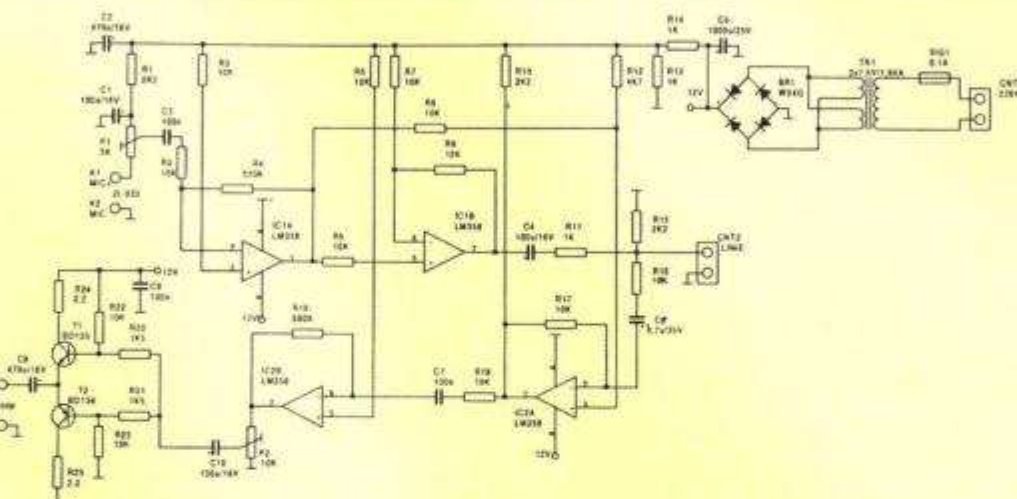
INTERFON DUPLEX

Revista *Conex Club*, nr. 54 (februarie 2004) prezintă la paginile 4-5 kit-ul cu numărul de cod CNX207, proiectat și realizat de firma *Conex Electronic*, care reprezintă un interfon duplex (la care se poate vorbi și asculta simultan partenerul). Interconectarea a două astfel de kit-uri se face cu cablu bifilar obișnuit.



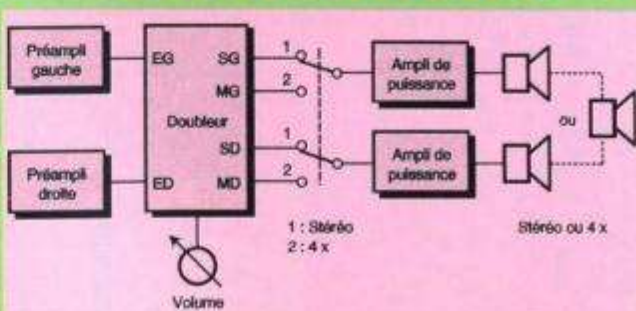
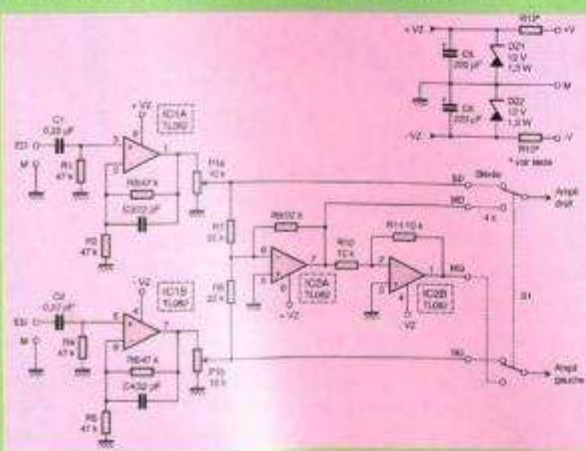
REVISTA
REVISTELOR

Montajul poate fi abordat cu ușurință de constructorii amatori, în articolul respectiv („Interfon pe 2 fire”, autor George Pintilie) fiind prezentate descrierea schemei electrice, cablajul imprimat și desenul de amplasare a componentelor, indicațiile de punere în funcțiune și reglaje.

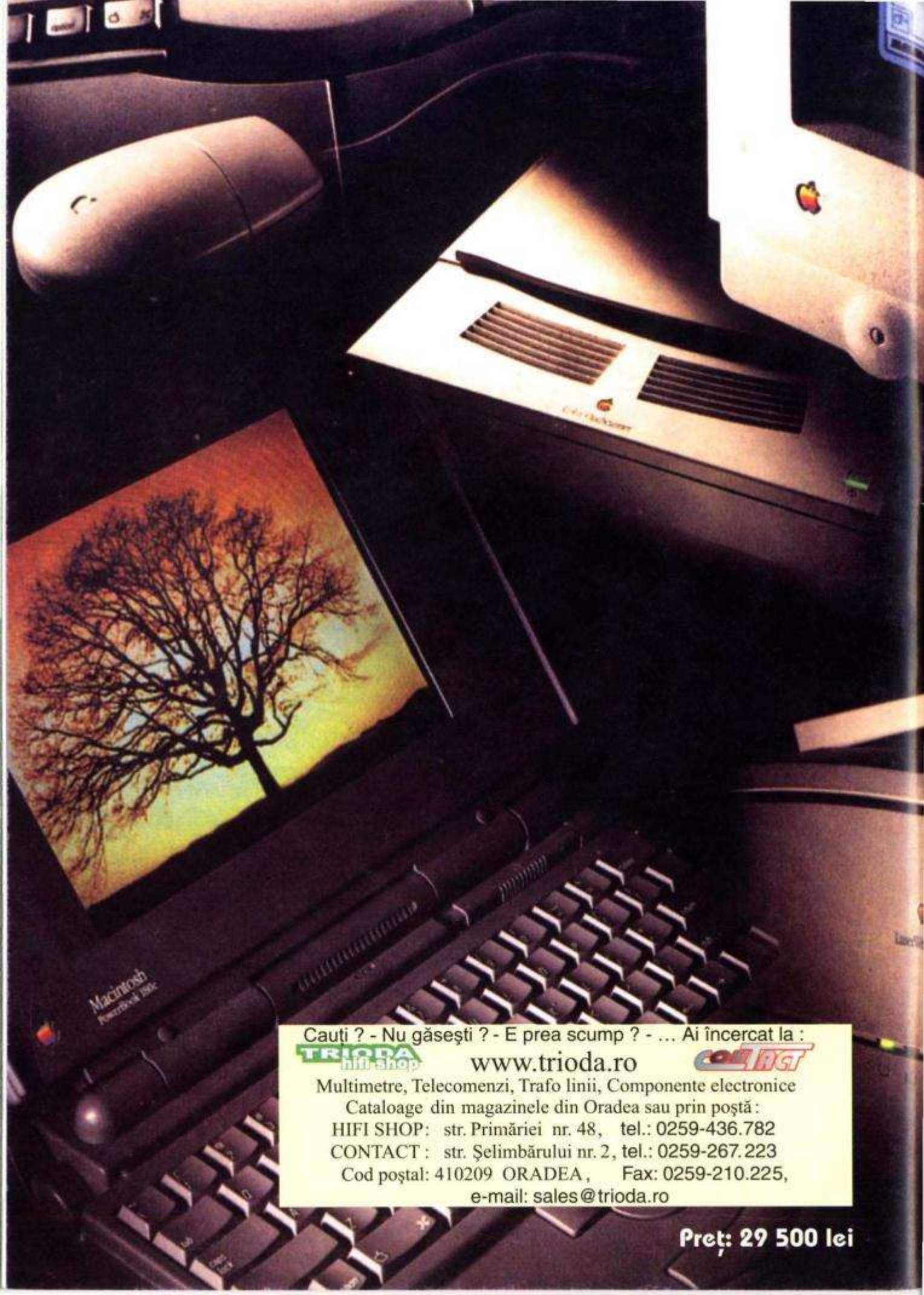


AMPLIFICATOR pentru INTRAREA de MICROFON-PC

Revista *Electronique Pratique*, nr. 271 (decembrie 2002-ianuarie 2003) prezintă la rubrica PC realizarea unui amplificator pentru intrarea de microfon a calcula-



toarelor (pag. 126-127, autor P. Marin). Acest mic preamplificator, echipat cu un tranzistor cu efect de câmp, asigură un câștig de 20 dB, permitând folosirea eficientă a unui microfon cu electret.



Cauti ? - Nu găsești ? - E prea scump ? - ... Ai încercat la :

TRIODA
HIFI SHOP

www.trioda.ro

CONTACT

Multimetre, Telecomenzi, Trafo linii, Componente electronice

Cataloage din magazinele din Oradea sau prin poștă :

HIFI SHOP: str. Primăriei nr. 48, tel.: 0259-436.782

CONTACT: str. Șelimbărului nr. 2, tel.: 0259-267.223

Cod poștal: 410209 ORADEA, Fax: 0259-210.225,

e-mail: sales@trioda.ro

Pret: 29 500 lei